



بسم الله وبعد: تم الرفع بحمد الله من طرف

بن عيسى قرمزي متخرج من جامعة المدية

تخصص: إعلام آلي

التخصص الثاني: حفظ التراث بنفس الجامعة

1983/08/28 بالمدية – الجزائر-

الجنسية الجزائر وليس لي وطن فأنا مسلم

للتواصل **وطلب المذكرات** مجاناً وبدون مقابل

هاتف : +213(0)771.08.79.69

بريدي إلكتروني: benaissa.inf@gmail.com

MSN : [benaissa.inf@hotmail.com](mailto:benaissa.inf@hotmail.com)

فيس بوك: <http://www.facebook.com/benaissa.inf>

سكايب: benaissa20082

دعوة صالحة بظهر الغيب فر بما يصلك ملفي وأنا في التراب ....

أن يعفو عنا وأن يدخلنا جنته وأن يرزقنا الإخلاص في القول والعمل..

**ملاحظة:** أي طالب أو باحث يضح نسخاً لصقاً لكامل المذكرة ثم يزعم أن المذكرة له

فحسبنا الله وسوف يسأل يوم القيامة وما همدنا إلا النفخ حيث كان لا أن تنبئ أعمال

الغير والله الموفق وهو نعم المولى ونعم الوكيل....

لا تنسوا الصلاة على النبي صلى الله عليه وسلم

صلى على النبي – سبحانه الله وبحمده سبحانه الله العظيم-

**بن عيسى قرمزي 2013**

الجمهورية الجزائرية الديمقراطية الشعبية  
وزارة التعليم العالي و البحث العلمي  
جامعة منتوري قسنطينة

قسم الكيمياء

كلية العلوم الدقيقة  
رقم الترتيب: .....  
رقم التسلسل:.....

مذكرة

مقدمة لنيل شهادة الماجستير في العلوم  
تخصص تحاليل فيزيوكيميائية وكيمياء عضوية  
تحت عنوان:

**فصل و تحديد نواتج الأيض الثانوي لنبته**  
**لطور خلاات الإيثيل *Ononis angustissima.* ( Fabaceae)**

تحت إشراف الدكتور : بوهروم محمد

تقديم الطالب : مزراق عبدالرحمان

لجنة المناقشة:

رئيسة	أستاذة بجامعة منتوري قسنطينة	فضيلة بن عياش	الدكتورة
مقررا	أستاذ محاضر بجامعة منتوري قسنطينة	محمد بوهروم	الدكتور
ممتحنا	أستاذ بجامعة منتوري قسنطينة	سمير بن عياش	الدكتور
ممتحنا	أستاذ محاضر بجامعة منتوري قسنطينة	نور الدين بغيجة	الدكتور
ممتحنا	أستاذ محاضر بجامعة منتوري قسنطينة	لحسن زعيتير	الدكتور



# الإهداء

إلى من كان خلقه القرآن ، سيدي وحببي وقرّة عيني ،

"رسول الله محمد صلى الله عليه وسلم "

إلى اللذين أخذوا بيدي ووفروا لي سبيل التعلم وكانا لي الوجه الطافح حبا وحنانا،

"والدائي الكريمين "

إلى من تتلمذت على أياديهم , وإلى من أمدوني بنصائحهم, وتوجيهاتهم,

" أساتذتي "

إلى من كانوا لي حشدا لهمتي كلما رأوا ضجرا أو توان مني في بحثي ,

"إخوتي "

إلى كل أفراد دفعتي دون إستثناء ,

و إلى السيد أحمد عبد الرحيم يحيايوي ,

إلى كل هؤلاء أهدي ثمرة هذا الجهد المتواضع .

# تشكرات

الحمد لله الذي علم بالقلم، علم الإنسان ما لم يعلم، و الصلاة و السلام على معلم

البشر، و على آله و صحبه أجمعين.

أولا و قبل كل شيء أتقدم بأسمى عبارات الشكر و الامتنان و التقدير إلى من يعجز  
لساني عن إيجاد العبارات المناسبة لشكره، إلى من سدد خطاي و أنار طريقي، إلى واهبي  
الحياة، إلى ربي، رب العزة جلّ جلاله.

أتقدم بالشكر و الثناء و العرفان للأستاذ سمير بن عياش على التوجيهات و النصائح  
التي قدمها إلي خلال كل مراحل إنجاز هذا العمل الذي تم بمخبر " تثمين الثروات الطبيعية  
ذات الأصل النباتي واصطناع الجزيئات الفعالة بيولوجيا " بقسم الكيمياء جامعة منتوري  
قسنطينة .

كما أتقدم بتشكراتي الخالصة للسيدة الغالية فضيلة بن عياش أستاذة بجامعة منتوري على  
تفضلها بقبول رئاسة لجنة مناقشة هذه الرسالة التي لم تبخل علي بتوجيهاتها و نصائحها القيمة  
و الثمينة طوال مراحل إنجازنا لهذا العمل وخاصة في تحديد بنى المركبات المفصولة.  
و أتقدم بالشكر الجزيل إلى الأستاذ العالي بوهروم محمد ، الذي لم يبخل علي بتوجيهاته و  
نصائحه القيمة و الثمينة طوال مراحل إنجازنا لهذا العمل.

كذلك أتوجه بشكري إلى الأستاذ بغيجة نورالدين و الأستاذ زعيتر لحسن على قبولهما  
المشاركة في لجنة المناقشة.

كما أتقدم بالشكر الخالص إلى جميع أفراد مخبرنا على ما قدموه لي من نصائح و  
مساعدات، خاصة بلوم زهية ، وهيبة بن عيسى ، صغيري رمضان ، دون أن أنسى الذين  
أعتبرهم بمثابة اخوتي و أخواتي الأعزاء أفراد دفعتي محمد، سهام، رضوان، فيروز، لبيب  
مجدة، عمار، سميرة، فريد، سيف الدين، حنان، لويزة و أتمنى لهم جميعا كل التوفيق و  
النجاح.

كما لا أنسى كل من ساعدني من قريب أو بعيد.

## الفهرس

1.....	المقدمة
4.....	المراجع

### الفصل الأول: المركبات الفلافونيدية

6.....	I – الفلافونيدات
7.....	II – الاصطناع الحيوي للفلافونيدات
7.....	II – 1- طريق الشيكيميك
10.....	II – 2- طريق الخلات
10.....	II – 3- طريق الشالكون
13.....	III – الاصطناع المخبري
13.....	III – 1 - تصنيع الشالكون
14.....	III – 2- تصنيع ثنائي هيدرو شالكون
15.....	III – 3- تصنيع الفلافونول و الأورون
15.....	III – 4- تصنيع الأورون
16.....	IV – تثبيت المجموعات الإستبدالية على الهيكل الفلافونيدي
16.....	IV – 1- تثبيت مجموعة الهيدروكسيل
16.....	IV – 2- تثبيت مجموعة الميثيل
18.....	IV – 3- تثبيت السكريات
19.....	V – أقسام الفلافونيدات
24.....	VI – أهمية الفلافونيدات
24.....	VI – 1- دورها الفيسيولوجي
24.....	VI – 2- دورها البيولوجي و العلاجي
25.....	VII – 3- خواص الفلافونيدات المضادة للأكسدة
27.....	VIII – الفلافونيدات المعزولة من الجنس <i>Ononis</i>
33.....	المراجع

## الفصل الثاني: طرق دراسة المركبات الفلافونيدية

- I - عملية الإستخلاص ..... 37
- II - طرق الفصل ..... 40
- II - 1 - كروماتوغرافيا العمود (CC) ..... 40
- II - 2 - كروماتوغرافيا الورقة التحضيرية (CP) ..... 41
- II - 3 - كروماتوغرافيا الطبقة الرقيقة (CCM) ..... 42
- II - 4 - كروماتوغرافية نظام السائل عالي الأداء (HPLC) ..... 45
- III - التنقية ..... 45
- III - 1 - التنقية على عمود من متعدد الأميد  $SC_6$  ..... 45
- III - 2 - التنقية على عمود من السيفاداكس ..... 45
- IV - التحديد البنوي للفلافونويدات ..... 45
- IV - 1 - الخواص الكروماتوغرافية ..... 45
- IV - 1-1 - معامل الإنحباس  $R_f$  ..... 45
- IV - 1-2 - اللون الإستشعاعي ..... 48
- IV - 2 - طرق التحليل الفيزيوكيميائية ..... 48
- IV - 1-2 - 1 - مطيافية الأشعة فوق البنفسجية UV ..... 48
- IV - 1-2 - 1 - أ - مطيافية الأشعة فوق البنفسجية UV للشالكونات و الاورونات ..... 48
- IV - 1-2 - 1 - أ - 1 - طيف الامتصاص في الوسط الميثانولي ..... 49
- IV - 1-2 - 1 - أ - 2 - طيف الامتصاص في وجود NaOH أو NaOMe ..... 52
- IV - 1-2 - 1 - أ - 3 - طيف الامتصاص في وجود NaOAc ..... 52
- IV - 1-2 - 1 - أ - 4 - طيف الامتصاص في وجود NaOAc +  $H_3BO_3$  ..... 52
- IV - 1-2 - 1 - أ - 5 - طيف الامتصاص في وجود  $AlCl_3$  و  $AlCl_3 + HCl$  ..... 54
- IV - 2-2 - مطيافية الرنين النووي المغناطيسي RMN ..... 58
- IV - 2-2 - 1 - أ - مطيافية الرنين النووي المغناطيسي  $^1H$ -RMN ..... 58
- IV - 2-2 - 1 - ب - مطيافية الرنين النووي المغناطيسي  $^{13}C$ -RM ..... 61
- IV - 3-2 - مطيافية الكتلة ..... 63

63.....	IV-2-3-أ- تقنية القذف الإلكتروني (EI)
68.....	IV-2-3-ب- تقنية القذف السريع بالذرات (F.A.B)
68.....	IV-2-3-ج- تقنية الرش الإلكتروني
68.....	V- الإماهة الحمضية
69.....	V-1- الطريقة العملية
70.....	V-2- تحضير العينة
71.....	المراجع

### الفصل الثالث: الدراسة النباتية و الكيميائية للنبتة

74.....	I - الدراسة النباتية للنبتة
74.....	I-1- المادة النباتية
74.....	I-2- وصف النبتة
75.....	I-3- الوضع ضمن التصنيف النباتي
75.....	II- الدراسة الكيميائية للنبتة
75.....	II-1- استخلاص النبتة
78.....	II-2- الفصل و التنقية
82.....	II-3- معالجة الكسور المتحصل عليها

### الفصل الرابع : النتائج والمناقشة

85.....	I- التحليل البنيوي للمركب F-2
96.....	II- التحليل البنيوي للمركب F9-1
105.....	III- التحليل البنيوي للمركب F9-2
115.....	IV- التحليل البنيوي للمركب F-C1
129.....	الخاتمة
.....	الملخص



## المقدمة :

من المشاهد في واقعنا اليومي زيادة اهتمام الناس بالطب والعلاج الطبيعي، والتداوي بالأغذية الطبيعية و الأعشاب و النباتات الطبية و الوصفات الشعبية المجربة من أهل الخبرة .

قديمًا كانت تستعمل الأعشاب كمصدر رئيسي في معظم العقاقير، [2,1] فمملكة النبات تزود الطب بصفة مستمرة و تستعمل في شكلها الخام على شكل شايات، شراب منقوع، مراهم، دهان أو مساحيق. ويعود ظهور طب الأعشاب إلى حوالي 60000 سنة حيث أكتشف سنة (1960) قبر في مغارة شمال العراق [3]، إذ أسفرت التحاليل المخبرية على التربة المحيطة بالهيكل العظمي على وجود حبوب طلع لثماني نباتات سبعة منها طبية لا تزال تستعمل في كل أنحاء العالم. [4]

مع تطور الكيمياء و الطب المعاصر أعتمد على التداوي بالعقاقير والأدوية المصنعة [5] و قد اعتقد الكثيرون أن هذه الأدوية المصنعة سوف تحل محل النباتات الطبية المستعملة في الطب والطب الشعبي، وكان من المتوقع أن يتراجع المرض أمام هذه الثورة الكاسحة في علم العقاقير ، لكن الذي حدث هو العكس تماما ، فقد عرف الإنسان الحديث أمراضا لم تكن معروفة أو منتشرة من قبل ، بل دخل عصر الأمراض المزمنة ، ويرجع ذلك إلى التقدم الرهيب في علم الكيمياء العضوية التي أدخلت مواد كيميائية في جميع ميادين الحياة ، ولوثت بيئة الإنسان ، وبالتالي أثرت على صحته وقوته ، ومناعته في مقاومة الأمراض ، كذلك فإن الأدوية المصنعة ما زال الكثير منها يفتقر إلى معلومات أوفى ، وما زال البحث العلمي يحمل لنا الكثير من الآثار الجانبية الضارة لبعض الأدوية المصنعة ، إما بسبب نقصان المعرفة عنها وإما لأنها مواد كيميائية مركزة ، تم تحضيرها في المعمل تحت ظروف تفاعلات كيميائية قاسية ، بينما أبت حكمة الخالق عز وجل إلا أن تجعل هذه المواد الفاعلة في النباتات بتركيزات مخفضة سهلة ، يمكن للجسم البشري التفاعل معها برفق في صورتها الطبيعية.

و ثبت أن استخدام الأدوية الصناعية قد يسبب آثارا جانبية ضارة، كما أوصت المؤتمرات الدولية بالعودة إلى الطبيعة أي إلى النباتات الطبية والاهتمام بها بصفتها مصدر آمن لصناعة الأدوية. ولقد قال أبو قراط منذ 4500 عام ( ليكن غذاؤك دواءك ، وعالجوا كل مريض بنبات أرضه ، فهي أجلب لشفاؤه).

لدى الأقطار العربية (لإتساع رقعتها واعتدال جوها) ثروة طبيعية وأخرى اقتصادية هائلة من الأعشاب الطبية والعطرية ، استخدمها قدماء المصريين والعرب من قديم الزمان ، ويشهد على ذلك ما دونه المصريون في بردياتهم ، والعرب في مذكراتهم وموسوعاتهم عن النباتات الطبية ، وكذلك ما تحويه أسواق العطارين من الأعشاب والثمار والبذور التي يستخدمها العامة في علاج أمراضهم ، وما يزال تجار العطاراة يستخدمون موسوعة ابن سينا وغيرهما من كتب علماء العرب لعلاج المرضى الذين ما يزالون يؤمنون بالعطارة و ذخيرته.

ولا يتسع المجال هنا لذكر فضل المصريين القدماء والعرب على الطب والعقاقير والتداوي بها ، والمصريون أول من استخدم زيت الحلبة لإزالة تجاعيد الوجه ، وزيت الخروع لعلاج الإمساك ، ودهانا للشعر ، وأول من استخدم الخشخاش لعلاج التهاب الأمعاء ، وتسكين الآلام، والنعناع والمر لعلاج القروح والالتهابات الجلدية والاضطرابات المعوية وقشر الرمان لطرد الديدان والحنظل لعلاج الإسهال وطرد الديدان .

من هنا وقع اختيارنا على العائلة البقولية لدراستها إذ تعتبر من أرقى العائلات النباتية حيث أنها تضم ما يقارب 700 جنس و 1700 نوع. لها أهمية اقتصادية كبيرة حيث تعتبر ثالث اكبر عائلة زهرية غنية بالفلافونويات . و من أشهر أنواعها نباتات السنط و السلم و اللبج و السنمكي و الفول و البازلا و الحمص و عرق السوس ....إلخ . وهي تمثل عدد كبير من الأجناس نذكر منها جنس *Acacia*, *Alibizia*, *Bauhinia*, *Ceratonia*, *Cercis*, *Colivillea*, *Erythrina*, *Gliricidia*, *Labumum*, *Maackia*, *Ougeinia*, *Ononis* ,

نركز اهتمامنا في هذا البحث على فصيلة البقوليات (*Fabaceae*) الذي يضم الجنس *ononis* والذي يشتهر بالمركبات الفلافونيدية . يبدو أن الفلافونيدات لها دورا مهما في التداوي من أمراض القلب و

الأوردة, يمكن أن تتفاعل مع الكثير من أنواع المتفاعلات الأوكسجينية. [6, 7]

تعتبر الفلافونيدات مركبات فعالة ضد السرطان و الضغط و غيرها, من جهة و تعتبر هذه عائلة *Fabaceae* غنية بمثل هذه المركبات . و مالدراسة السابقة لها لدليل على ذلك بحيث أربع فلافونات قد فصلت منها في هذا المخبر " مخبر تثمين الثروات الطبيعية ذات الأصل النباتي واصطناع المركبات الفعالة بيولوجيا " بقسم الكيمياء جامعة منتوري قسنطينة [8].

و قد تم تقسيم هذه الرسالة إلى أربعة فصول و خاتمة:

- في الفصل الأول تمت فيه دراسة المركبات الفلافونيدية.
- في الفصل الثاني تمت فيه دراسة طرق فصل و دراسة المركبات الفلافونيدية.
- في الفصل الثالث تمت فيه الدراسة النباتية و الكميائية للنبنة.
- في الفصل الرابع وضعت فيه النتائج المتحصل عليها متبوعة بتحديد الصيغ البنوية للمركبات المفصولة بإستعمال الطرق الطيفية (UV, RMN)
- و أخيرا الخاتمة: قيمنا فيه نتائج هذا البحث.

## المراجع

- [1] Cooper, E. (2004). Evid. based complement altern. med.1, 215-217.
- [2] Tsao, G. C. I., Zeltzer, L. K. (2005). Evid. based complement altern med.2, 149-159.
- [3] Solecki, R., Shanidar, I.V. (1975). A Neanderthal flower burial in northern Iraq, Science, 190, 880-881.
- [4] Bensky, D., Gamble, A. (1993). Chinese herbal medicine, materia medica, revised edition, Seattle, W.A. Eastland press, Inc. 13-17.
- [5] Farnsworth, N. R., Morris, R.W. (1976). Am. J. pharm. Sci. support public health. 148, 46-52.
- [6] Remesy, C., Manach, C., Demigne, C., Texier, O., Regeat, F. (1998), « Polyphenols 96», Edition INRA, Paris, 251-265.
- [7] Erlund, I. (2004). Nutrition Research, 24, 851–874.
- [8] Bouheroum, M., Zaiter, L., Benayache, S., Benayache, F., Bermejo, J. B., Leon, F., Garcia, V. (2009). Chemistry of Natural Compounds, 45, 6.

# الفصل الأول

المركبات الفلافونويدية

## I - الفلافونيدات:

### • تعريفها:

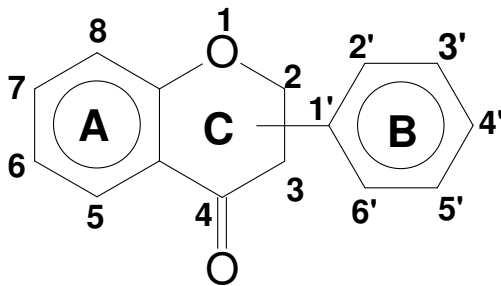
هي عبارة عن مركبات طبيعية من ناتج الأيض الثانوي، و هي صبغات نباتية تتواجد في مختلف أجزاء النبتة (جذور، أوراق، أزهار).

أشتق إسمها من flavus التي تعني أصفر في اللاتينية، وهو المصطلح العام لمجموعة كبيرة من المركبات الفينولية التي عرفت لأول مرة من قبل العالم "Albert Szent-györgyi" و الذي صنفها على أساس أنها فيتامين P [1] ، حيث تتواجد بتركيز عالية في القسم الهوائي للنبات. توجد في معظم الأصناف النباتية خاصة الراقية منها، و هي واسعة الانتشار عند كاسيات البذور، متوسطة الحضور عند عاريات البذور و شبه منعدمة عند الطحالب [2] كما وجدت عند الحزازيات [3]، كذلك عند نباتات أحادية الفلقة، و تعتبر كأداة تشخيصية لذوات الفلقتين [2].

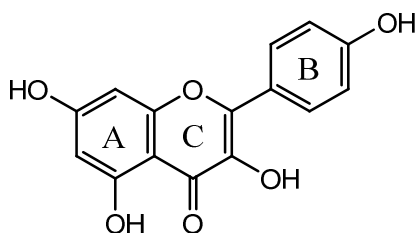
كما تتواجد على مستوى الخلية النباتية في صورة إيتروزيدات دوابة في الماء متمركزة في حويصلة الخلية أما الفلافونيدات التي تتحلل في المذيبات غير القطبية (كالفلافونيدات عديدة الميثوكسيل) فتتواجد في سيتوبلازما الخلية [4] ، وتتوضع الفلافونيدات حالة وجودها في صورة أجليكونات (aglycones) على الأنسجة السطحية للأوراق حيث تكون ملازمة لمواد مفرزة هي الأخرى ليوبفيلية وهو حال نباتات المناطق الجافة و شبه الجافة [5] ، و عموما توجد أغلب الفلافونيدات في النباتات بشكل محمي ( إيتروزيدات ) بينما توجد الأجليكونات في الأنسجة النباتية الميتة (نتيجة التميهِ الحمضي المحفز بواسطة الإنزيمات) و كذلك في خشب الأشجار. [4]

جميع الفلافونيدات تحتوي على 15 ذرة كربون و ذلك في هيكلها الأساسي موزعة على الشكل  $C_6-C_3-C_6$  بحيث تتصل حلقتا البنزين "A" و "B" بحلقة غير متجانسة "C" تحتوي على عنصر الأكسجين. [4]

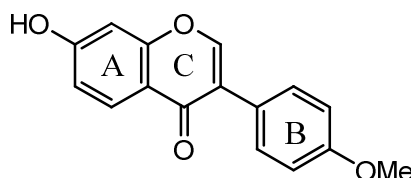
الشكل -1- يبين الهيكل العام للفلافونيدات.



كما أن هناك منتجات طبيعية وثيقة الصلة بالتركيب البنائي للفلافونات وهي الإيزوفلافونات مثل : (Formononetine) كما في الشكل (2) أدناه ، و فلافونويدات سلفاتية وهي عبارة عن مركبات إستر سولفاتي للعديد من هيدروكسيلاات الفلافون أو الفلافونول (kaempferole) أو مثيلاتهم الإيثيرية ، وهي أقل إنتشارا في الطبيعة بخلاف الفلافونات و الفلافونولات المنتشرة على نطاق واسع. [6]



Kaempferole



Formononetine

## شكل - 2 -

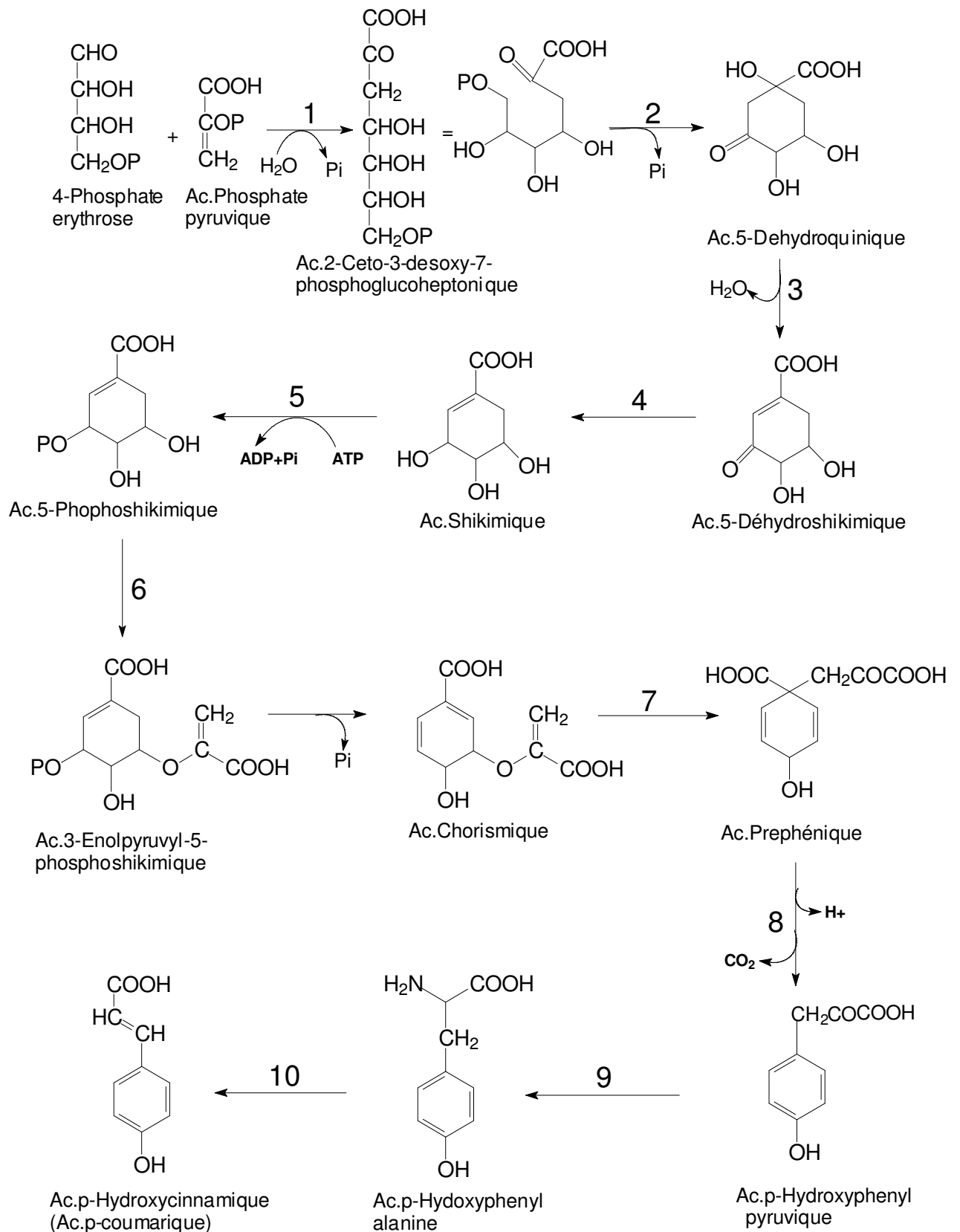
### II - الاصطناع الحيوي للفلافونيدات:

تعتمد الخلية في اصطناع منتجاتها الطبيعية على مجموعة من الوحدات الأساسية، كالماء و ثاني أكسيد الكربون، حمض النمل، و حمض الخل عبر تفاعلات الأكسدة، الاختزال، الألكلة، الأسيلة....الخ. و يتم ذلك بوجود إنزيمات خاصة لذلك.

حيث انه تم إجراء تجارب عديدة و ذلك باستعمال النظائر الموسومة بـ  $^{14}\text{C}$  المشع، فقد لاحظ الباحث " Robinson " سنة 1936 [7] أن النواتين البنزينية للمركبات الفلافونيدية ليس لهما نفس الأصل الوراثي الحيوي و عليه فإن عملية الاصطناع الحيوي تتم خلال ثلاثة طرق:

### II - 1 - طريق الشيكيميك:

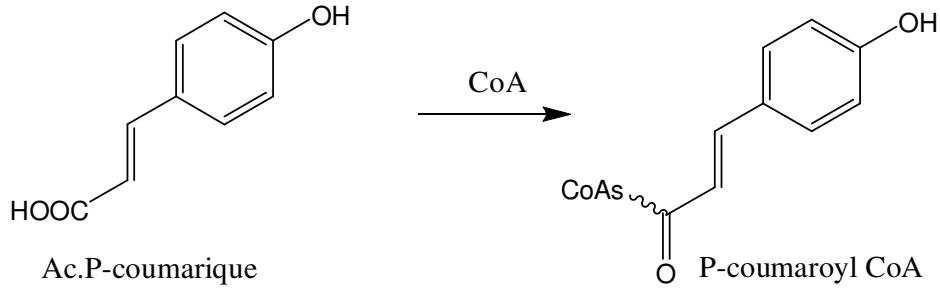
و هي المرحلة الأولى حيث أن الباحث " Davis " أثبت سنة 1955 [8] دور حمض الشيكيميك في تكوين الحلقة B و كذلك السلسلة الكربونية الثلاثية  $\text{C}_3$  و ذلك بدءا بالغلوكوز، كما هو مبين في الشكل - 3 - :



شكل-3- تشكيل Ac.P-Coumarique انطلاقا من الغلوكوز مرورا بحمض الشيكيميك



يليه تحول الناتج و المتمثل في Ac.4-coumaroyl ( Ac.P-Coumarique ) إلى 4-coumaroyl-CoA الذي يكون جاهزا للاتحاد مع Malonyl-CoA في مرحلة قادمة.



#### شكل -4-

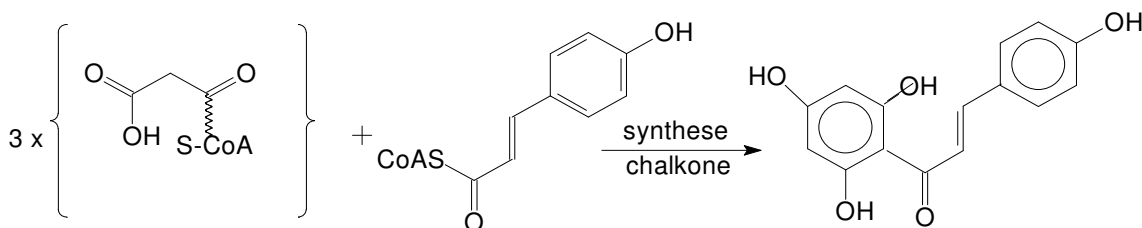
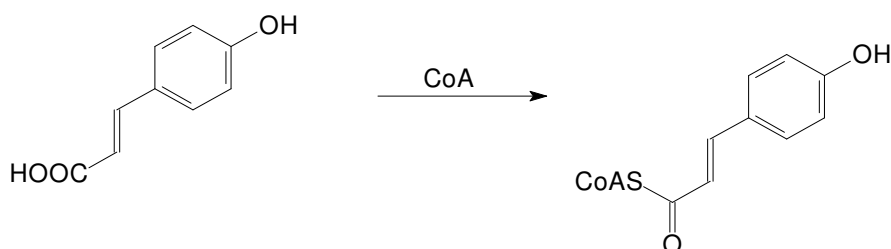
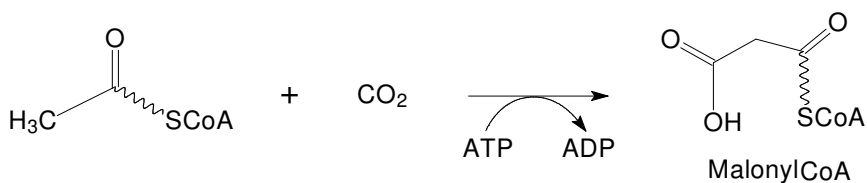
#### جدول -1- قائمة الإنزيمات الداخلة في تكوين حمض Ac.p-Coumarique

الرقم	الإنزيم
1	Aldolase, 3-désoxy-O-arabinoheptulosonate-7-phosphate synthase ou DHAP synthase
2	Déshydroquinone synthase
3	Déshydroquinone déshydratase
4	Shikimate déshydrogénase
5	Complexe shikimate kinase
6	Ac.Phosphate pyruvique
7	Chorismate mutase
8	Préphénate déshydrogénase
9	Aminotransférases
10	Tyrosine ammonia-lyase

#### جدول -1- الإنزيمات الداخلة في تكوين حمض Ac.p-Coumarique

## II-2- طريق الخلات:

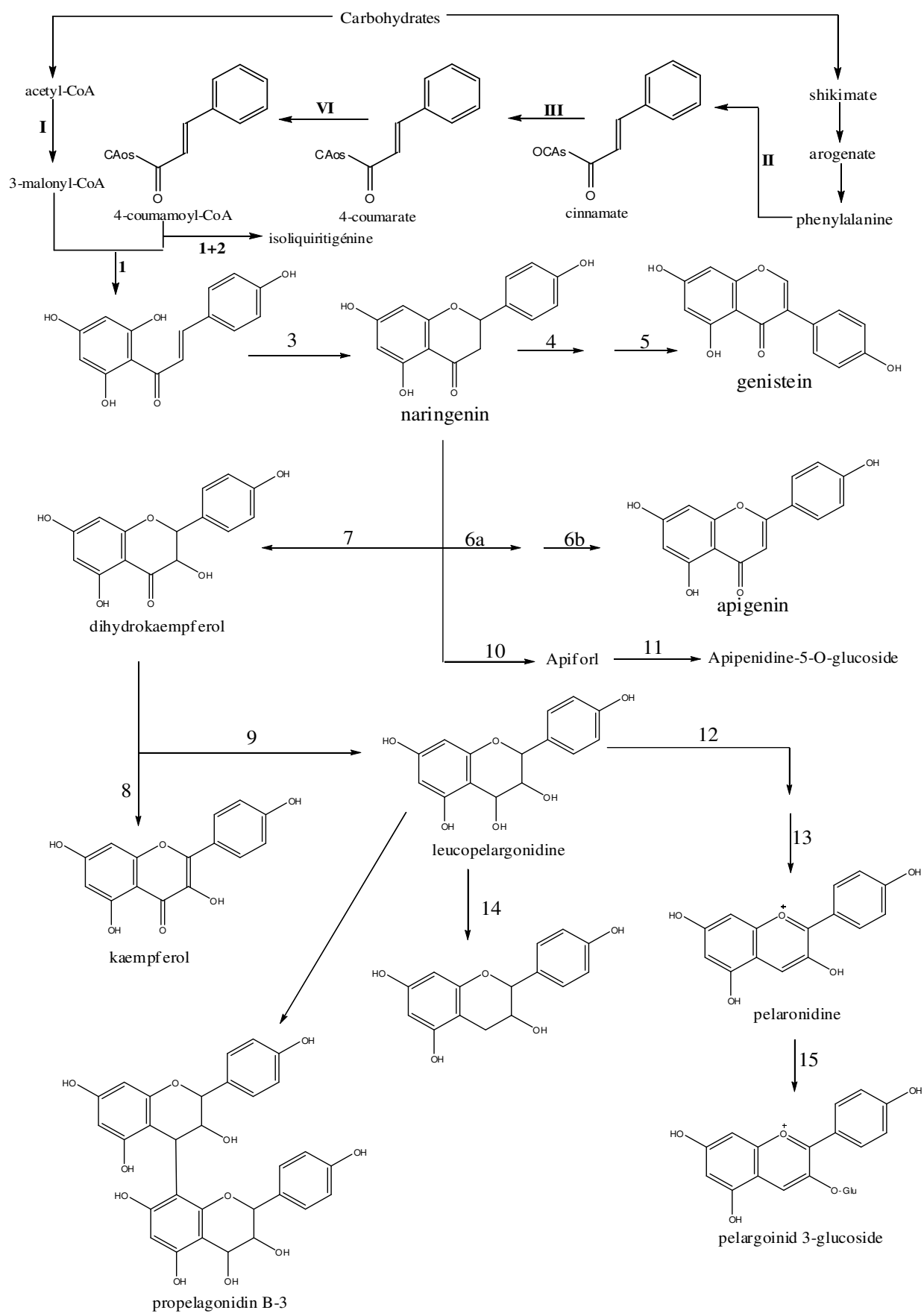
الحلقة A تتشكل من تكاثف رأس - ذيل لثلاث وحدات من الخلات على شكل Malonyl-CoA مع حمض Ac.P-Coumarique. الشكل رقم -5- [4-6-7]



## الشكل -5- تكوين الشالكون

II-3- طريق الشالكون: و هي المرحلة الثالثة، حيث يعتبر الشالكون النواة الرئيسية التي تتحدر

منها مختلف الهياكل الفلافونويدية



الشكل -6- الإصطناع الحيوي لمختلف الهياكل الفلافونويدية انطلاقا من الشالكون

**الجدول – 2- يبين قائمة الإنزيمات الداخلة في التصنيع الحيوى :**

العامل المساعد (CO-FACTEUR)	الإنزيم (ACRONYME)	الرقم
Non	Acétyl-CoA	<b>I</b>
Non	Phénylalanine ammonia-lyase(PAL)	<b>II</b>
NADPH	Cinnimate 4- hydroxylase (C <sub>4</sub> H)	<b>III</b>
CO-Sh ATP	4-Coumarate:CoA ligase (4CL)	<b>VI</b>
Non	Chalcone synthase (CHS)	<b>1</b>
NADPH	Polyketide réductase (PKR)	<b>2</b>
Non	Chalcone isomérase	<b>3</b>
NADPH	2-Hydroxyisoflavone synthase (IFS)	<b>4</b>
Non	2-Hydroxyisoflavanol déshydrathase	<b>5</b>
NADPH	6-a Flavone synthase I (FNSI)	<b>6</b>
NADPH	6-b Flavone synthase II (FNSI)	<b>6</b>
2-Oxoglutarate Fe <sup>2+</sup> ascoparate	Flavanone 3-hydroxylase (FHT)	<b>7</b>
2-Oxoglutarate Fe <sup>2+</sup> ascoparate	Flavonol synthase (FLS)	<b>8</b>
NADPH	Dihydroflavanol 4- réductase (DFR)	<b>9</b>
NADPH	Flavanone 4-réductase (FNR)	<b>10</b>
NADPH	Leucoanthocyanidine 4-réductase	<b>11</b>
Inconnu	Anthocyanine synthase (ANS)	<b>12</b>
	Flavonoid 3-O-glucosyltransférase	<b>13</b>
Non	Flava-3,4-cis-diol-reductase	<b>14</b>
non	Anthocyanidine / flavonol 3-O-glucosyltransférase	<b>15</b>

**الجدول – 2- الإنزيمات الداخلة في التصنيع الحيوى**

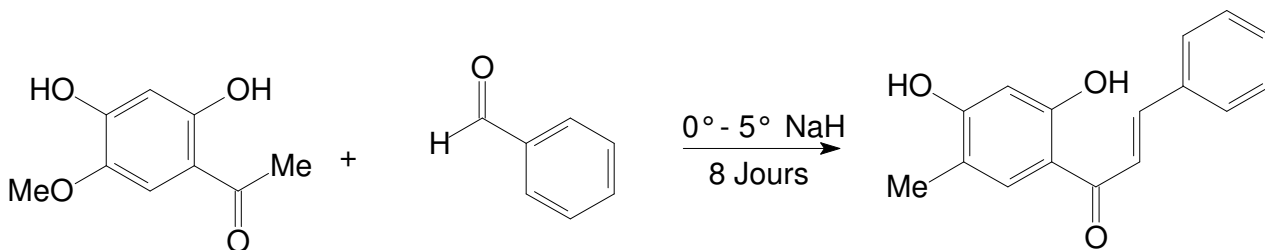
### III- الاصطناع المخبري: [2]

#### III-1- تصنيع الشالكون: [2]

يمكننا الحصول على الشالكونات و ذلك بالتكاثف الألدولي لـ :  
2-hydroxyacetophenone مع المشتقات البنزينية الألهيدية (benzenaldehydes) و ذلك في الوسط الحمضي أو القاعدي.  
تحدث عملية تحلق للشالكون و ذلك في الوسط الحمضي الذي يؤدي إلى ظهور الفلافانون وفق تفاعل متوازن (شالكون- فلافانون)، إلا أن هذا التوازن ينزاح بشكل شبه كلي إلى جهة الشالكون و هذا في حالة وجود هيدروكسيل حر في الموقع 4 بالنسبة للشالكون.  
التفاعل في الوسط القاعدي يتطلب الشروط التالية:

الزمن اللازم للتفاعل	تركيز القاعدة	درجة حرارة التفاعل
15 - 48 ساعة	50% - 60% KOH	0° م - 20° م

و قد لوحظ أن انعدام مجموعات المثل يؤدي إلى مردود جيد حسب الشكل 7 .

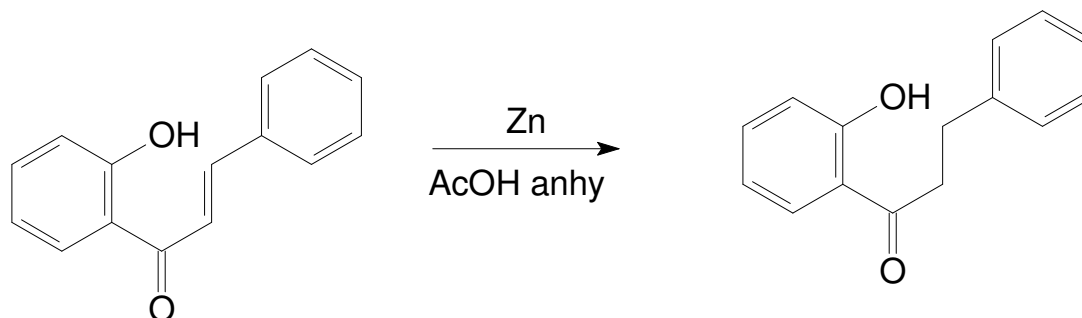


الشكل - 7 -

من أجل الحصول على الشالكونات ذات مجموعات المثيل انطلقا من الفلافانون و ذلك بفتح الحلقة في الوسط القاعدي الكحولي ثم الترسيب بالحمض الممدد و تحت حرارة منخفضة و للحصول على مردود جيد ينبغي عدم وجود هيدروكسيل حر في الوضع 5 بالنسبة للفلافانون.

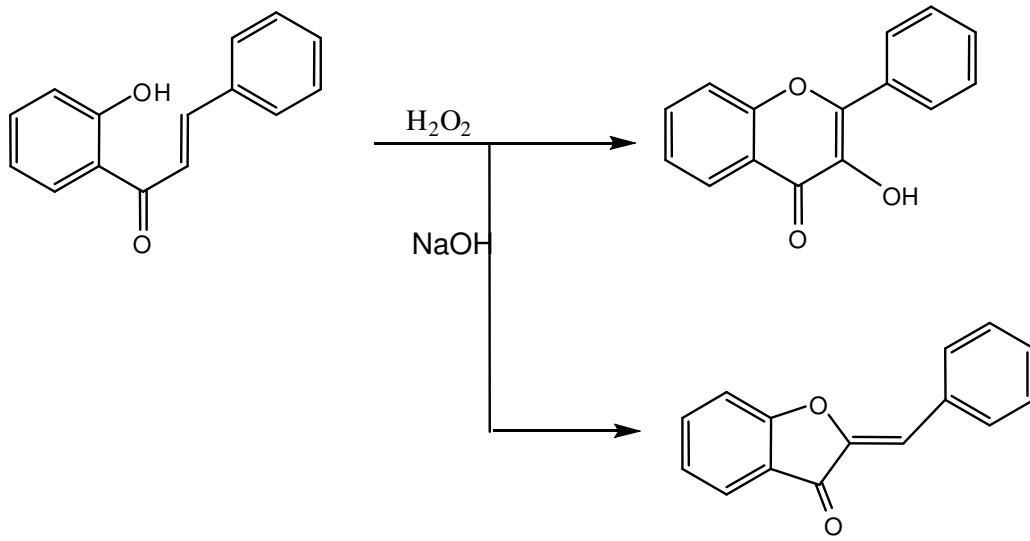
### III-2- تصنيع ثنائي هيدروشالكون: [2]

نتحصل على ثنائي هيدروشالكون وذلك من تكاثف الفينولات مع مشتقات حمض ثنائي هيدرو سيناميك (acide dihydrocinnamique) أو بهدرجة الشالكون أو الفلافانون حسب الشكل 8.



الشكل - 8 -

### III-3- تصنيع الفلافونول و الأورون: [2]

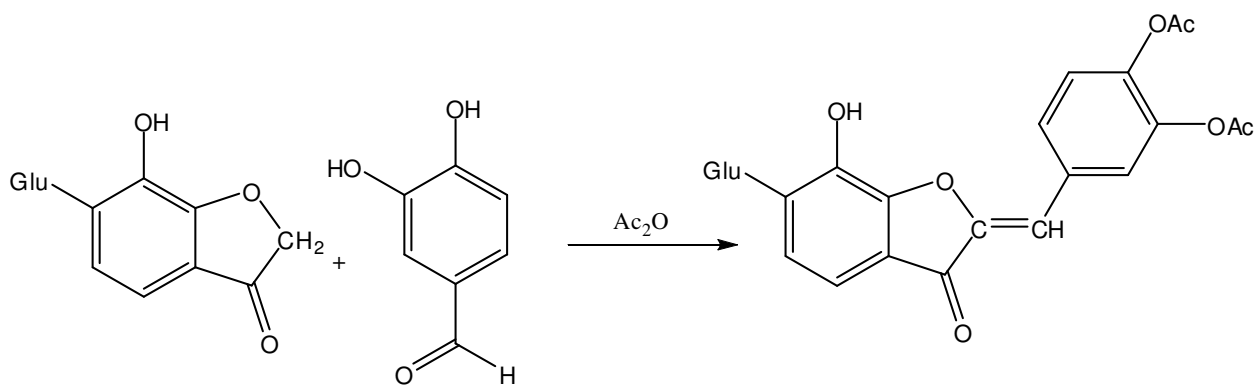


الشكل - 9 -

لوحظ أن شروط التفاعل و وجود المستبدلات لها تأثير كبير على مردودية التفاعل، فبالنسبة للمستبدلات لوحظ أن وجود هيدروكسيل في الموقع 2 و الموقع 4 بالإضافة إلى مجموعة ميتوكسيل في الموقع 6 فإن مردود التفاعل يزيد باتجاه الحصول على الفلافونول المطلوب. الشروط المثالية: 5% - 30% H<sub>2</sub>O<sub>2</sub> ، 20% NaOH

### III-4- تصنيع الأورون: [2]

الطرق العملية المستعملة تقريبا كلها تعتمد أساسا على تكاثف الكومارين مع الألدهيدات العطرية في وسط حمضي إلا أنه في حالة وجود سكريات كمستبدلات لا يمكن استعمال هذه الطريقة التي تتطلب وجود حمض HCl لذا فإننا نلجأ إلى تفاعلات أخرى.



**الشكل - 10 -**

#### **IV- تثبيت المجموعات الإستبدالية على الهيكل الفلافونيدي:**

إن تثبيت مجموعات الهيدروكسيل، الميتوكسيل أو السكر، بصورة عامة يتم عند نهاية الاصطناع الحيوي للفلافونيدات لأن عملية تثبيت هذه المجموعات تؤثر في بعض الفلافونيدات ولا تؤثر على البعض الآخر [9].

#### **IV-1- تثبيت مجموعة الهيدروكسيل : [10]**

إن تثبيت المجموعات الهيدروكسيلية في الموضعين 5 و 7 يتم قبل تشكيل الحلقة A ، و لهذا فهي تعتبر مجموعات أصلية، نفس الأمر بالنسبة لهيدروكسيل الموقع 4 للحلقة B . أما تثبيت مجموعة الهيدروكسيل في الموضع 3 يتم في مرحلة تكوين الشالكون على خلاف الموضع 3' الذي يتم فيه تثبيت مجموعة الهيدروكسيل بعد مرحلة الشالكون أي بعد غلق الحلقة C .

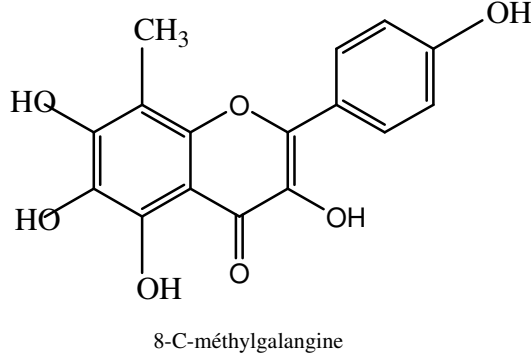
#### **IV-2- تثبيت مجموعة المثل :**

إن تثبيت المثل يأتي بعد تثبيت الهيدروكسيل، و يتم هذا الأخير على هيكل الأجليكون في حالتين :



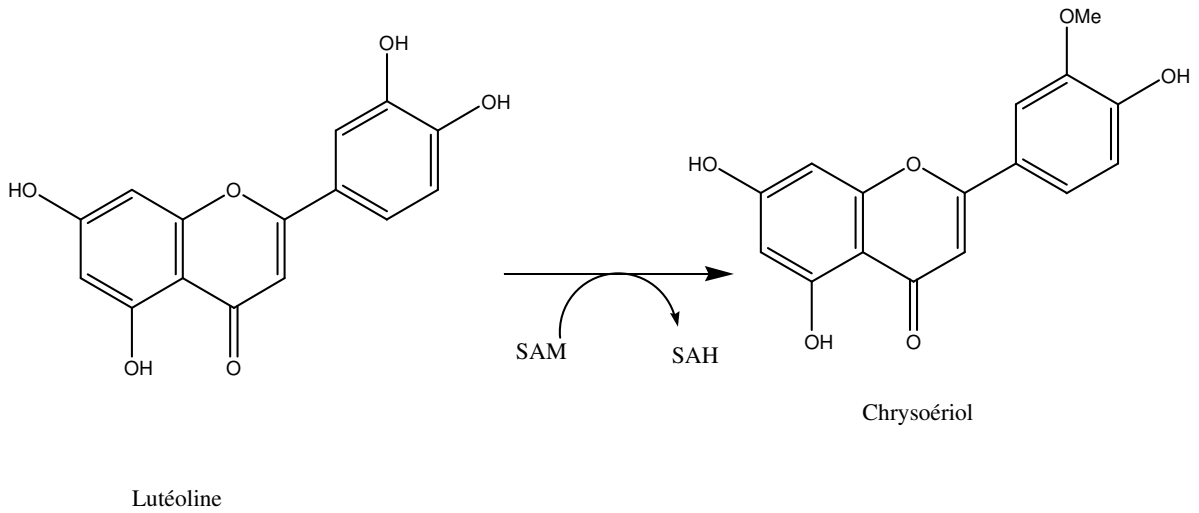
## الحالة الأولى:

تكون الرابطة بين كربون المثل و كربون النواتين A و (أو) B و مثال على ذلك المركب



## الحالة الثانية:

هي مثيلية المجموعات الهيدروكسيلية التي تم تثبيتها من قبل (O-methylation) و هذا في وجود أنزيم O-methyltransférase كمانح للمثل [10] و الشكل التالي يبين ذلك.



SAM: S – adénosyl méthionine  
homocysteine

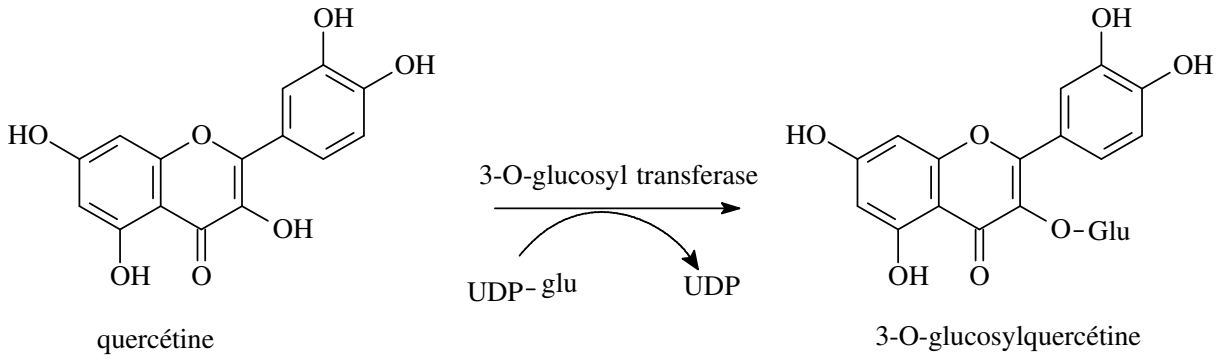
SAH: S – adénosyl

التحول الإنزيمي لـ lutéoline إلى chrysoériol

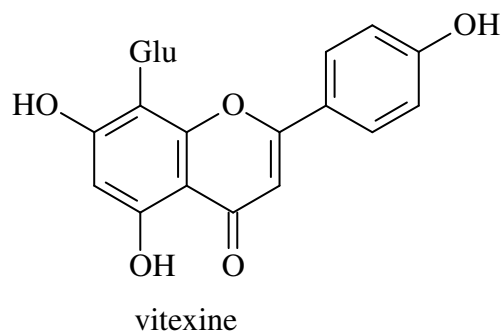
### 3-IV- تثبيت السكريات:

توجد المركبات الفلافونيدية على هيئة جليكوزيدات، أي أن بنائها يحتوي على وحدات سكرية قد تكون أحادية أو ثنائية كما يمكن أن يدخل في بناء المركب أكثر من مستبدل سكري. و ترتبط وحدة السكر بذرة أكسجين مباشرة أي من نوع (O-heterosidique) إما تكون في الموضع 7 للفلافونات أو في الموضع 3 للفلافونولات و يتم تثبيت السكر في وجود إنزيم "O -glucosyl transférase" و مانح للسكر مثل :

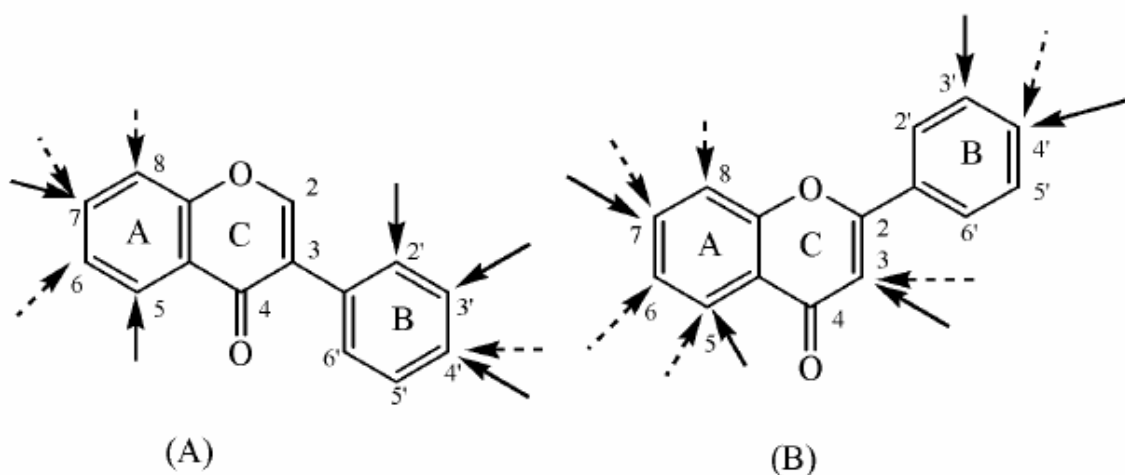
"UDP-glu" (Uridine diphosphate glucose) [12] والشكل التالي يوضح ذلك.



و قد ترتبط وحدة السكر بإحدى ذرات كربون الحلقة العطرية للهيكل الفلافونيدي أي من نوع (C-hétérosidique) و تتشكل الرابطة في هذه الحالة بين ذرة الكربون الأنوميري C<sub>1</sub> لجزء السكر و أحد الموضعين C<sub>6</sub> أو C<sub>8</sub> للأجلكون، و تنشأ رابطة من نوع كربون - كربون ، و تتم بعد تكوين الشالكون مباشرة [11] ، و مثال على ذلك المركب vitexine .



والصورة التالية توضح مواقع الأكثر ارتباطات مجموعات الهيدروكسيل (سهم ممثلئ) بالهيكل الفلافونيدي، وكذلك مجموعات السكر من نوع O- glycosylation و/أو C- glycosylation (سهم المتقطع) [10].

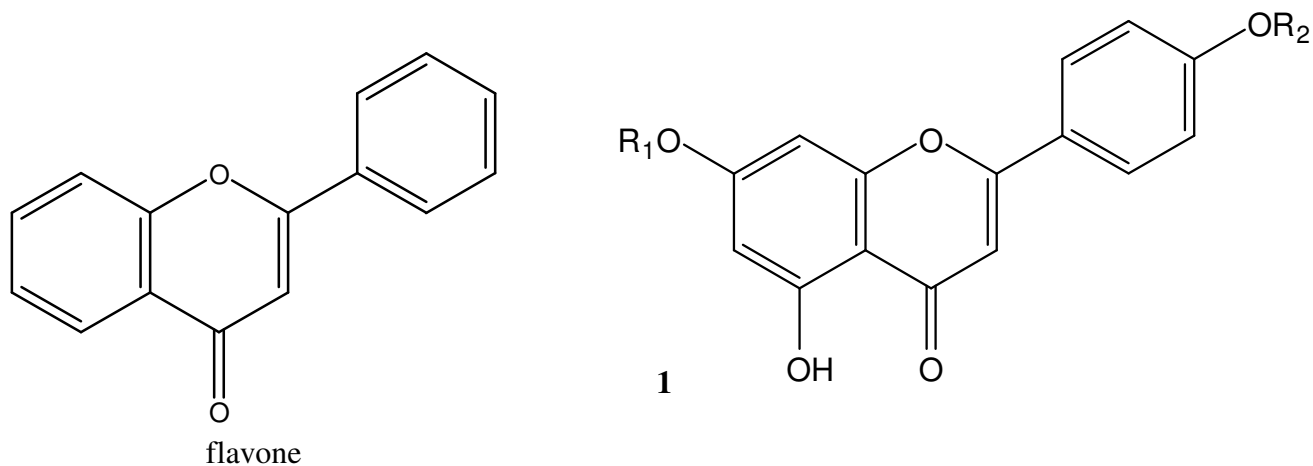


### V - أقسام الفلافونيدات:

يمكن تقسيمها اعتمادا على درجة تأكسد الحلقة C, وعلى حسب جهة ارتباط الحلقة C بالحلقة A. كما نستطيع تقسيمها إنطلاقا من الإصطناع الحيوي لها، فبعضها يعتبر وسائط ومركبات نهائية في الإصطناع الحيوي مثل الشالكونات، الفلافانو-3- أول ، فلافان-3,4- ديول. بعضها الآخر تعرف فقط بالمركبات النهائية في الإصطناع الحيوي كالفلافانونات، الفلافونولات [6].

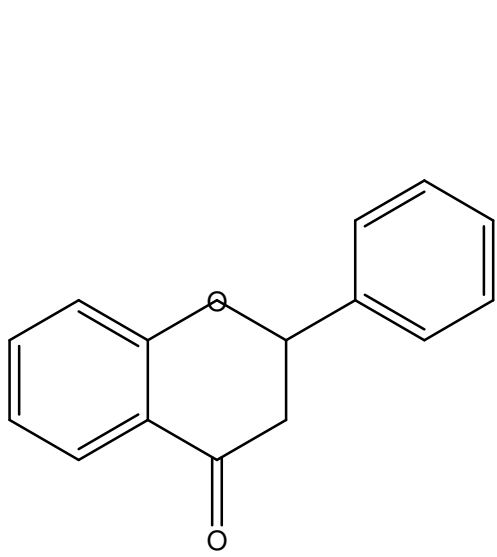
و يمكن تلخيصها فيمايلي :

**الفلافون:** يمكن للحلقة B أن تتواجد في الموضع 2، وإذا كانت الرابطة 2-3 غير مشبعة واستبدل الموقع 4 بمجموعة كربونيل، سمى المركب حينئذ فلافون، وتتضمن هذه المركبات مجموعات بديلة في الغالب هي مجموعة هيدروكسيل أو ميتوكسيل وقد يحوي بناؤها على وحدات سكرية على هيئة سكر أحادي أو ثنائي أو أكثر، وقد ترتبط هذه الوحدات بذرة أكسجين المكونة لمجموعة الهيدروكسيل أو ترتبط مباشرة بإحدى ذرات الكربون للهيكل الفلافونيدي و من أشهر هذه السكريات نجد : الهكسوزات D- ،L-rhamnose ، L-arabinose(D-allose أوD-galactose ،D-glucose) Hexoses . (xylose. D-apioses

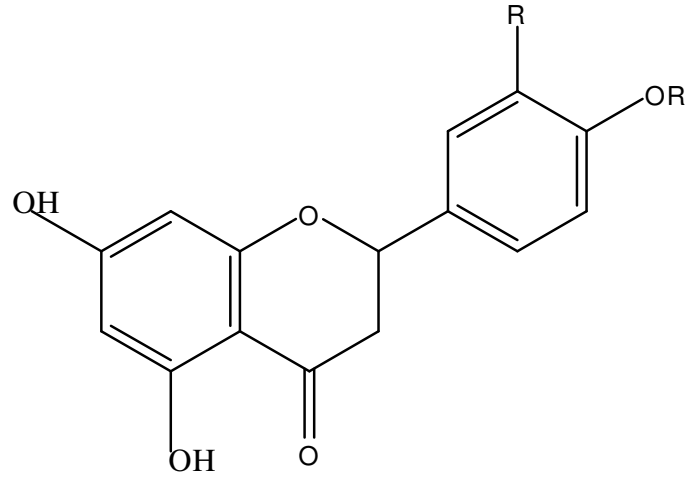


1	R <sub>1</sub>	R <sub>2</sub>
Genkwanine	CH <sub>3</sub>	H
Acacétine	H	CH <sub>3</sub>
Apigénine	H	H
7,4'diméthoxyapigénine	CH <sub>3</sub>	CH <sub>3</sub>

الفلافونون: إذا كانت الرابطة  $C_3-C_2$  في هيكل الفلافون مشبعة يسمى المركب فلافانون.



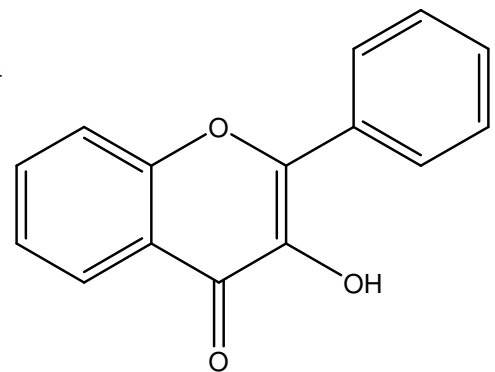
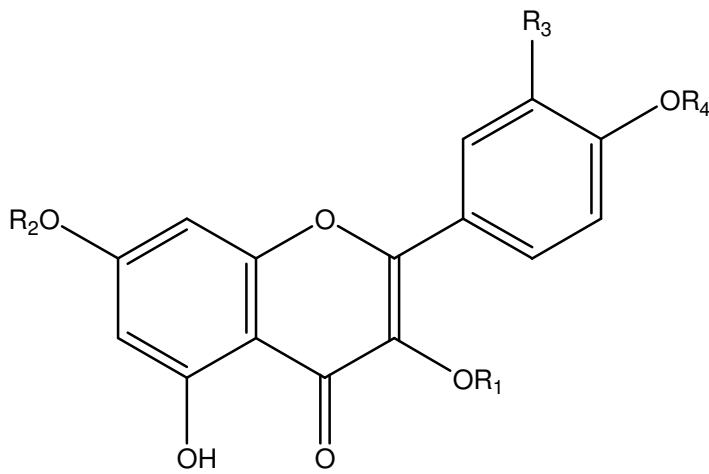
Squelette Flavonone



Naringenine (R=H)

Eriodictyole (R=OH)

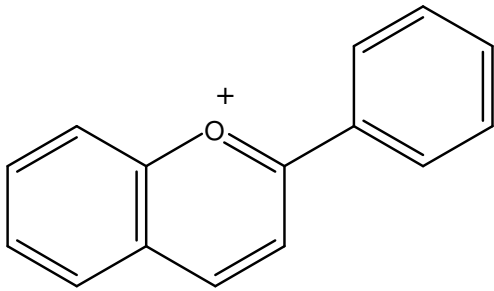
الفلافونول: إذا وجدت مجموعة هيدروكسيل (OH) حرة أو مستبدلة (OR) في الموقع (3) لمركب الفلافون سمي المركب بالفلافونول وهو يشكل نواة أساسية للعديد من المركبات الفلافونيدية.



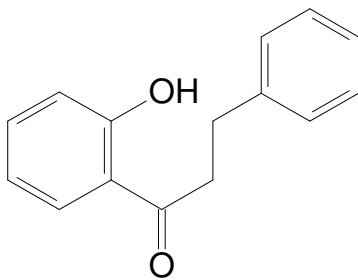
Squelette Flavonole

	R <sub>1</sub>	R <sub>2</sub>	R <sub>3</sub>	R <sub>4</sub>
Quercétine	H	H	OH	H
Quercétine -3-glycoside	Gluc	H	OH	H
Kaempferole	H	H	H	H

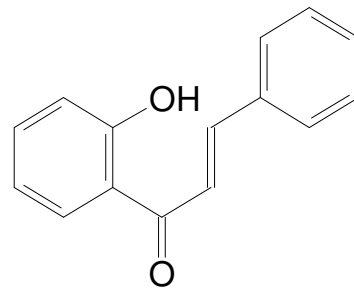
انطوسينيدين: تتميز هذه المركبات بغياب الوضيفة السيتونية في الموقع 4. و وجود رابطة ثنائية في الموقع O<sub>1</sub>-C<sub>2</sub> و كذلك في الموقع C<sub>3</sub>-C<sub>4</sub>. وتتواجد على شكل أملاح .



الشالكون: هي مركبات تكون مخايلة للفلافونويدات و تكون مفتوحة أي غياب الحلقة C كما يمكن أن تكون فيها الرابطة C<sub>3</sub>-C<sub>2</sub> مشبعة لتعطي تنائي الهيدروشالكونات .

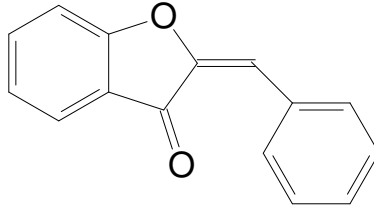


**DIHYDROCHALCONE**



**CHALCONE**

الأورون: و هي مركبات تتميز بكون الحلقة C خماسية .

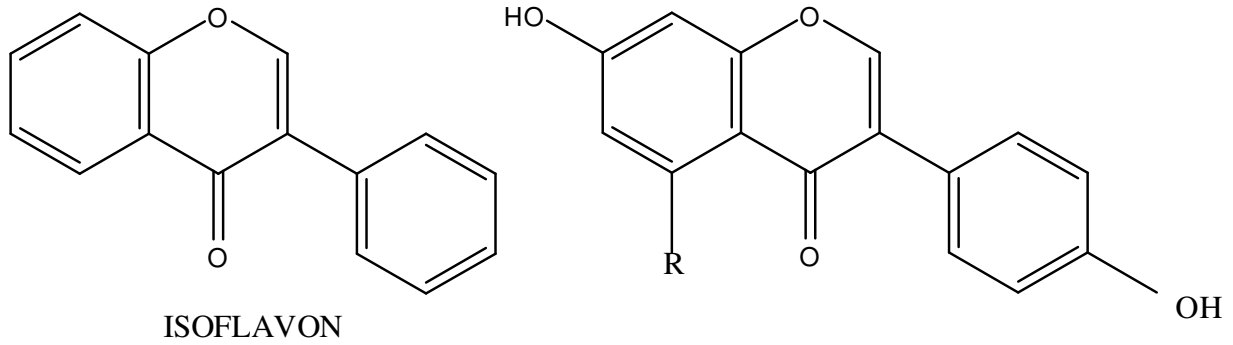


**AURONE**

نيوفلافون: إذا وجد استبدال بين مجموعة الكربونيل والمجموعة B في هيكل الفلافون سُمي المركب نيوفلافون والذي تمّ عزله من عدّة أنواع للعائلة البقولية [13]. فهو يشكل مع الإيزوفلافون الفلافونيدات النادرة وذلك لقلة انتشارها في الطبيعة خلافا عن الفلافونات والفلافونولات المنتشرة على نطاق واسع [14].

- إيزوفلافون : وهي لا تختلف في بنائها عن الفلافونات إلا باختلاف ارتباط الحلقة B حيث تتواجد في الموضع رقم 3. ويعود تاريخ إكتشاف أول إيزوفلافون formononetine كمركب طبيعي إلى منتصف القرن التاسع عشر [15]. من جذور النبتة البقولية *Ononis spinosa L* . ومع نهاية 2004 تم إحصاء ما يزيد عن 1600 إيزوفلافون أغلبها مفصول من العائلة البقولية [16] التي تعتبر ثالث أهم عائلة زهرية .

كما يشهد محدودية الإيزوفلافونات عند العائلات غير البقولية إذ فصل منها أول إيزوفلافون في أواخر القرن التاسع عشر من النوع *Iris florentina (Iridaceae)* [17] . وفي ماي 2007 تم إحصاء 225 إيزوفلافون مفصول من 59 عائلة غير بقولية مع العلم أن أغلب هذه المركبات تم الكشف عنها لدى العائلة البقولية. [18]



	R
Daidzeine	H
Genisteine	OH

## VI - أهمية الفلافونيدات:

### VI - 1- دورها الفيسيولوجي:

بفضل تركيبها المتعدد الفينولي تستطيع الفلافونيدات أن تلعب دورا هاما في سلاسل الأكسدة الإرجاعية، فبعضها ضد مؤكسدات، إذ يظهر سلوكها في الترابط المعقد للمعادن الداخلة في تفاعل الأكسدة [19] ويتوقف هذا الترابط على كربونيل الموضع 4 ووجود مجموعة هيدروكسيل في الموضع 5 أو 3 وكذا وجود 3، 4، أرثو ثنائي هيدروكسي. [19] ، [20]

وبحكم غنى المركبات الفلافونيدية بمجاميع فينولية فهي قادرة على أن تثبتت على بعض البروتينات و الإنزيمات ومن ثم تغير التوازنات الإنزيمية، وتتدخل في المراحل المختلفة للتطور و خاصة عند التلقيح، هذا عند النبات. أما تأثيرها على وضايف خلايا الثدييات فإن بعضها مما عرف من الفلافونيدات لحد الآن فقط يستعمل في علاجها.

### VI - 2- دورها البيولوجي و العلاجي :

هناك العديد من المنشورات المتعلقة بفعاليات الفلافونيدات البيولوجية و التي تبرز تصنيفها ك bioflafonoides و في هذا الإطار يمكن حصر بعض الفعاليات البيولوجية الهامة منها:



- الفلافونيدات لها تأثير مضاد للإلتهاب وذلك أن بعض الأمراض المتميزة بزيادة النفاذية أو بضعف الشعيرات يمكن أن تعالج بمستخلصات اليمون الغنية بالفلافونيدات. [23]

- كما تعتبر أدوية للعجز الوريدي ، إذ تعتبر منشطات للأوردة ، و في نفس الوقت تقلل نفاذية الأوعية الدموية ، فتأثيرها على جدار الأوعية و كذا خواصها المضادة للإلتهاب هي أصل استعمالها في التطبيب كحاميات أوعية أو مقومات وريدية. [24]

مضادة للتشنج إذ يعتبر Quercétine،Kaemférole ،Luteoline وبعض مشتقاتها مؤثرة على العضلات الملساء. [25]

- كما لها تأثيرات مضادة للسرطان فالفلافونات و الفلافونولات الميثوكسيلية تأثيرات مضادة لسرطان البلعوم الأنفي و لأورام لويس (الخاصة باللسان) . [26]

- بالإضافة إلى ذلك كشفت الدراسات على كون الفلافونيدات مضادة لارتفاع الضغط [25] ، للحساسية [26-27] ، ومضادة للتسمم الكبدي [28] وذات فعالية ضد الملاريا [29]. كما تستعمل الفلافونيدات لأغراض أخرى، فنظرا لكون الأنتوسيانوزيدات حساسة للضوء والحرارة وتغير الـ pH فهي تستعمل في المعلبات كمواد حافظة. وتضاف الفلافونيدات إلى بعض المواد الغذائية كالخمور (30 mg/l anthocyanoside) والمربي، وإلى الحلويات لتتويع ألوانها والتحسين من طعمها [30]. كما توجد بعض الفلافونولات في الشكولاتة. [31]

## VII - خواص الفلافونيدات المضادة للأكسدة:

تمتاز الفلافونيدات بخواصها المقاومة للتأكسد لوجود مجموعات (OH) و يتلخص ذلك في :

- حماية الأنظمة المضادة للأكسدة داخل الخلية (In Vitro) .
- التثبيط الإنزيمي و مخلبة الأثار المعدنية المولدة لـ ROS المسؤولة عن إتلاف الأحماض النووية و ظهور الأورام السرطانية كما تتسبب تفاعلاتها المستمرة مع الفوسفوليبيد الغشائي في إتلاف الخلية. [28]

- أسر الجذور الأوكسجينية النشطة ROS كـ  $OH^{\cdot}$ ,  $O_2^{\cdot-}$ ,  $NO^{\cdot}$ ... ويتوقف هذا على مدى قابلية تحرير البروتونات من طرف الفلافونيد [32]، وعلى العموم يتوقف اصطياد هذه الجذور على الصيغة الكيميائية للفلافونيدات و مستبدلاتها الهيدروكسيلية . [23]
- تعتبر الفلافونيدات كعوامل مرجعة قوية وتعمل على تكسير تسلسل التفاعلات الجذرية نتيجة لبنيتها المستقرة الناتجة عن ظاهرة الرنين الإلكتروني الناشئة عن الحلقات الأروماتية [34,35]، وقد بينت الدراسات أن فعالية الفلافونيدات المضادة للأكسدة متعلقة بعدد وموقع مجاميع الهيدروكسيل [35] خاصة منها تلك المستبدلة في الموقع 3 للحلقة C [36] و اورثوثنائي هيدروكسي 3',4' للحلقة B، كما تعود مقاومتها للتأكسد لاحتوائها على الرابطة المضاعفة في الحلقة C بين  $C_2-C_3$  المترافقة مع 4-الكربونيل [35]، وجود OH في الموقع 3 و 5 بالإتحاد مع مجموعة الكربونيل 4 و الرابطة المضاعفة بين  $C_2-C_3$  يزيد من فعالية أسر الجذور الحرة. [37]

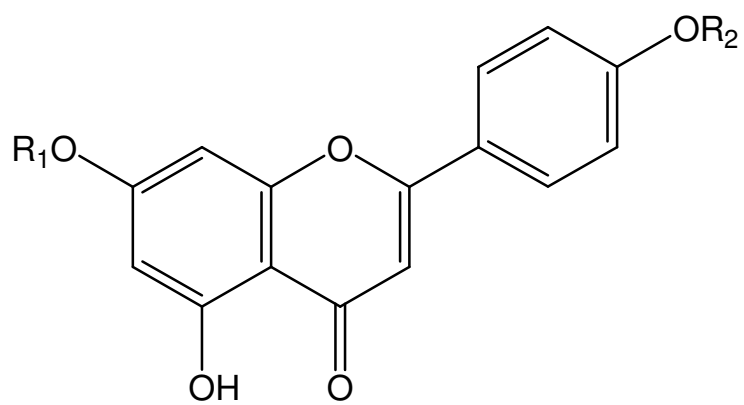
وفي دراسة لـ Gwan-sub Sim و آخرون أثبت فيها أنه كلما زادت مجاميع الهيدروكسيل في البنية الفلافونيدية زادت القدرة على أسر الجذور الحرة، ففي اختبار للفلافونيدات الحاوية على الرابطة المضاعفة المترافقة مع مجموعة الكربونيل C-4 في الحلقة C لكل من الفلافونات : Chrysin, Apigenine, Luteoline, و الفلافونولات : Kaempferole, Quercetin, Myricetin. لوحظ عند الفلافونات أن Apigenine و Chrysin أبدى فعالية أقل من Luteoline وعند الفلافونولات لوحظ أن Myricetin الحاوية على 6 مجاميع OH أظهر فعالية أكبر من Quercetin ذو الخمس مجاميع OH وهذا الأخير أكبر من Kaempferole ذو الأربع مجاميع. [33]

## VIII - الفلافونيدات المفصولة من الجنس *Ononis*

تمت دراسات لمختلفة أنواع هذه الجنس *Ononis* ولقد فصلت أنواع مختلفة من الفلافونيدات الموجودة يمكن تلخيص في الجدول التالي :

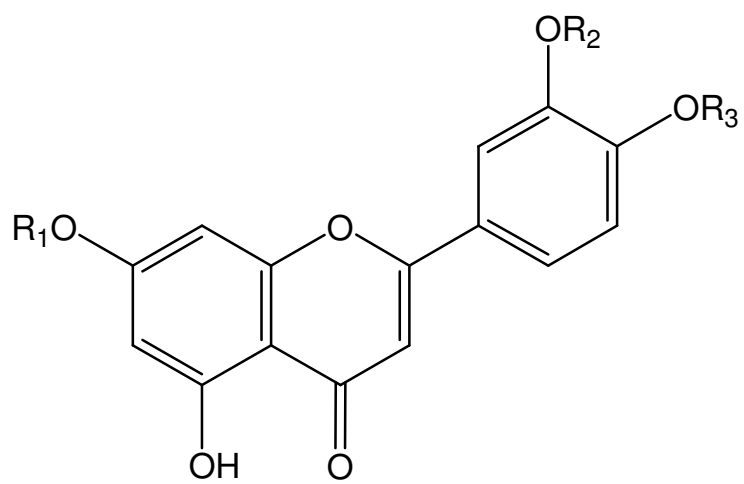
الفلافونيدات	النوع	المرجع	البنية
Apigénine	<i>O. natrix ssp ramosissime</i> <i>O. fruticosa</i> <i>O. natrix(2coll)</i> <i>O. sicula spinosa</i> <i>O. vaginalis</i> <i>O. ronindifolia</i> <i>O. spinosa</i>	[38]	A1
Genkwanine	<i>O. fruticosa</i> <i>O. natrix(2coll)</i> <i>O. ronindifolia</i> <i>O. spinosa</i>	[38]	A2
Acacétine	<i>O. ronindifolia</i> <i>O. spinosa</i> <i>O. fruticosa</i>	[38]	A3
7,4'-diméthoxyapigénine	<i>O. fruticosa</i> <i>O. spinosa</i>	[38]	A4
Lutéoline	<i>O. natrix(2coll)</i> <i>O. fruticosa</i> <i>O. tridentate</i> <i>O. spinosa</i>	[38]	B1
Chrysoériole	<i>O. spinosa</i> <i>O. tridentate</i> <i>O. natrix(2coll)</i> <i>O. natrix ssp ramosissime</i>	[38]	B2
Velutine	<i>O. natrix(2coll)</i> <i>O. tridentate</i> <i>O. spinosa</i>	[38]	B3
Hispiduline	<i>O. natrix(2coll)</i> <i>O. ronindifolia</i> <i>O. sicula</i> <i>O. spinosa</i>	[38]	C1
Cirsimaritine	<i>O. sicula</i> <i>O. tridentate</i> <i>O. vaginalis</i>	[38]	C2

Pectolinarigénine	<i>O .fruticosa</i> <i>O .natrix ssp ramosissime</i> <i>O . ronindifolia</i>	[38]	C3
Salvigénine	<i>O .fruticosa</i> <i>O .tridentate</i> <i>O . ronindifolia</i>	[38]	C4
Quercétine	<i>O .fruticosa</i> <i>O . spinosa</i>	[38]	D1
Quercétine -3-glycoside	<i>O .speciosa</i> <i>O .fruticosa</i>	[38]	D2
5,3',4'-triOH-6, 7,8-triOMe flavone	<i>O .natrix ssp ramosissime</i>	[38]	E1
5,7, 3'-triOH-6,8, 4'-triOMe flavone	<i>O .natrix ssp ramosissime</i>	[38]	E2
5,4'-diOH-6, 7, 8,3'-tetraOMe flavone	<i>O .natrix ssp ramosissime</i> <i>O .tridentate</i>	[38]	E3
5,7-diOH-6, 8,3,4'-tetraOMe flavone	<i>O .natrix ssp ramosissime</i> <i>O .natrix ssp natrix</i>	[38]	E4
5-hydroxy-6,7,8-tetraOMe flavone	<i>O .angustissima</i>	[39]	E5
5-hydroxy-6,7 -tetraOMe flavone	<i>O .angustissima</i>	[39]	E6
5,6-dihydroxy-,7-OMe flavone	<i>O .angustissima</i>	[39]	E7
5,7-dihydroxy flavone	<i>O .Angustissima</i>	[39]	E8
5,7,4'-triOH-3,6, 8-triOMe flavonole	<i>O . spinosa</i>	[38]	F1
5,7,4'-triOH-3,6, 8,3'-tetraOMe flavonole	<i>O . spinosa</i>	[38]	F2
<i>Chalcone</i>	<i>O .natrix ssp ramosissime</i>	[38]	G
<i>dihydrochalcone</i>	<i>O .natrix ssp ramosissime</i>	[38]	H



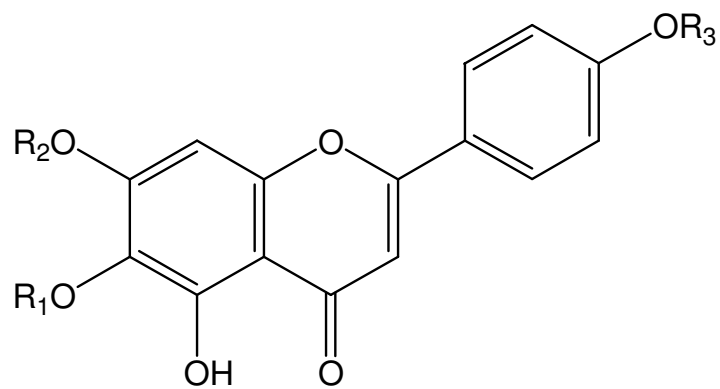
A

A	$R_1$	$R_2$
1	H	H
2	$CH_3$	H
3	H	$CH_3$
4	$CH_3$	$CH_3$



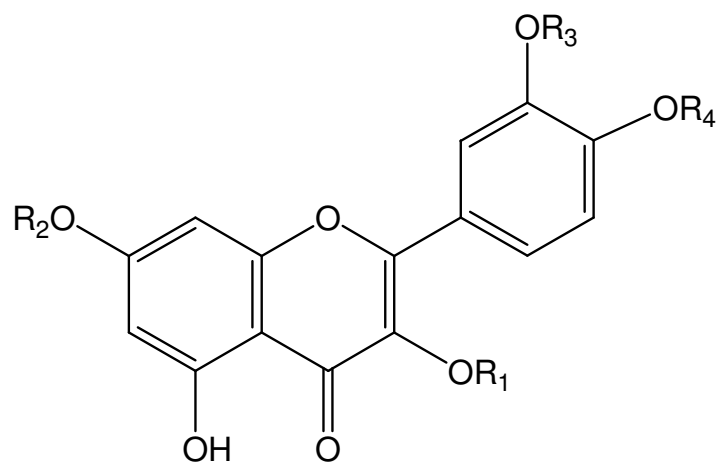
B

B	$R_1$	$R_2$	$R_3$
1	H	H	H
2	H	$CH_3$	H
3	$CH_3$	OH	$CH_3$



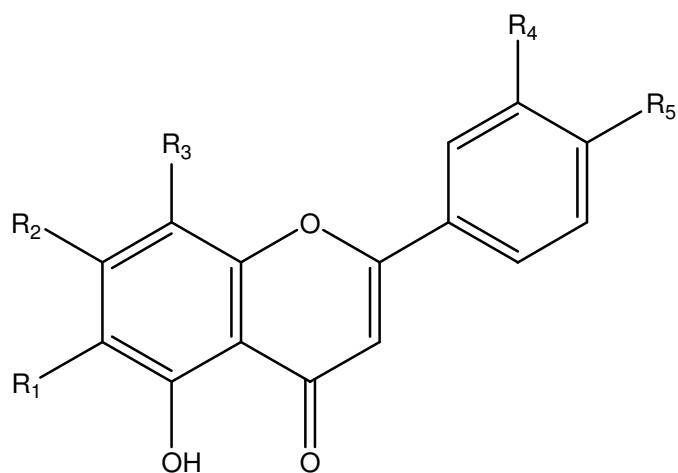
C

C	$R_1$	$R_2$	$R_3$
1	H	H	$CH_3$
2	$CH_3$	H	$CH_3$
3	H	$CH_3$	$CH_3$
4	$CH_3$	$CH_3$	$CH_3$



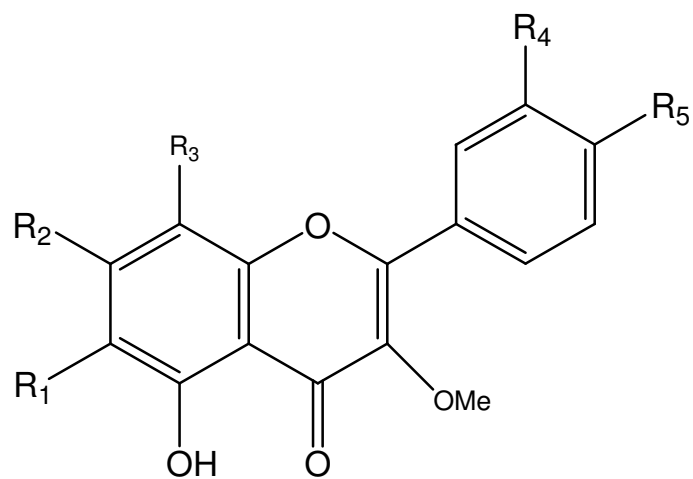
D

D	$R_1$	$R_2$	$R_3$	$R_4$
1	H	H	H	H
2	Gluc	H	H	H



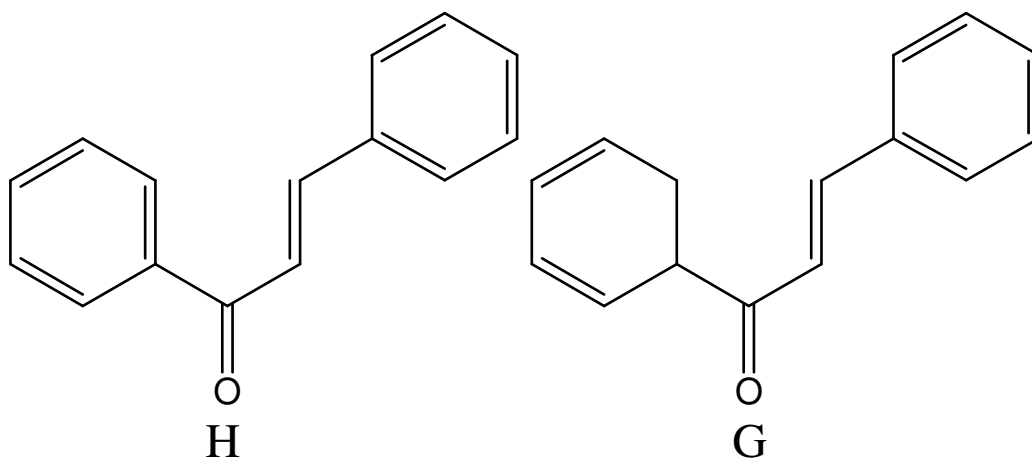
E

E	R1	R2	R3	R4	R5
1	OMe	OMe	OMe	OH	OH
2	OMe	OH	OMe	OH	OMe
3	OMe	OMe	OMe	OMe	OH
4	OMe	OH	OMe	OMe	OMe
5	OMe	OMe	OMe	H	H
6	OMe	OMe	H	H	H
7	OH	OMe	H	H	H
8	H	OH	H	H	H



F

F	R1	R2	R3	R4	R5
1	OMe	OH	OMe	H	OH
2	OMe	OH	OMe	OH	OH





## مراجع الفصل الأول

- [1] Mabry T. J., Thomas M. B., Markham K. R. (1970), the systematic identification of flavonoids, 13.
- [2] Harborne J. B. (1989). The flavonoids, advances in research since 1980, eds. Chapman and Hall, New York.
- [3] Harborne J. B. (1975). Progress in phytochemistry, V. 5, eds. Swin, T, Pergamon press.
- [4] Harborne J. B. (1973). phytochemistry, 2, 334.
- [5] Wollenweber, E. and Dietz, V. H. (1980). Biochem. Syst.Eco, 8, 21
- [6] Satyajit, D. (2007). Chemistry for Pharmacy Students, John Wiley & Sons Ltd, England.
- [7] Robinson, R. (1936). Nature, 137, 1172.
- [8] Davis, B. D. (1955). Advances in Enzymology, 16, 227.
- [9] Nazemiyeh, H., Shoeb, M., Movahhedineh, N., Kumarasamy, Y., Talebpour, A. H., Delazar, A., Lutfun, N., Satyajit D. Sarker, (2000). Biochem. Syst. And.
- [10] Jurd, L. (1962). The chemistry of flavonoid compounds. Geissman, Peragmon press, New- York
- [11] Jay, M. (1983). Z.Naturforsch, 38c, 413.
- [12] Harborne J. B. (1967). Comparative biochemistry of the flavonoids. Academic press. London.
- [13] Eyton, W. B., Ollis, W. D., Sutherland, I. O., Gottlieb, O. R., Tavora Magalhaes, M. (1965). Proc. Tetrahedron, 21, 2683.
- [14] El hazimi, H. (1995). Natural product, 149-190.
- [15] Reinsch, H., Repert, (1842). Pharm. 26, 18-25.
- [16] De Laire, G., Tiemann, F., (1893). Iridin, the glycoside of the iris root, J. Am. Chem. Soc. 15, 400-411.

- [17] Lapčič, O., (2007). *Phytochemistry*, 68, 2909-2916.
- [18] Ingham, J. L. (1983). *Prog. Chem. Org. Nat. Prod.* 43, 1–266.
- [19] Pincemail, J., Debby, C., Lion, Y., Braquet, P., Hans, P., Drieu, K., Goutier R. (1986). *Stud. Org. Chem*, 23, 423.
- [20] Robak, J., Gyglewsky, R. J. (1988). *Biochem. Pharmacol*, 37, 838.
- [21] Szent-Gyorgyi, A., Rusznyak, S. (1936). *Nature*, 138, 27.
- [22] Hertog, M. G. L., Feskens, E. J. M., Hollman, P.C.H., Katan, M.B., Kromhout D. (1993). *Lancet*, 342, 1007.
- [23] Ferraro, G. E. (1983). *Acta Farm. Bonaerense*, 2, 97.
- [24] Wagner, H. (1977). *Biology and Chemistry of Compositae*, 1, 411.
- [25] Elber, G., Wagner, H. (1992). *Planta Med*, 57, 137-141.
- [26] Sankawa, U., Chum, Y.T. (1985). *Advances in Chinese*.
- [27] Matsuda, H. Yano, M., Kubo, M., Linuma, M., Oyama, M. and Mizuno, M. (1991). Pharmacological study on citrus fruits unshiu markovich (2) on flavonoid components, *Yakugata Zasshi*, 111, 193-198.
- [28] Wagner, H., Wirer, M., Bauer, R. (1986). *Planta Med*, 184-187.
- [29] Murakami, N., Mostaqul, H. M., Tamura, S., Itagak, S., Horü, T.T. (2001). *Bivorg. Med. Chem. Lett*, 11, 2445-2447.
- [30] Bruneton, J. (1999). *Pharmacognosie phytochimie plantes médicinales*, éd. 3, Lavoisier, Paris.
- [31] Hammerstone, J. F., Iazarus, S., Mitchell, A., Rucker, R., Schmitz, H. (1999). *Agric. Food chem*, 47, 490-496.
- [32] Pietta, P.G., (2000). Flavonoids as antioxidants, *J. Nat. Prod*, 63, 1035-1042.
- [33] Sim, G.S., Lee, B.C., Cho, H.S., Lee, J.W., Kim, J.H., Lee, D.H., Pyo, H. B., Moon, D. C. (2007). *Arch. Pharm. Res*, 30, 290-298.
- [34] Bors, W., Heller, W., Michel, C. Saran, M. (1990). Flavonoids as antioxidants, determination of radical scavenging efficiencies methods *enzymol*, 186, 343-355.

- [35] Rice-Evans, C. A., Miller, N. J., Paganga, G. (1996). *Free Radi. Biol. Med*, 20, 933-956.
- [36] VanAcker, S.A.B.E., van den Berg, D. J., Tromp, M.N.J.L., Griffioen, D.H.V., Bennekom, W.P., Van der vijgh, W.J.F., Bast, A. (1996). *Free Radi. Biol. Med*, 20, 331-342.
- [37] Heijnen, C.G.M., Haenen, G.R.M.M., Van Acker, F.A.A., Van der Vijgh, W.J.F., Bast, A. (2001). *Toxicol. In vitro*, 5, 3-6.
- [38] Wollenweber, E., Dorra, M., Rivera, D., Roitman, J. N., Verlag der Zeitschrift fur Naturforschung, Tübingen, <http://www.znaturforsch.com>.
- [39] Bouheroum, M., Zaiter, L., Benayache, S., Benayache, F., Bermejo, J. B., Leon, F., Garcia, V. (2009). *Chemistry of Natural Compounds*, 45, 6.

# الفصل الثاني

طرق دراسة المركبات الفلافونيدية

## 1- عملية الاستخلاص:

قبل القيام بعملية الاستخلاص لا بد من تحضير النبتة المراد إجراء دراستها و ذلك بتنقيتها و تجفيفها جيدا في أماكن خاصة تسمح بالتهوية وبعيدا عن أشعة الشمس والرطوبة، تفاديا للتفاعلات الإنزيمية التي قد تحدث تغيرات على المركبات الطبيعية الأصلية المراد استخلاصها، بعدها نقوم بطحنها ووزنها. قد تستعمل النبتة بجميع أجزائها، كما قد يؤخذ الجزء الهوائي لوحده أو الجذور أو الثمار فقط، و عموما تتواجد الفلافونيدات في الجزء الهوائي في معظم الحالات الذي يتم الاصطناع الحيوي للفلافونيدات و ذلك لارتباطه بالعامل الضوئي.

تعامل الأجزاء المراد استخلاص الأيض الثانوي منها بمذيب مناسب، و يعتبر المذيب (كحول/ماء ) أكثر المذيبات استعمالا و ذلك بنسب معينة (3/7) أو (2/8) و هذا في حالة المادة النباتية الجافة، و يستعمل الكحول لوحده في حالة ما إذا كانت المادة النباتية غضة (خضراء)، الكحولات المستعملة هي الإيثانول و الميثانول .

و تتم عملية الاستخلاص على مراحل :

نأخذ الأجزاء النباتية المطحونة و نسكب عليها المحلول الهيدروكولي على البارد و نتركها لمدة 24 سا مع التحريك من حين لآخر، بعدها نرشح و نركز الراشح، تكرر العملية 3 مرات أو أكثر و في كل مرة نرشح و نركز الراشح و ذلك بتبخير أكبر كمية ممكنة من المحلول الهيدروكولي أين نتحصل على المستخلص الخام.

يؤخذ المستخلص الخام و يعامل بالماء المقطر الساخن ثم يترك مدة ليلة كاملة بعدها يرشح على ورق الترشيح و يحتفظ بالرشاحة.

تعامل الرشاحة المائية بايثر البيترول أو الهكسان و ذلك من أجل التخلص من المركبات الطبيعية ذات القطبية الضعيفة مثل الدهون، و الكلوروفيل.

يعامل الطور المائي بالكلوروفورم ثلاث مرات لنحصل على طور الكلوروفورم الذي ييخر تحت ضغط منخفض.

يعامل الطور المائي بخلات الإيثيل ثلاث مرات لنحصل على طور الخلات الذي يبخر تحت ضغط منخفض.

يعامل كذلك الطور المائي بالبوتانول العادي و تكرر هذه العملية ثلاث مرات أو أكثر، لنحصل على طور البوتانول و ذلك بعد التبخير تحت ضغط منخفض.

يكون لدينا في النهاية:

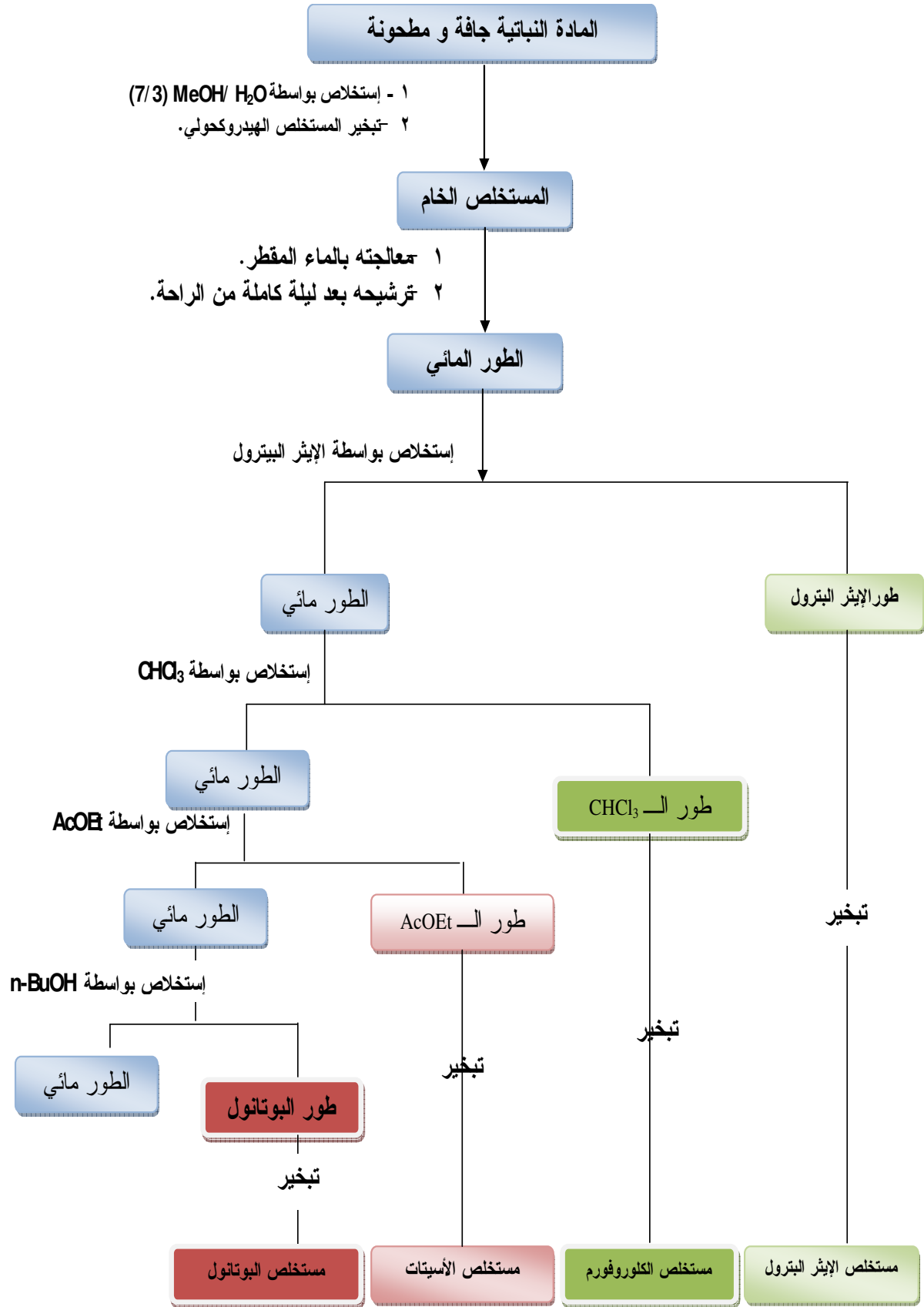
المستخلص الجاف للإيثر البيترولوي.

المستخلص الجاف للكلوروفورم.

المستخلص الجاف لخلات الإيثيل .

المستخلص الجاف للبوتانول العادي.

و الشكل التالي يبين لنا المراحل المتبعة في ذلك :



الشكل-1 - مخطط عام لإستخلاص الفلافونيدات.

## II- طرق الفصل:

التقنية الأساسية المستعملة لذلك هي الكروماتوغرافيا بمختلف أنواعها، حيث تستعمل كلمة كروماتوغرافيا للإشارة إلى تقنيات فصل مختلفة، تعتمد جميعها على توزيع المادة تحت الدراسة بين طورين أحدهما ثابت و الآخر متحرك، و الطور الثابت قد يكون جامدا أو سائلا محملا على الدعامة جامدة، أما الطور المتحرك فعادة يكون مذيبا عضويا [1].

- إن هدف الفيتو كيميائي هو الحصول على مركبات نقية لأجل ذلك يستعمل طرق فصل متتالية أهمها:

كروماتوغرافيا العمود (CC).

كروماتوغرافيا الورق (CP).

كروماتوغرافيا الطبقة الرقيقة (CCM).

كروماتوغرافيا السائل عالي الأداء (HPLC)

### II-1-كروماتوغرافيا العمود(CC):

هي طريقة كلاسيكية، الهدف منها هو فصل خليط معقد من المركبات الفلافونيدية و يستعمل لهذا الغرض كدعامة ثابتة :

السيليكاجال، السيليلوز، و متعدد الأميد.

حيث يستخدم السيليكاجال لفصل الفلافونيدات الأقل قطبية، أما السيليلوز فقد أثبتت فعاليته في فصل الفلافونيدات الغليكوزيدية عن تلك المجردة من السكر؛ غير أن متعدد الأميد لقي تطبيقا واسع النطاق في فصل الفلافونيدات الغليكوزيدية بعضها عن بعض.

و يتلخص طريق إجراء هذه التقنية فيما يلي :

- يؤخذ العمود الذي تختلف أبعاده باختلاف كمية المستخلص و يثبت بواسطة حامل و يعبأ بالطور الثابت المشبع بالمذيب الأقل قطبية مع الدعامة المستعملة لذلك الغرض.



- بعد ترصيص الطور الثابت جيدا داخل العمود توضع طبقة من رمل خاص يدعى **Sable de fontainebleau** بسمك 0.5 سم، بعدها تحضر العينة حيث يذاب المستخلص المراد فصله في أقل كمية ممكنة من الميثانول، و بواسطة ماصة باستور يتم توزيعه على سطح الرمل مع الحرص على عدم إتلافه، أو باتباع طريقة أخرى و التي تستعمل في حالة ما إذا تطلبت إذابة المستخلص الجاف كمية كبيرة من الميثانول، ففي هذه الحالة نضيف لمحلول المستخلص كمية من مسحوق البولي أميد SC<sub>6</sub> و نركز هذا الخليط حتى نحصل على مسحوق جاف الذي يضاف إلى العمود الكروماتوغرافي، بعد ذلك يضاف المملص الذي يكون في البداية مذيب أقل قطبية ثم نغير قطبيته بإضافة مذيب قطبي تدريجيا إلى غاية الوصول إلى قطبية عالية، و يتم مراقبة الحزم باستعمال مصباح وود (Wood) للأشعة فوق البنفسجية UV حيث تستقبل أسفل العمود و تركز حتى الجفاف أو عن طريق الطبقة الرقيقة CCM.

## II - 2-كروماتوغرافيا الورقة التحضيرية(CP):

يمكن استعمال هذه التقنية مباشرة على المستخلص في حالة عدم غنائه بالمركبات الفلافونويدية. كما تستعمل لجمع و فصل الكسور المحصل عليها من العمود الكروماتوغرافي.

يكون الورق المستعمل من نوع Whatman رقم I أو III، حيث يوضع الخليط بواسطة ماصة على كامل عرض الورقة على مسافة 2 سم من الحافة العلوية للورقة، و بعد أن تجف تغمس الورقة في المملص أين تبدأ الحزم في الهبوط تسلسليا، حتى وصول المملص إلى مسافة قصيرة من الحافة السفلية للورقة.

بعد جفافها و بالاستعانة بمصباح (Wood) يتم تحديد الحزم التي تقص على شكل قطع صغيرة و تغمس في الميثانول، أين ترشح ليحف الراشح، ثم تجرى له عملية فحص متعددة بواسطة كروماتوغرافيا الطبقة الرقيقة للتأكد من نقاوة المركبات الذي تم فصلها، و الأنظمة المستعملة في هذه التقنية عادة هي: [2]

الماء المقطر : حمض الخل : البيوتانول العادي. (BAW)

4	1	5
الماء المقطر : حمض الخل		
10	90	
25	75	
حمض الخل		

تراكيز مختلفة (10,15,20,25,30....)

كما يمكن استعمال كروماتوغرافيا الورق التحضيرية ذات البعدين إذا كان البعد الواحد غير كاف لفصل الخليط فصلا كاملا.

حيث يكون البعد الأول عمودي على البعد الثاني، فبعد إجراء البعد الأول تسحب الورقة و تترك لتجف ثم تدار بزاوية 90° و تغمس في مذيب آخر، حيث يكون البعد الأول عادة عضوي مثل الطبقة العضوية للنظام BAW و البعد الثاني مائيا كالنظام ACOH/H<sub>2</sub>O.

BAW : الماء المقطر : حمض الخل : البيوتانول العادي.

4 1 5

ACO<sub>2</sub>H/H<sub>2</sub>O : الماء المقطر : حمض الخل

25 75

II-3- كروماتوغرافيا الطبقة الرقيقة (CCM):

تستعمل في هذه التقنية شرائح من الزجاج أو البلاستيك ذات الأبعاد ( 20x20 سم) لتثبت عليها دعامة صلبة ثم يوضع الخليط المراد فصله عرضيا على بعد 1.5 سم من خط الانطلاق، بعدها توضع الصفائح في حوض به مملص، و أثناء هجرته يمر بالعينة الموضوعه أين يجر معه مختلف المركبات في شكل حزم التي يتم تحديدها بواسطة مصباح (Wood) ، بعد أن تجف الصفائح تكشف الحزم كلاً على حدى و توضع في قمع زجاجي لتغسل جيدا بالميثانول، يركز الرشيع و تجرى له عمليات فحص متعددة للتأكد من نقاوته و الأنظمة المستعملة كمملصات هي :

بالنسبة لمتعدد الأמיד ( كدعامة صلبة ) :

: (13 / 3 / 3 / 1) H<sub>2</sub>O / MeOH / MEC / Acétylacétone

) : (4 / 3 / 3 Toluène / MEC / MeOH

MeOH / H<sub>2</sub>O / AcOH : (18 / 1 / 1)

أما بالنسبة لـ : السيليكاجال ( كدعامة صلبة ) فهي ملخصة في الجدول (1)[3]:

**جدول -1-** :

نوع الفلافونويد	المملص
<b>Flavonoides aglycones</b>	EtOAc-i-PrOH-H <sub>2</sub> O, 100:17:13 EtOAc-CHCl <sub>3</sub> , 60:40 CHCl <sub>3</sub> -MeOH, 96:4 Toluène-CHCl <sub>3</sub> -MeCOMe, 8:5:7 Toluène-HCOOEt-HCOOH, 5:4:1 Toluène-EtOAc-HCOOH, 10:4:1 Toluène-EtOAc-HCOOH, 58:33:9 Toluène-EtCOMe-HCOOH, 18:5:1 <i>Toluène-dioxane-HOAc, 90:25:4</i>
<b>Flavonoides glycosides</b>	n-BuOH-HOAc-H <sub>2</sub> O, 65:15:25 n-BuOH-HOAc-H <sub>2</sub> O, 3:1:1 EtOAc-MeOH-H <sub>2</sub> O, 50:3:10 EtOAc-MeOH-HCOOH-H <sub>2</sub> O, 50:2:3:6 EtOAc-EtOH-HCOOH-H <sub>2</sub> O, 100:11:11:26 EtOAc-HCOOH-H <sub>2</sub> O, 9:1:1 EtOAc-HCOOH-H <sub>2</sub> O, 6:1:1 EtOAc-HCOOH-H <sub>2</sub> O, 50:4:10 EtOAc-HCOOH-HOAc-H <sub>2</sub> O, 100:11:11:26 EtOAc-HCOOH-HOAc-H <sub>2</sub> O, 25:2:2:4 THF-Toluène-HCOOH-H <sub>2</sub> O, 16:8:2:1 CHCl <sub>3</sub> -MeCOMe-HCOOH, 50:33:17 CHCl <sub>3</sub> -EtOAc-MeCOMe, 5:1:4 CHCl <sub>3</sub> -MeOH-H <sub>2</sub> O, 65:45:12 CHCl <sub>3</sub> -MeOH-H <sub>2</sub> O, 40:10:1 MeCOMe-butanone-HCOOH, 10:7:1 <i>MeOH-butanone-H<sub>2</sub>O, 8:1:1</i>
<b>Flavonoides glucuronides</b>	EtOAc-Et <sub>2</sub> O-dioxane-HCOOH-H <sub>2</sub> O, 30:50:15:3:2 <i>EtOAc-EtCOMe-HCOOH-H<sub>2</sub>O, 60:35:3:2</i>

<b>Flavanone aglycones</b>	<i>CH<sub>2</sub>Cl<sub>2</sub>-HOAc-H<sub>2</sub>O, 2:1:1</i>
<b>Flavanone glycosides</b>	CHCl <sub>3</sub> -HOAc, 100:4 CHCl <sub>3</sub> -MeOH-HOAc, 90:5:5 <i>n-BuOH-HOAc-H<sub>2</sub>O, 4:1:5 (la couche supérieur)</i>
<b>Chalcones</b>	<i>Hexane -EtOAc, 1:1</i>
<b>Isoflavones</b>	CHCl <sub>3</sub> -MeOH, 92:8 CHCl <sub>3</sub> -MeOH, 3:1
<b>Isoflavone glycosides</b>	<i>n-BuOH-HOAc-H<sub>2</sub>O, 4:1:5 (couche supérieure)</i>
<b>Dihydroflavonoles</b>	<i>CHCl<sub>3</sub>-MeOH-HOAc, 7:1:1</i>
<b>Biflavonoides</b>	CHCl <sub>3</sub> -MeCOMe-HCOOH, 75:16.5:8.5 <i>Toluène-HCOOEt-HCOOH, 5:4:1</i>
<b>Anthocyanidines et anthocyanines</b>	EtOAc-HCOOH-2 M HCl, 85:6:9 <i>n-BuOH-HOAc-H<sub>2</sub>O, 4:1:2</i> EtCOMe-HCOOEt-HCOOH-H <sub>2</sub> O, 4:3:1:2 <i>EtOAc-butanone-HCOOH-H<sub>2</sub>O, 6:3:1:1</i>
<b>Proanthocyanidines</b>	EtOAc-MeOH-H <sub>2</sub> O, 79:11:10 <i>EtOAc-HCOOH-HOAc-H<sub>2</sub>O, 30:1.2:0.8:8</i>

## II-4-كروماتوغرافيا نظام السائل عالي الأداء (HPLC):

تسمح هذه التقنية بتحديد المحتوى الفينولي للعينة المراد تحليلها، و هي أيضا نوع من أنواع التحليل الكروماتوغرافي التجزيئي الذي يتطلب استخدام ضغوط عالية لدفع المذيب خلال العمود، و تعتبر التقنية الأفضل لفصل و تحليل الخلائط المعقدة في وقت قصير [4]، و أهم المذيبات المستعملة هي:

### **الماء المقطر: الأسيتونتريل : حمض الخل**

- يجر المملص معه المركبات في العمود بصفة انتقائية فتتزل المركبات ثنائية السكر قبل أحادية السكر، و هذه الأخيرة قبل الأجليكونات [5].

### III-التنقية:

الهدف منها هو التخلص من الشوائب العالقة بالمركبات المفصولة (متعدد الأמיד، سيليلوز ... الخ) و للحصول على نتائج جيدة نستعمل عمود بطول 20سم و قطر 1سم ثم نتبع الخطوات التالية :

#### III-1- التنقية على عمود من متعدد الأמיד SC6

يتم مزج متعدد الأמיד SC<sub>6</sub> بالطولوين، ثم يصب في العمود الكروماتوغرافي و بعد استقرار المزيج فيه يوضع المركب المفصول و المذاب في اقل كمية من الميثانول على سطح الدعامة. بعد وضعه يغسل بالطولوين ثم يغير المملص تدريجيا بإضافة الميثانول حتى يتم نزول المركب كليا.

#### III-2-التنقية على عمود السيفاداكس:

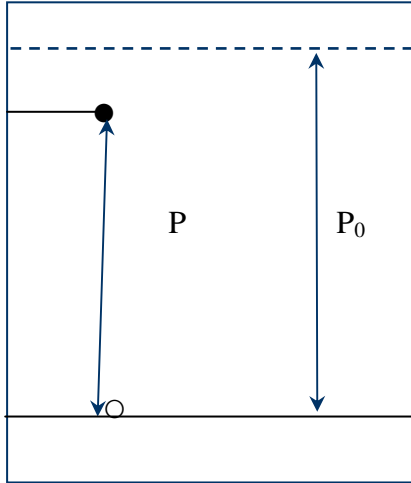
تستعمل هذه التقنية في المراحل الأخيرة من عمليات الفصل و التنقية. و لتحقيق عمود من Sephadex LH20 يتم نقع جال السيفاداكس في الميثانول، ثم يصب المزيج بلطف في العمود، و بعد استقراره يتم وضع المركب المفصول و المذاب في أقل كمية ممكنة من الميثانول على السطح بعناية، يملص بعدها بدفعات متتالية من الميثانول، حيث يخرج المركب أسفل العمود نقيًا و جاهزا لمختلف الدراسات البنوية.

### IV- التحديد البنوي للفلافونيدات:

#### IV-1- الخواص الكروماتوغرافية :

#### IV-1-1- معامل الانحياز (معامل الاعاقة): $R_f$

وهو النسبة بين المسافة المقطوعة من طرف المركب P انطلاقا من نقطة البداية والمسافة المقطوعة من طرف المذيب P<sub>0</sub> من نفس النقطة، و هو قيمة مميزة لكل مركب في شروط كروماتوغرافية معينة (درجة الحرارة، المذيب،...) و ترتبط قيمة  $R_f$  بطبيعة المجموعات الاستبدالية على المركب [6] , [7] .



$$R_f = P/P_0$$

و يتم قياس  $R_f$  للمركبات النقية عادة من ثلاثة أنظمة لمذيبات مختلفة:

النظام 1: (4/3/3) : toluène / méthanol / méthyléthylcétone

النظام 2: (13/ 3/ 3/ 1) : eau / méthanol / méthyléthylcétone / acétylacétone

النظام 3: 15% : acide acétique

ومن خلال قيم  $R_f$  في مختلف الأنظمة يمكن معرفة ما إذا كان المركب أجليكونا أو إيتيروزيديا، كذلك

معرفة ما إذا كان أحادي، ثنائي أو ثلاثي السكر [ 6][8]

والجدول 2- يبين العلاقة بين الفلافونيد وقيمة  $R_f$ .

$R_f$ قيمة	بنية الفلافونيد
تزيد قيمة $R_f$ في الأنظمة العضوية	زيادة عدد مجموعات $OCH_3$
تزيد قيمة $R_f$ في الأنظمة العضوية	مثالة OH الموضع 5
تنقص قيمة $R_f$ في الأنظمة المائية	
تنقص قيمة $R_f$ في الأنظمة العضوية	وجود السكر
تزيد قيمة $R_f$ في الأنظمة المائية (H <sub>2</sub> O/EtOH/MEC/Acétylacétone 13/3/3/1)	
تزيد قيمة $R_f$ في الأنظمة العضوية	وجود مجموعات أستيل
تنقص قيمة $R_f$ في الأنظمة المائية	
تنقص قيمة $R_f$ في الأنظمة العضوية (T/MEC/MeOH 4/3/3)	زيادة عدد مجموعات OH

والجدولين 3 و4 يبينان قيمة  $R_f$  لبعض الشالكونات و الأورونات [9][10][11].

$R_f$ (TBA)	$R_f$ (HOAc)	الشالكونات
0.87	0.26	3,4-Dihydroxychalcone
0.93	0.11	Dihydroxychalcone', 4-'2
0.84	0.16	Trihydroxychalcone'-',4',3'2
0.7	0.07	Tetrahydroxychalcone'-',3,4,4'2

الجدول-3- قيمة  $R_f$  لبعض الشالكونات

$R_f$ (TBA)	$R_f$ (HOAc)	الأورونات
0.85	0.06	-Dihydroxyaurone',4'3
0.87	0.9	6,7-Dihydroxyaurone
0.39	0.02	Tetrahydroxyaurone (Maritimetin)',7-6,',4'3
0.64	0.02	Leptosidine

الجدول-4- قيمة  $R_f$  لبعض الأورونات

**TBA:** *Tertio Butyl Alcool*

#### اللون الاستشعاعي: IV-2-1-

إن المركب تحت الأشعة فوق البنفسجية يعطينا معلومات أولية تخص صيغته البنوية المحتملة و الجدول - 5 - الموالي يوضح ذلك [6]

لون المركب تحت الأشعة (UV)	التراكيب البنوية المحتملة
بنفسجي مسود	فلافون, فلافون مع (5-OH). فلافون مستبدل في الموضع 3. 7,6,5 أو 8,7,5 ثلاثي هيدروكسي فلافون.
أزرق (بنفسجي نيلي)	فلافون أو فلافونون بدون (5-OH). فلافونول مستبدل في 3 وبدون (5-OH).
أصفر أو أصفر باهت	فلافونول غير مستبدل مع أو بدون (5-OH)
برتقالي لامع	إيزوفلافون.
أصفر مخضر	أورون.
أخضر	بعض الشالكونات

جدول 5- يوضح العلاقة بين لون المركب تحت (UV) وبنيته الكيميائية.

#### IV-2- طرق التحليل الفيزيوكيميائية

##### IV-2-1 مطيافية الأشعة فوق البنفسجية UV :

الفلافونويدات واحدة من المركبات القادرة على امتصاص الأشعة فوق البنفسجية، و ذلك لاحتوائها على مجموعات مسؤولة عن ذلك تدعى بـ chromophores (و هذه الأخيرة عبارة عن مواقع غنية بالإلكترونات كما قد تكون عبارة عن مجموعات كيميائية مثل مجموعة الهيدروكسيل "OH" و مجموعة الميثوكسيل "OCH<sub>3</sub>"...).



و تعتبر مطيافية الأشعة فوق البنفسجية من أهم الوسائل المستعملة للتعرف على بنية المركبات الفلافونويدية، و قد نشرت أبحاث كثيرة بهذا الصدد [5] [12-13-14-15].  
و تكمن أهميتها في:

- لا تحتاج إلى كمية كبيرة من المركب لإنجازها (0,1 ملغ).
- سهولة و سرعة تحقيقها.
- تعطي معلومات معتبرة عن البنية المحتملة للمركب.

ويعتمد أساس هذه التقنية في كون كل مركب فلافونويدي له طيف امتصاص مميز و خاص في الوسط الميثانولي، و يتغير هذا الطيف بإزاحات معينة بعد إضافة كواشف معروفة: إما قواعد (هيدروكسيد الصوديوم NaOH، أسيتات الصوديوم NaOAc) أو أحماض لويس (  $AlCl_3$  كلوريد الألمنيوم، حمض البوريك  $H_3BO_3$ ) حيث أن طبيعة الكاشف و تأثيره على طيف الامتصاص يوفران معلومات حول بنية المركب [16].

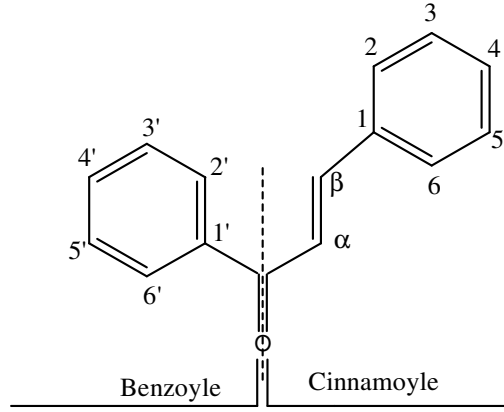
#### IV -2-1- أ- مطيافية الأشعة فوق البنفسجية UV للشالكونات و الاورونات :

طيف الاشعة فوق البنفسجية لكل من الشالكونات و الاورونات مميز بشدة(حدة) امتصاص العصابة I وضعف (نقص- شبه انعدام) العصابة II [9][17].

#### IV -2-1- أ-1- طيف الامتصاص في الوسط الميثانولي: [9]

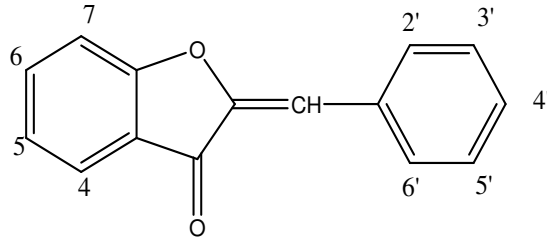
طيف امتصاص الشالكونات في الوسط الميثانولي يعطي عصابتين :  
العصابة I : تتميز بطول موجة أعظمية مابين ( 340-390 نم) و تعود إلى امتصاص الشكل cinnamoyl و ذلك نتيجة للرنين الناتج عن ترافق مجموعة الكربونيل مع الحلقة البنزينية B .

العصابة II : : تتميز بطول موجة أقل شدة من العصابة I تقع مابين ( 220-270 نم) و تعود إلى امتصاص الشكل Benzoyl للمركب و ذلك نتيجة للرنين الناتج عن ترافق مجموعة الكربونيل مع الحلقة البنزينية A . كما هو موضح في الشكل -2- :



الشكل -2- ترافق مجموعة الكربونيل مع كل من الحلقتين A و B للشالكون

- إن التمييز بين بنية (شالكون) و (أورون) يكون من خلال وضعية العصابة I في الطيف الميثانولي.



Aurone

فالحزمة I تظهر بين ( 340 - 390 ) بالنسبة للشالكون و بين ( 370 - 430 ) بالنسبة للأورون.

- تثبيت مجموعة OH على الحلقة B يغير إزاحة العصابة I أكثر مما لو كان تثبيت المجموعة على الحلقة A.

الجدول - 6- أهم الإنزياحات الملاحظة للعصابتين (I) و (II) في الوسط الميثانولي للفلافونيدات:

نوع الفلافونويد	العصابة II (nm)	العصابة I (nm)
فلافون	280 – 250	350 – 310
فلافونول 3-OH مستبدل	280 – 250	360 – 330
فلافونول 3-OH حر	280 – 250	385 – 350
ايزوفلافون	275 – 245	330 – 310
فلافانول و dihydroflavonol	295 – 275	330 – 300
شالكون	270 – 220 شدة منخفضة	390 – 340
اورون	270 – 220 شدة منخفضة	430 – 380
انثوسيانيدين و انثوسيانين	270 – 230	560 – 465

الجدول - 6- أهم الإنزياحات الملاحظة للعصابتين (I) و (II) في الوسط الميثانولي للفلافونيدات

#### IV-2-1-أ-2 - طيف الامتصاص في وجود NaOH أو NaOMe:

NaOH : هي عبارة عن قاعدة قوية تؤين كل هيدروكسيلاات الفلافونويد، و إضافتها لـ (مركب + ميثانول) تحدث إزاحة باثوكرومية لكل الطيف، أي إنزياح في اتجاه ( $\lambda$ ) طول الموجي الأعظمي و يظهر تأثيرها خاصة على العصابة (I) أشد منه على العصابة (II) ، و مثال ذلك وجود OH حرة في الموقع 4 لـ شالكون يؤدي إلى إزاحة باثوكرومية بمقدار [+60 إلى +100 نم] للعصابة (I) مع زيادة في الشدة الضوئية. أما إذا كان الشالكون يحتوي على OH حر في الموقع 2 أو (و) 4' فإنه يعطي نفس الإزاحة الباثوكرومية السابقة بدون زيادة في الشدة الضوئية [9][11].

أما في حالة الأورونات فإذا كانت تحتوي على OH حر في الموقع 4' فإنها تعطي إزاحة باثوكرومية للعصابة (I) بمقدار [+80 إلى +95 نم]. وإذا كانت تحتوي على OH حر في الموقع 6 فإنها تعطي إزاحة باثوكرومية لكن بمقدار أصغر من [+70 نم] . أما إذا كانت كلتا المجموعتين 6 و 4' (OH) موجودتين فإن الإزاحة الباثوكرومية تنخفض إلى حد كبير [10].

#### IV-2-1-أ-3 - طيف الامتصاص في وجود NaOAc :

بخصوص تأثير الـ NaOAc على طيف uv للشالكونات و الأورونات الإزاحة الباثوكرومية للعصابة (I) (أو ظهور كتف على جانب الطول الموجي الطويل للعصابة (I) يمكن ربطه بوجود مجموعة هيدروكسيل (OH) حر في الموقع 4' أو (و) 4 في الشالكونات أو في الموقع 6 أو (و) 4' في الأورونات.

مجموعة هيدروكسيل (OH) في الموقع 2 على نواة الشالكون لا تظهر بواسطة NaOAc. الشالكون مع ثلاث مجموعات هيدروكسيل متجاورة قد يتفكك في NaOAc.

#### IV-2-1-أ-4 - طيف الامتصاص في وجود NaOAc + H<sub>3</sub>BO<sub>3</sub>:

يضاف H<sub>3</sub>BO<sub>3</sub> على العينة في وجود NaOAc للكشف عن مجموعة أورثو ثنائي الهيدروكسيل على الحلقة B فتتشكل معقدات مخليبية و الشكل-3- يوضح ذلك. و يلغى في حالة استبدال أحدهما فقط.

وجود مجموعة أورثو ثنائي الهيدروكسيل على الحلقة B في الشالكونات والأورونات تظهر عند اضافة  $H_3BO_3$  على العينة في وجود NaOAc إنزياح باثوكرومي للعصابة I بمقدار  $[+28]$  إلى  $+36$  نم].

مجموعة أورثو ثنائي الهيدروكسيل على الحلقة A ايضا قابل للكشف بهذا الإجراء بالرغم أن الإزاحة الملاحظة تكون أصغر بعض الشيء.

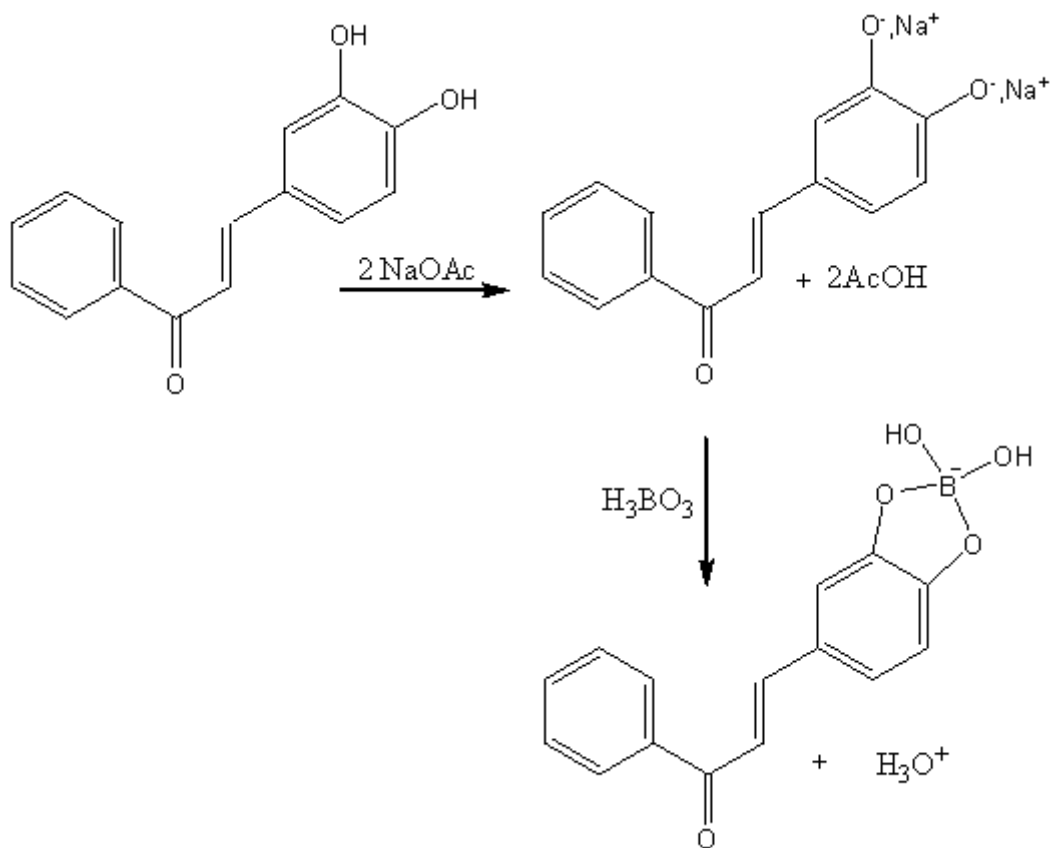
والجدولين 7 و 8 يبينان مقدار الإزاحة الباثوكرومية ( $+\Delta\lambda$ ) للعصابة I في وجود ( $H_3BO_3$  NaOAc+) بالمقارنة مع طيف الميثانول لمجموعة من المركبات:

$+\Delta\lambda$	الشالكونات
36	3,4-Dihydroxychalcone
10	-Trihydroxychalcone',4',3'2
30	Trihydroxychalcone'-',3,4'2
36	Tetrahydroxychalcone'-',3,4,4'2

#### الجدول -7-

$+\Delta\lambda$	الأورونات
32	-Dihydroxyaurone',4'3
22	6,7-Dihydroxyaurone
33	Tetrahydroxyaurone',7-6,',4'3
28	Leptosidine

#### الجدول -8-



### الشكل -3- تشكيل المعقد في وجود H<sub>3</sub>BO<sub>3</sub> + NaOAc

### IV-2-1- أ-5- طيف الامتصاص في وجود AlCl<sub>3</sub> و ( AlCl<sub>3</sub> + HCl ) :

كلوريد الألمنيوم ( AlCl<sub>3</sub> ) يكون معقدات ثابتة مع الكربونيل و هيدروكسيل الموضع C<sub>2</sub> ، و تبقى هذه المعقدات ثابتة بعد إضافة حمض HCl. كما يشكل نفس الكاشف AlCl<sub>3</sub> مع مجموعة أورثو ثنائي هيدروكسيل معقدات تكون غير ثابتة بعد إضافة حمض HCl [8] و الشكل-4- يوضح هذه المعقدات.

وجود مجموعة أورثو ثنائي الهيدروكسيل على الحلقة B لكل من الشالكونات والأورونات يظهر إنزياح باثوكرومي للعصابة I بمقدار [40+ إلى +70 نم].

مجموعة أورثو ثنائي الهيدروكسيل على الحلقة A أيضا قابل للكشف بهذا الإجراء بالرغم أن الإزاحة الملاحظة تكون أصغر بعض الشيء.

والجدولين التاليين يبينان مقدار الإزاحة الباثوكرومية ( $+\Delta\lambda$ ) للعصابة I في وجود ( $\text{AlCl}_3$ ) بالمقارنة مع طيف ( $\text{AlCl}_3 + \text{HCl}$ ) لمجموعة من المركبات:

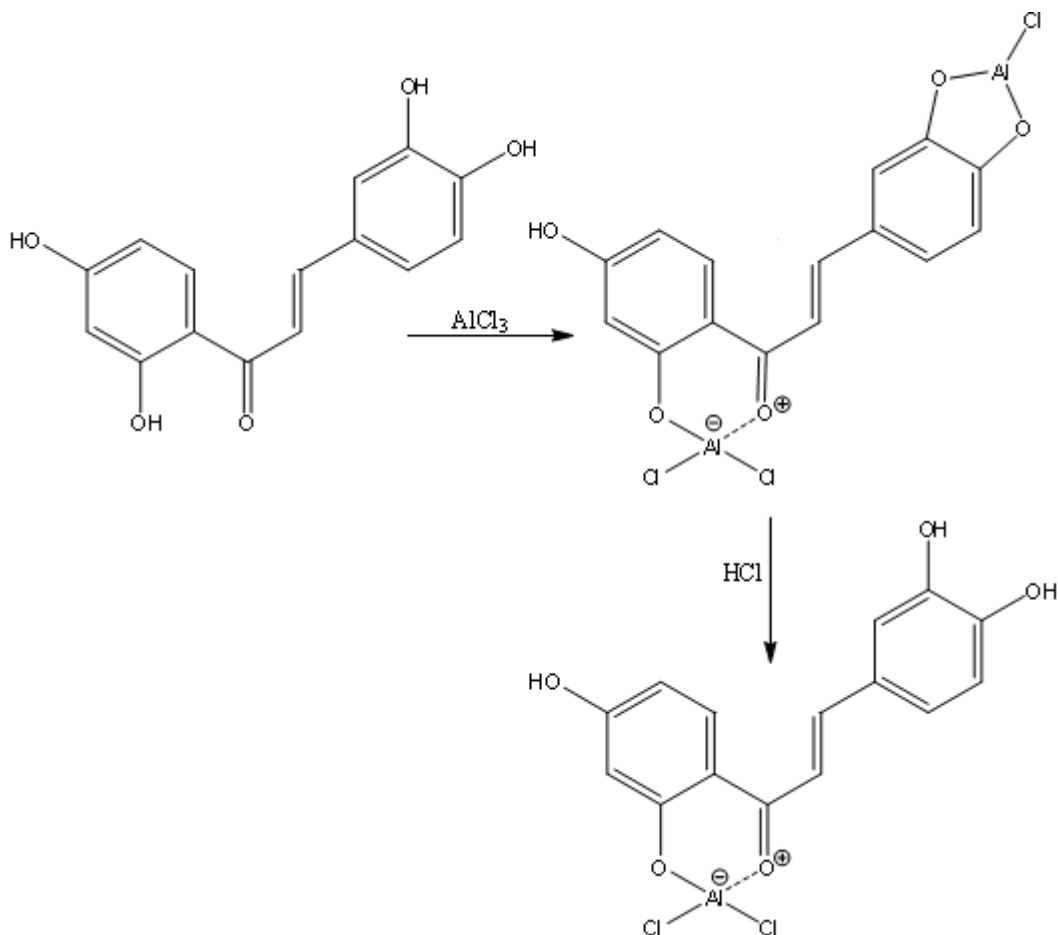
$+\Delta\lambda$	الشالكونات
48	3,4-Dihydroxychalcone
22	-Trihydroxychalcone',4',3'2
67	Trihydroxychalcone'-',3,4'2
63	Tetrahydroxychalcone'-',3,4,4'2

#### الجدول-9-

$+\Delta\lambda$	الأورونات
50	-Dihydroxyaurone',4'3
39	6,7-Dihydroxyaurone
48	Tetrahydroxyaurone'-6,7',4'3
44	Leptosidine

#### الجدول-10-

أما في حالة الشالكونات المستبدلة في الموقع 2' فإنها تعطي في وجود ( $\text{AlCl}_3 + \text{HCl}$ ) إزاحة باثوكرومية للعصابة I بالمقارنة مع طيف الميثانول. أما إذا كانت مستبدلة في المواقع 2',3',4' فإنها تعطي إزاحة بمقدار +40 نم .



الشكل-4- المعقدات الثابتة وغير الثابتة بين الفلافونيد و  $\text{AlCl}_3$  قبل وبعد إضافة  $\text{HCl}$

والجدول التالي يوضح مختلف التأثيرات المحتملة على طيف UV و تفسيراتها قبل وبعد إضافة الكواشف [9, 10, 11] [17,18].



التعليق	الإزاحة الملاحظة (نم)		الكاشف
شالكون أورون	العصاية (II) 220-270 220-270	العصاية (I) 340-390 430-370	MeOH
4-OH (شالكون) 2-OH أو (و) 4'-OH (شالكون)	60+ إلى 100 للعصاية (I) مع زيادة في شدة الإمتصاص 60+ إلى 100 للعصاية (I) مع نقصان في شدة الإمتصاص		NaOMe (NaOH)
4'-OH (أورون) 6-OH (أورون)	80+ إلى 95 للعصاية (I) مع ثبات في شدة الإمتصاص 70+ للعصاية (I) مع ثبات في شدة الإمتصاص		
OH حر في الموقع 4' أو (و) 4 في الشالكونات أو في الموقع 6 أو (و) 4' في الأورونات	إزاحة باثوكرمومية للعصاية (I)		NaOAc
أرتو ثنائي هيدروكسيل على الحلقة B للشالكونات و الأورونات أرتو ثنائي الهيدروكسيل على الحلقة A	28+ إلى 36 للعصاية (I)		NaOAc + H <sub>3</sub> BO <sub>3</sub>
أرتو ثنائي هيدروكسيل على الحلقة B للشالكونات و الأورونات	40+ إلى 70+ مقارنة بطيف HCl + AlCl <sub>3</sub>		AlCl <sub>3</sub>
أرتو ثنائي هيدروكسيل على الحلقة A (إضافة إلى أرتو ثنائي الهيدروكسيل على الحلقة B)	20+ إلى 25+ مقارنة بطيف HCl + AlCl <sub>3</sub>		

### الجدول - 11 -

#### IV-2-2- مطيافية الرنين النووي المغناطيسي RMN:

يعتبر مطيافية الرنين النووي المغناطيسي RMN من أهم الوسائل التحليلية المستخدمة في تشخيص التركيبة الكيميائية للمركبات و توجد عدة تقنيات هي :

طيف RMN للبروتون  $^1\text{H}$ .

طيف RMN للكربون  $^{13}\text{C}$ .

طيف RMN ثنائي الإتجاه .

#### IV-2-2-أ- مطيافية الرنين النووي المغناطيسي $^1\text{H}$ -RMN:

يتم الحصول على طيف  $^1\text{H}$ -RMN باستعمال مذيبات مختلفة حسب قطبية المركبات مثل  $\text{CDCl}_3$  مع الفلافونويدات غير القطبية و مذيب  $\text{CD}_3\text{OD}$  و  $\text{DMSO-d}_6$  مع معظم الغليكوزيدات و الجليكونات [5].

و فيما يلي جداول تبين بعض الإزاحات الكيميائية لبروتونات الحلقات A, B, C [19-20] [5]

#### الجدول - 6 - الإزاحات الكيميائية لبروتونات الحلقة A [19]

(H-8)		(H-6)		(H-5)		بروتونات الحلقة A طبيعة الفلافونيد
$\delta, \text{ppm}$	$J, \text{Hz}$	$\delta, \text{ppm}$	$J, \text{Hz}$	$\delta, \text{ppm}$	$J, \text{Hz}$	
6,3-6,5 (d)	2,5	6,0-6,2 (d)	2,5	-	-	5,7-OH
6,5-6,9 (d)	2,5	6,2-6,4 (d)	2,5	-	-	5-OH , 7-OR (R: Glu)
6,7-7,0 (d)	2,5	6,7-7,1(dd)	2,5-9	8,0 (d)	9,0	7-OR (R = H , sucre)
6,3 (s)	-	-	-	-	-	5,6,7-OR (R = H , sucre)
-	-	6,3 (s)	-	-	-	5,7,8-OR

#### الجدول - 6 -

**الجدول - 7 - الإنزياحات الكيميائية لبروتونات الحلقة B [20][5]**

(H-3' / H-5')		(H-2' / H-6')		بروتونات الحلقة B طبيعة الفلافونيد
$\delta$ ,ppm	J,Hz	$\delta$ ,ppm	J,Hz	
6,5-7,1(d)	8,5	7,7-7,9(d)	8,5	فلافون (4'-OR)
6,5-7,1(d)	8,5	7,9-8,1(d)	8,5	فلافونول (4'-OR)
6,5-7,1(d)	8,5	-7,8(d)	8,567,	الأورون (4'-OR)
(H-3 / H-5)		(H-2 / H-6)		الشالكون (4-OR)
6,5-7,1(d)	8,5	7,4-7,6(d)	8,5	

**الجدول - 7 -**

H-6'		H-2'		بروتونات الحلقة B طبيعة الفلافونيد
$\delta$ ,ppm	J,Hz	$\delta$ ,ppm	J,Hz	
8.5 و (q)	2,55-7,3,7	(d)	2,53-7,27,	فلافون (4'-OMe 3'-OH) و 3',4'-OH
8.5 و (q)	2,59-7,6,7	7,5-7,7(d)	2,5	فلافول (4'-OMe 3'-OH) و 3',4'-OH
8.5 و (q)	2,56-7,4,7	-7,8(d)	2,567,	فلافول (4'-OH, 3'-OMe)

**الجدول - 7 -**

**بروتونات الحلقة C :**

يعطي البروتون H-3 في الفلافون إشارة أحادية حادة في المجال [6,2-6,4ppm] و تتداخل مع إشارة بروتوني الحلقة A (H-8, H-6).

## بروتونات الميتوكسيل -OMe :

وجود مجموعة ميتوكسيل أو عدة ميتوكسيلات في الجزيء يظهر مجموعة من الإشارات الأحادية بين [3,8 – 4,5ppm]. [21]

## بروتونات السكر:

بروتونات السكر تتميز بالبروتون الأنوميري، إذ يختلف إزاحة هذا البروتون حسب طبيعة السكر وكذا موقع و نوع الرابطة بين السكر و الأجليكون و تتواجد إشارته عموما في مجالات أدنى من مجال إشارات بقية بروتونات الأجليكون [5] و الجدول -11 - يعطينا قيم الإزاحات للبروتون الأنوميري لبعض الجليكوزيدات في  $DMSO-D_6$

## الجدول - 8 - قيم الإنزياح للبروتون الأنوميري لبعض الجليكوزيدات في $DMSO-D_6$

H-1 ( $\delta$ ,ppm)	طبيعة السكر
5,25 – 5,56	3-O- $\beta$ -D-Glucoside
5,6	3-O- $\beta$ -D-Galactoside
4,64 – 4,88	8-O- $\beta$ -D-Glucoside
4,85 – 5,26	6-O- $\beta$ -D-Rhamnoside

## الجدول - 8 -

## البروتونات المميزة للشالكونات و الأورونات: [22-23]

الأورونات	الشالكونات			
	H $\alpha$		H $\beta$	
H إيثيليك	$\delta$ ,ppm	J,Hz	$\delta$ ,ppm	J,Hz
6,75 (s)	6,7-7,4(d)	15	7,3-7,7(d)	15

### IV-2-2-ب- مطيافية الرنين النووي المغناطيسي للكربون $^{13}C$ RMN :

تعتبر مطيافية الرنين النووي المغناطيسي للكربون  $^{13}C$  تقنية مكملة لمطيافية البروتون و تستعمل مع مختلف أنواع الفلافونويدات  
\*كما تستخدم أطياف الكربون في التعرف على جليكوزيدات الفلافونات و الفلافونولات حيث تؤدي إلى معلومات مهمة عن طبيعة و مكان ارتباط الوحدة السكرية كما تفيد أيضا في:

معرفة العدد الإجمالي لذرات الكربون للفلافونيد .

معرفة عدد كربونات السكر .

معرفة عدد الكربونات الأوكسيجينية داخل أنوية الفلافونيدات .

طبيعة و مكان ارتباط الوحدة السكرية.

التمييز بين هياكل الفلافونيدات اعتمادا على الإنزياح الكيميائي للكربونات 2، 3، و 4.

يوضح الجدول التالي الإزاحات الكيميائية لذرات الكربون 2، 3، 4 للفلافونات والفلافونولات من خلال تقنية الرنين النووي المغناطيسي  $^{13}C$  RMN [22-24].

**\* الجدول-9- الإزاحة الكيميائية لبعض ذرات الكربون للفلافونات و الفلافونولات وللشالكونات**

الإزاحة الكيميائية ppm بالنسبة لـ TMS	طبيعة الكربون
7 - 22	Aromatique C-CH <sub>3</sub>
59 - 63	Aromatique O-CH <sub>3</sub>
58 - 59	3-Methoxyflavone (3-OCH <sub>3</sub> )
56 - 78	Sucre CH <sub>2</sub> OH, CH-OH, C-glycoside
90 - 110	5,7-Dihydroxyflavonoide (C <sub>6</sub> -C <sub>8</sub> )
90 - 135	Flavone (C-3)
135 - 144	Flavanol (C-3) 3-Methoxyflavone (C-3)
136 - 158	Flavanol (C-2) 3-Methoxyflavone (C-2)
155 - 168	Flavone (C-2)
172 - 186	Flavone (C-4) Flavanol (C-4) 3-Methoxyflavone (C-4)
143	chalcone(C $\beta$ )
129	chalcone(C $\alpha$ )

**الجدول-9-**

#### IV-2-3 - مطيافية الكتلة:

و تستعمل هذه التقنية للتعرف على البنية الكيميائية للمركب بمعرفة الوزن الجزيئي، و بدراسة مختلف الشظايا الناتجة عن إنشطاره ، و تكمن أهمية هذه التقنية في كون أنها لا تحتاج إلى كميات كبيرة من العينة، و من بين التقنيات المستعملة في هذا المجال

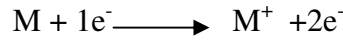
- تقنية القذف الإلكتروني (EI).

- تقنية القذف السريع (F.A.B).

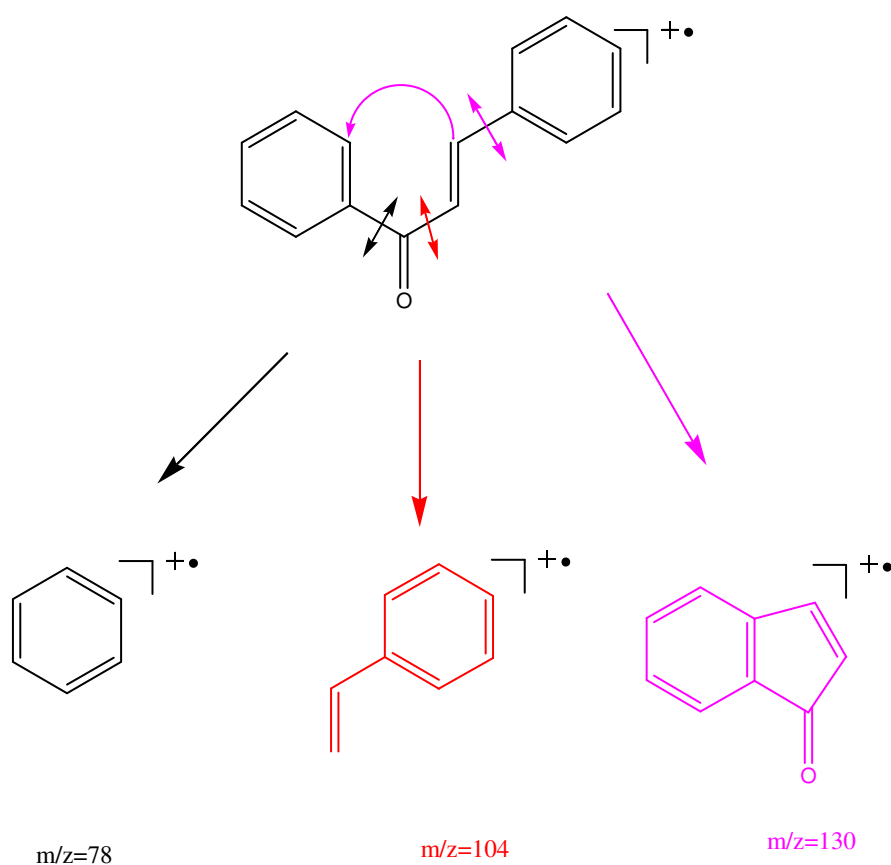
- تقنية الإلتروسبراي (ES).

#### IV-2-3-أ- تقنية القذف الإلكتروني (EI):

تم هذه التقنية بقذف المركب بسيل من الإلكترونات داخل غرفة التأين عند درجة الحرارة المناسبة (100 - 300 °م)



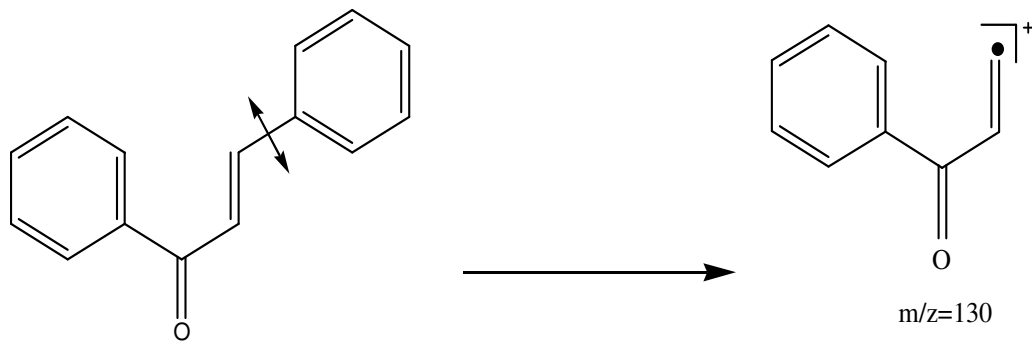
[25] Van De Sand شطايا الشالكون المقترحة من قبل العالم [25] Van De Sand فيما يلي شرح لأهم شطايا الشالكون المقترحة من قبل العالم



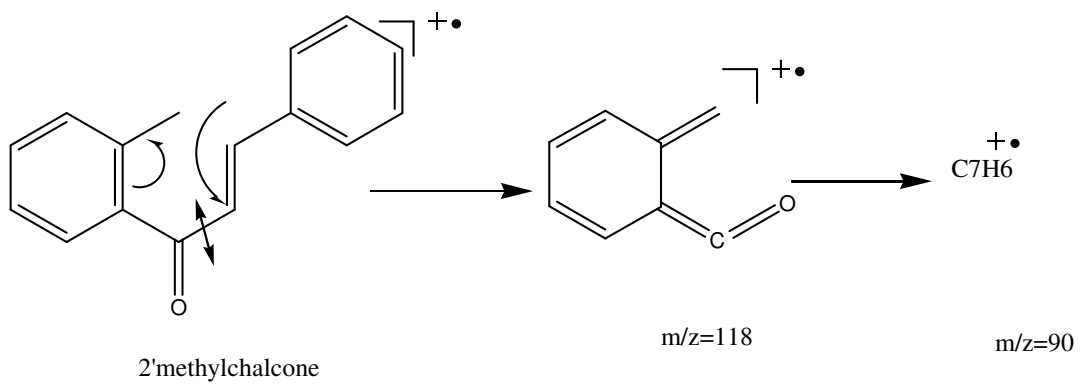
### أهم شطايا الشالكون المقترحة من قبل العالم Van De Sand et al 1972

بالنسبة للشظية  $m/z=130$  فسرت من قبل العالم Van De San et al 1972 [25] بأنها ناتجة عن إعادة ترتيب للبروتون H في الموقع *Ortho* و تشكيل حلقة خماسية. لكن العالم Ardanaz et al أظهر أن هذه الشظية تنتج عن إعادة ترتيب [26]:

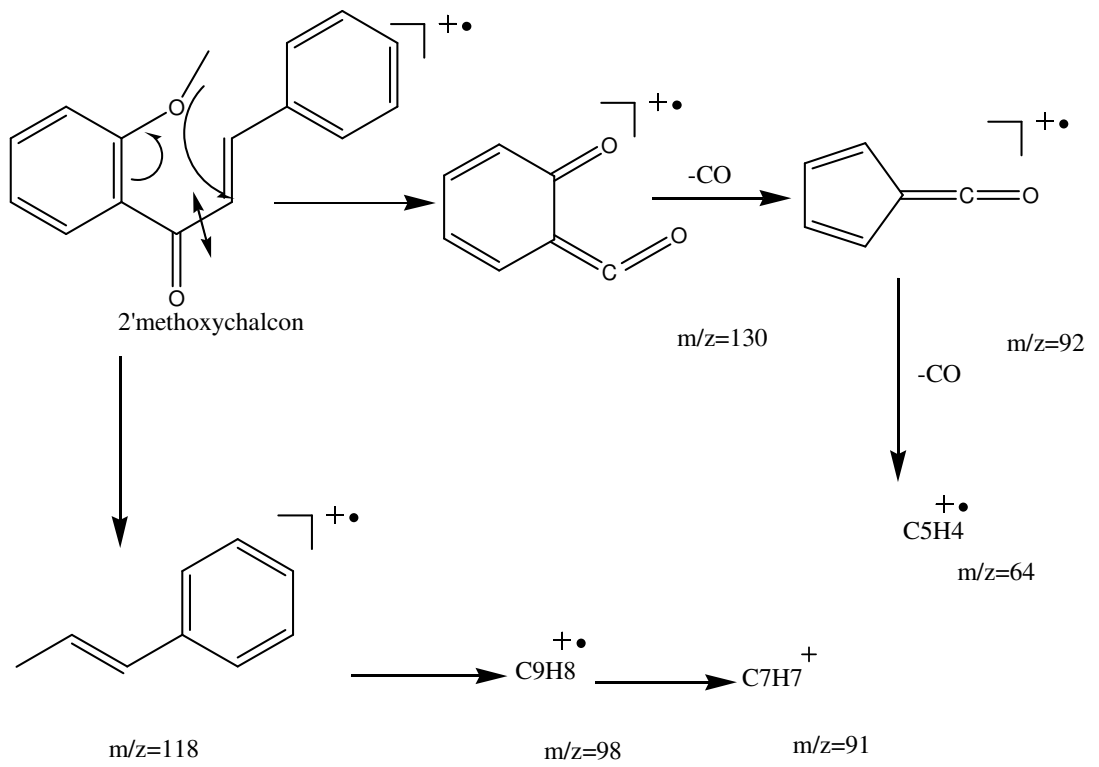




في حالة شالكون مستبدل بميثيل في الحلقة A في الموقع 2' أهم الشظايا الظاهرة في الطيف هي : [25]

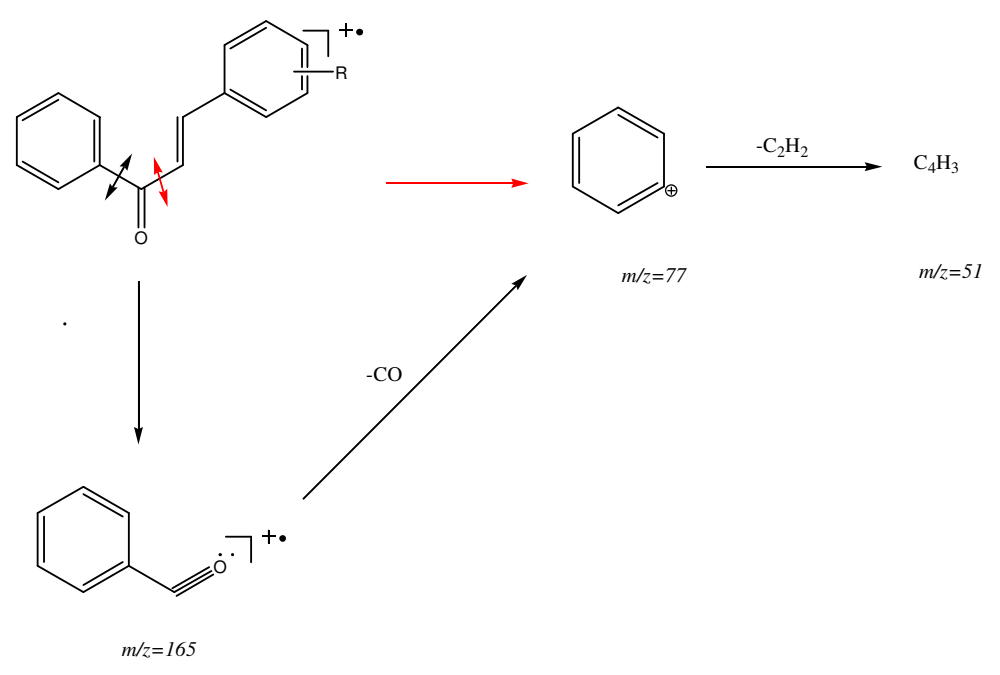
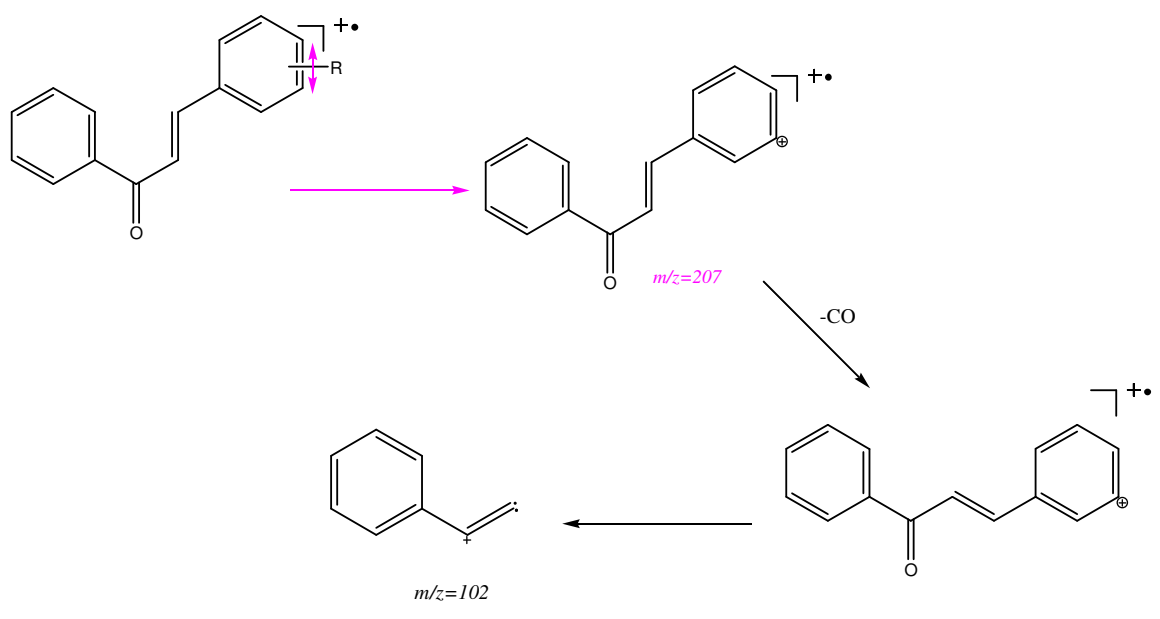


في حالة شالكون مستبدل بميثوكسي في الحلقة A في الموقع 2' أهم الشظايا الظاهرة في الطيف هي : [25]



العالم Van De Sand et al 1972

أما إذا كانت الحلقة B مستبدلة أهم الشظايا الظاهرة في الطيف هي [25]:



#### IV -2- 3- ب- تقنية القذف السريع بالذرات (FAB) [27]:

تستعمل هذه التقنية مع المركبات الجليكوزيدية، حيث يتم تأين المركبات دون تسخين و من مميزات هذه التقنية:

تكوين أيونات موجبة و سالبة

مدة حياة طويلة للعينة

تكوين أيونات شبه جزيئية (quasi moléculaires)

تطبيق هذه التقنية (F.A.B) مع الجليكوزيدات يمكننا من الحصول على معلومات فيما يخص الجزء السكري منها، و إضافة إلى أيونات التنشيط العادية المميزة للفلافونويدات نحصل على قيم موافقة للأيونات شبه الجزيئية من الشكل:  $[M+H]^+$ ،  $[M+Na]^+$ ،  $[M+K]^+$ ....

#### IV -2- 3- ج- تقنية الرش الإلكتروني:

تعتبر هذه التقنية أحدث من (F.A.B) و تختلف عنها في الطريقة العملية، حيث تسمح بدراسة الجزيئات ذات الأوزان الكبيرة مثل البروتينات و الجزيئات الصغيرة سهلة التكسير مثل المضادات الحيوية و المبيدات .

أما بالنسبة للفلافونويدات فتستعمل تقنية  $(ES^+)$  لدراسة المركبات سهلة التكسير مثل: O-glycosides .

#### V- الإماهة الحمضية:

تستعمل هذه الأخيرة لمعرفة طبيعة السكر المرتبط بالمركبات الجليكوزيدية المعزولة. كما أنها تعطينا فكرة عن ما إذا كان المركب غليكوزيدا من نوع (O-glycosyl) أو (C-glycosyl) لأن الرابطة من النوع الثاني أي (C-glycosyl) مقاومة للإماهة في الوسط الحمضي؛ فيستفاد من هذه الخاصية في تمييز هذا النوع من الروابط عن النوع الأول ( أي O-glycosyl ).

## V-1- الطريقة العملية :

تؤخذ كمية قليلة من الغليكوزيد المذابة في مذيب معين، و يضاف إليها 2 ملل من حمض كلور الماء (  $HCl$  , 4N ) في أنبوب اختبار، يسخن الخليط في حمام مائي (  $100^{\circ} C$  ) لمدة ساعة، بعد التبريد يستخرج الأنبوب و يضاف له حوالي ( 2 ملل ) من ثنائي إيثيل الإثير، و يرج جيدا ثم يترك ليهدأ حتى ظهور خط الفصل بين الطورين المائي و العضوي، و تفصل الطبقة العضوية ( ثنائي إيثيل الإثير ).

تكرّر العملية مرة أخرى مع ثنائي إيثيل الإثير، و مرتين مع أسيتات الإثيل ؛ حيث دائما تفصل الطبقة العضوية عن المائية، ليضاف إلى هذه الأخيرة ( 2 ملل ) من البوتانول العادي مرة أولى ثم مرة ثانية.

بعد تجميع الطبقات العضوية كلا على حدى يتم تجفيفها ليصبح لدينا :

- الطبقة العضوية الخاصة بثنائي إيثيل الإثير .
- الطبقة العضوية الخاصة بأسيتات الإثيل .
- الطبقة العضوية الخاصة بالبوتانول العادي .

عموما الطبقة العضوية لثنائي إيثيل الإثير هي التي تحتوي على الأغليكون ، أما الجزء السكري من الغليكوزيد فيبقى مذابا في الطبقة المائية التي يتم تجفيفها.

التعرف على الأغليكون يكون بواسطة تسجيل الطيف ( UV ) له في الميثانول كما يمكن التعرف عليه بواسطة كروماتوغرافيا الطبقة الرقيقة باستعمال شواهد.  
أما الجزء السكري فيتم التعرف عليه باتباع الخطوات التالية:

## V-2- تحضير العينة:

نقوم بتبخير الطور المائي المتحصل عليه و الذي يحتوي على الجزء السكري حتى الجفاف و ذلك باستعمال مضخة خاصة (pompe à palettes)، لنعيد تدويبه في كمية قليلة جدا من الماء و بذلك يكون جاهزا للإستعمال فيما بعد.

## V-3- تحضير اللوح الكروماتوغرافي من نوع (Gel de silice 60F 254):

يرش هذا الأخير بمحلول من  $\text{NaH}_2\text{PO}_4$  (0.2 M) ، ثم يترك ليحجف في الهواء بضع دقائق قبل وضعه في فرن تحت درجة حرارة  $100^\circ\text{C}$  لمدة ساعة، بعدها وباستعمال ماصة توضع نقاط من الطور المائي المحتوي على السكر (المحضر سابقا) مع بعض شواهد سكرية معروفة، ليغمس اللوح في مملص يحتوي على (أسيتون : ماء) بنسبة (9 : 1)، و بعد 150-180 دقيقة يستخرج الكروماتوغرام و يترك ليحجف مدة ساعة، ليعاد وضعه مرة ثانية في نفس المملص السابق و لنفس المدة السابقة، يستخرج بعدها ليحجف مدة ساعة، عندها يرش بواسطة كاشف مالونات الأنيلين (حمض المالونات 1 غ - حمض الفوسفوريك 3ملل - الأنيلين 1ملل - الإيثانول 100ملل ) و يترك بضع دقائق ليحجف في الهواء بعد ذلك يوضع في الفرن تحت درجة حرارة  $100^\circ\text{C}$  لمدة 5 دقائق، حيث تبدأ بقع السكريات في الظهور فتكون بنية اللون بالعين المجردة و صفراء عند رؤيتها تحت أشعة UV ، عندها يتم التعرف على السكريات التي بحوزتنا و ذلك بمقارنتها مع الشواهد السكرية المستعملة.

## مراجع الفصل الثاني

- [1] Abd Elchakour, A. S. (1987). Chimie organique moderne et pratique. Université du Roi Abd Elaziz, Djedda, 173.
- [2] Randerah, (1971). Chromatographie sur couche mince, eds Gautier Villard.
- [3] Andersen Øyvind, M., Markham, Kenneth R. (2006). Flavonoid chemistry, biochemistry, and applications. CRC Press Taylor & Francis Group.
- [4] Francisco, A., Tomas-Barberan, F. (1990). Phytochem. Anal. 1, 44.
- [5] Mabry, T. J., Markham, K. R., Thomas, M.B. (1970). The systematic identification of flavonoids. Springer-Verlag, Berlin.
- [6] Markham, K.R. (1982). Techniques of flavonoids identification. Academic press. London.
- [7] Alain, B. (1972). La chromatographic et ses applications. Dunod, Paris.
- [8] Harborne, J.B. (1988). The flavonoids, Advances in research since 1980. Chapman & Hall. London.
- [9] Jurd, L. (1962).,The chemistry of the flavonoid compounds (edited by I.A.Geissman), 107-155.
- [10] Geissman, T.A., Harbone, J. B. (1956). J. Am. Chem. Soc. 78, 832.
- [11] Jurd, L., Horowitz, R.M. (1961). J. Org. Chem, 26, 2561.
- [12] Harborne, J. B. (1967). Comparative biochemistry of the flavonoids. Academic press. London.
- [13] Jay, M., Gonnet, J. F., Wollenweber, E., Voirin, B. (1975). Phytochemistry, 14, 1605.
- [14] Voirin, B. (1983). Phytochemistry, 22, 2107
- [15] Jurd, L. (1962). the chemistry of flavonoids compounds. Pergamon press, New – York.
- [16] Elhazemi, H. (1995). Natural products, eds University of King Saoud.

- [17] Geissman, T.A., Harbone, J. B. (1955). *J. Am. Chem. Soc*, 77, 4622.
- [18] Harbone, J.B. (1967). *Comparative biochemistry of the flavonoids*, 78-83.
- [19] Mabry, T. J. (1969). *perspectives in phytochemistry*, 45, eds Chapman and Hall. London.
- [20] Mabry, T. J. (1963). *Perspectives in phytochemistry*, eds, Harborne, J. B. Academic press. London.
- [21] Mabry, T. J. (1969). *Perspectives in phytochemistry*,. eds, Harborne J. B. 1-45. Academic press. London.
- [22] Huk M., Gorlizter K., (1969). *Arch. Pharm.* 302, 423
- [23].Harborne, J. B., 1993. *The flavonoids: advances in research since 1986*. Chapman & Hall/CRC, London
- [24] Markham, K.R., Tenai, B., Geiger H., Mabry, T.J. (1978) " *Tetrahedron*" Carbon-13 NMR. *Studies of flavonoids*, 3, 1389-1397.
- [25] Van De Sande, C., Serum, J. W., Vandewalle, M. ( **1972**). *Organic mass spectrometry*.6, 1333-1346.
- [26] Ardanaz et al, (1991), *Rapid Communications in Mass Spectrometry* 5, 569-573.
- [27] Becchi, M., Fraise, D.(1989). . *Biomed. & environmental mass spectromet.* 18, 122.



# الفصل الثالث

الدراسة النباتية والكميائية لنبتة  
*Ononis angustissima*

## الدراسة النباتية والكيميائية للنبتة :

### I-الدراسة النباتية للنبتة:

#### I-1- المادة النباتية:

تم قطف و جمع النبتة في شهر أفريل من سنة 2007 من طرف الأستاذ بوهروم محمد من من ضواحي ولاية بسكرة بالجنوب الجزائري, وقد تعرف عليها البروفسور كعباش (جامعة سطيف) ، أجريت لها عملية التجفيف بوضعها في أماكن خاصة تحت الظل وبعيدا عن الرطوبة، بعد ذلك طحنت فكانت الكتلة المتحصل عليها 980 غ.



صورة فوتوغرافية لنبتة *Ononis angustissima*

#### I-2- وصف النبتة:

نبتة ذات أزهار صفراء, تمتد على سيقان طويلة, ذات شكل عنقودي, يتراوح طولها ما بين 30 - 100 سم تزهر في فصل الربيع بين شهري أفريل و ماي. تنمو في شمال الصحراء الجزائرية و تمتد من بسكرة إلى بشارمرورا بغرداية.

### 3-I- الوضع ضمن التصنيف النباتي:

Royaume	Plantes	المملكة
Embranchement	Spermatophytes	تحت المملكة
Sous Embranchement	Angiospermes	الفرع
Classe	Dicotylédones	الصف
Ordre	Rasales(Fabales)	الرتبة
Famille	Léguminoaseae(Fabaceae)	العائلة
Sous Familles	Papilionacées	تحت العائلة
Genre	<i>Ononis</i>	الجنس
Espèce	<i>angustissima</i>	النوع

### II - الدراسة الكيميائية للنبتة :

#### II-1- استخلاص النبتة:

اتبعنا في عملية الاستخلاص البروتوكول التالي :

بعد تجفيف الجزء الهوائي للنبتة قمنا بتقطيعها و تقطيعها (980غ)، نقعت في خليط من الايثانول والماء المقطر بنسبة (2:8) على الترتيب مدة 24 ساعة ، رشح و ركز المحلول تحت ضغط منخفض و 40 درجة مئوية. ثم أعيدت العملية مرتين لمدة زمنية 36 ساعة، 72 ساعة على الترتيب وهذا لاستنفاد النسيج النباتي والحصول على مردود معتبر و كاف.

خفف المحلول الناتج بالماء المقطر (890 مل) ترك ليلة كاملة ثم رشح للتخلص من الأتربة و الشوائب. قمنا بعد ذلك باستخلاص من نوع سائل - سائل في قمع فصل باستعمال مذيبات متفاوتة القطبية: إيثير البترول، كلوروفورم، خلات الإيثيل، البيوتانول العادي.

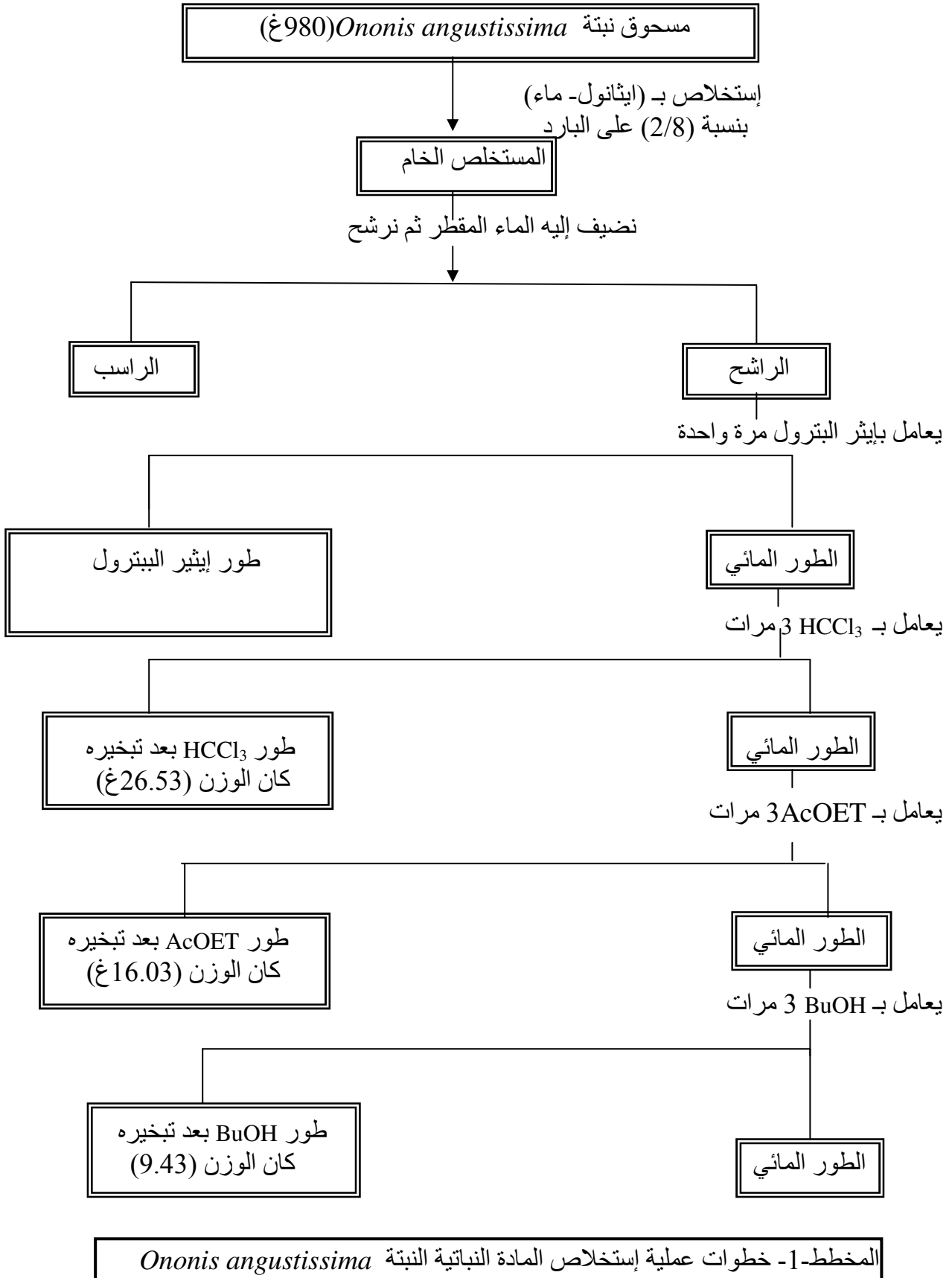
إيثر البترول مرة واحدة 300 مل للتخلص من الدهون و بعض الكلوروفيل.

الكلوروفورم أعيدت العملية ثلاث مرات ( 3 x 300مل) حيث كان الرج خفيفا في بداية الأمر لتفادي تشكل أي مستحلب، الطور العضوي جمع و ركز تحت درجة حرارة لم تتعدى 35°م. فحصلنا على طور كلوروفورمي بوزن 25.06غ.

خلات الإيثيل حيث أنجزت العملية ثلاث مرات (300مل كل مرة) □ والطور العضوي جمع و ركز تحت درجة حرارة لا تتعدى 35°م. فحصلنا على طور خلات الإيثيل بوزن 16.03 غ مع وجود راسب أبيض ، وهو الجزء الذي تمت عليه الدراسة.

البوتانول العادي حيث أعيدت العملية ثلاث مرات (300مل كل مرة) □ والطور العضوي جمع و ركز، فحصلنا على طور البوتانول بوزن 9.34 غ.

و المخطط -1- يمثل مختلف خطوات الاستخلاص:



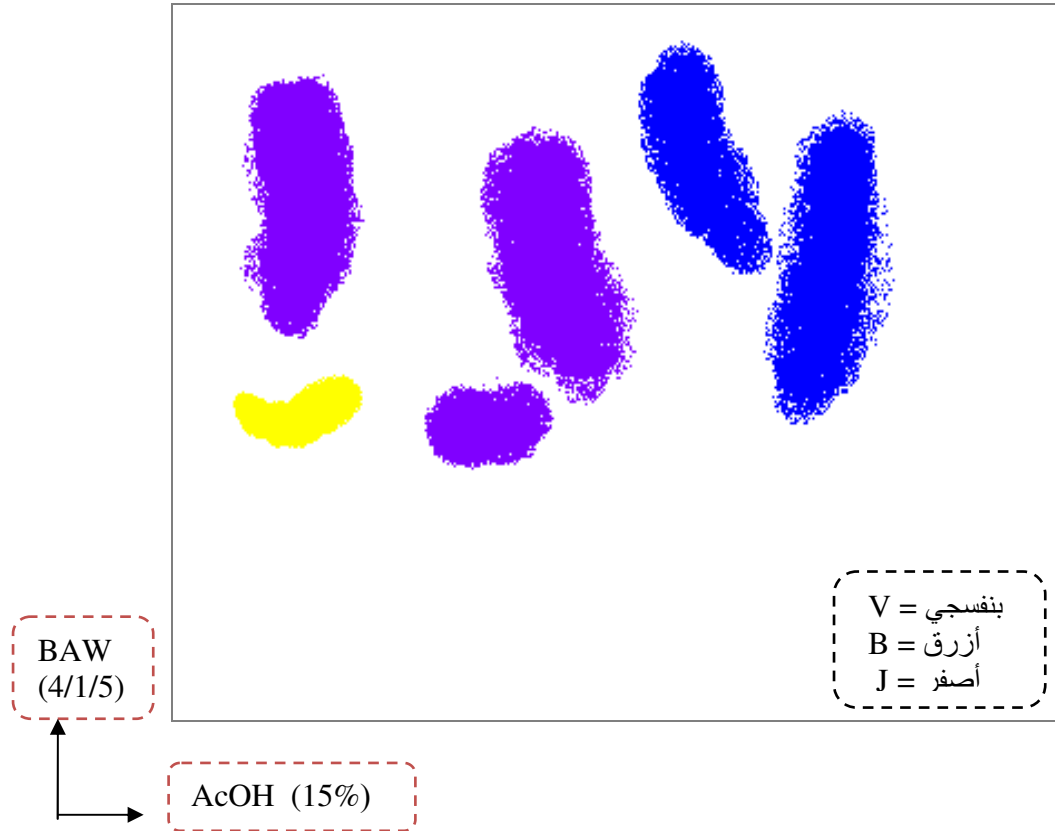
## II-2-الفصل و التنقية:

قبل شروعنا في إنجاز عمليات الفصل أجرينا فحوصات تحليلية تمهيدية للمستخلص الأسيتاتي باستعمال جمل الكروماتوغرافيا التالية :

الجملة I : كروماتوغرافيا الورق (CP WHATMAN N°3) تتأية البعد باستعمال المذيبات التالية :

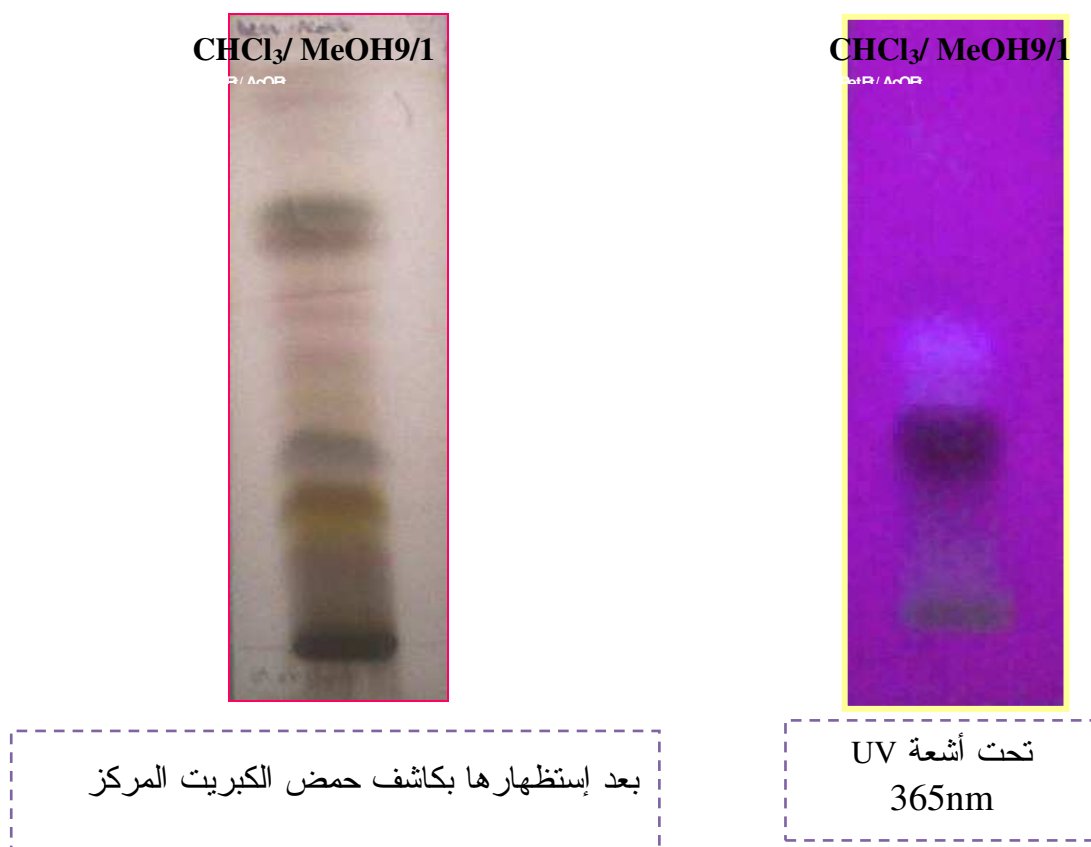
(1) n- BuOH : HOAc : H<sub>2</sub>O (BAW) 4 : 1 : 5 ( الطور العضوية )

(2) AcOH 15 %



الجملة II : الطبقة الرقيقة التحليلية من السيليكاجال 60 (CCM)، وتم الكشف عنها بمصباح UV (245nm و 365nm).

وهذا للبحث عن الجملة المناسبة لتقليص و فصل أكبر عدد من المركبات. وبعد عدة اختبارات تحصلنا على الجملة المناسبة للتقليص و هي  $\text{CHCl}_3/\text{MeOH}$  والصفائح الكروماتوغرافية المرفقة في الشكل (1) توضح ذلك.



الشكل (1): الصفائح الكروماتوغرافية للمستخلص الأسياتي، تحت مصباح

(Wood 365nm) وبعد إستظهارها بكاشف ( $\text{H}_2\text{SO}_4$ ).

تم إختيار تقنية كروماتوغرافيا العمود لغرض فصل مكونات مستخلص خلات الإيتيل (13 غ)، و ذلك باستعمال السيليكاجال كدعامة ثابتة أما الطور المتحرك السائل ( المملص) يتكون من الكلوروفورم و الميثانول .

\* تمت عملية التمليص باستعمال الكلوروفورم بنسبة 100% ثم نرفع قطبيته بإضافة الميثانول بالتدرج إلى غاية الوصول إلى 100%.

\* اعتمادنا في تغيير قطبية المذيبات على فحوص كروماتوغرافيا الطبقة الرقيقة التحليلية لمختلف الكسور، بعد معاينتها بمصباح UV (245nm و 365nm) .

\* جمعت الكسور المتماثلة اعتمادا على نفس الطريقة السابقة من فحوص كروماتوغرافيا الطبقة الرقيقة التحليلية، والجدول (1) التالي يبين ذلك .



كتلة الكسر (g)	%MeOH	%CHCl <sub>3</sub>	رقم الكسور بعد التجميع	رقم الكسور قبل التجميع
0.256	00	100	F1	<u>15-1</u>
0.970	05	95	<u>F2</u>	<u>56-16</u>
0.320	10	90	F3	<u>80-57</u>
0.346	12	88	F4	<u>100-81</u>
0.650	15	85	F5	<u>121-100</u>
0.485	20	80	F6	<u>140-122</u>
0.360	23	77	F7	<u>165-141</u>
0.280	25	75	F8	<u>182-166</u>
0.850	30	70	<u>F9</u>	<u>250-183</u>
0.420	30	70	F10	<u>272-251</u>
2.30	35	65	<u>F11</u>	<u>335-273</u>
0.340	40	60	F12	<u>365-336</u>
0.780	45	55	F13	<u>397-366</u>
0.320	50	50	F14	<u>410-398</u>
0.490	55	45	F15	<u>430-411</u>
0.560	60	40	F16	<u>445-431</u>
0.480	65	35	F17	<u>457-446</u>
0.730	70	30	F18	<u>469-458</u>
0.565	80	20	F19	<u>483-470</u>
0.380	90	10	F20	<u>496-484</u>
0.340	100	00	F21	<u>500-497</u>
12.222			21 حصر	المجموع

الجدول (1): نتائج الفصل بكماتوغرافيا العمود للمستخلص الأسياتي

تم اختيار الكسور غير متماثلة المظهر في كروماتوغرافيا الطبقة الرقيقة (CCM) لدراستها، كما اعتمدنا أيضا على فحصها ومقارنتها في عدة أنظمة، و على الوزن المتحصل عليه لكل كسر، ومن ثم تحديد نوع الكروماتوغرافيا المطبقة على كل منهم.

### II-3- معالجة الكسور المتحصل عليها :

#### دراسة الكسر F2:

أخضع هذا الكسر لعملية الفصل بواسطة كروماتوغرافيا الطبقة الرقيقة (CCM) لسيليكاجال 60 مستعملين في ذلك النظام: Hexane/AcOEt/ Acétone 6/2/1 على التوالي. تم فصل المركب النقي F<sub>2</sub>.

#### دراسة الكسر F9:

تضمن هذا الكسر مركبات عديدة ذات قطبية متقاربة جدا و ذات ألوان مختلفة، وقد تم فصلها بكروماتوغرافيا الطبقة الرقيقة التحضيرية (HF)، مستعملين في ذلك النظام: Hexane/AcOEt/ CHCl<sub>3</sub>/ Acétone 6/2/1/1.

الفصل الأولي لهذا الكسر أعطى خمس مركبات ذات قطبية متقاربة. أخضعت هذه المركبات لعملية فصل جديدة بواسطة كروماتوغرافيا الطبقة الرقيقة لسيليكاجال 60 و ذلك باستعمال النظام: Hexane/AcOEt 6/4 فتحصلنا على مركبين نقيين F<sub>9-1</sub> و F<sub>9-2</sub>.

#### دراسة الكسر F11:

الوزن المعتبر لهذا الكسر (2.30غ) أدى بنا لفصله مرة أخرى عن طريق كروماتوغرافيا العمود، استخدمنا فيه طور ثابت من السيليكاجال، و طور متحرك يتكون من الهكسان و خلات الإيثيل مع التدرج في التركيز إلى غاية الوصول 100 % من هذا الأخير.

\* جمعت الكسور المتماثلة اعتمادا على نفس الطريقة السابقة من فحوص كروماتوغرافيا الطبقة الرقيقة التحليلية، و الجدول (2) يبين ذلك :

الملاحظة	أسيتات الإثيل %	الهكسان %	رقم الكسر
<b>FC1</b> راسب أبيض	0	100	<b>1-10</b>
خليط معقد	10	90	<b>11-21</b>
	15	85	<b>22-32</b>
خليط معقد	20	80	<b>33-43</b>
	25	75	<b>44-54</b>
خليط معقد	30	70	<b>55-65</b>
	30	70	<b>66-76</b>
خليط معقد	40	60	<b>77-88</b>
خليط معقد	50	50	<b>89-99</b>
خليط معقد	100	0	<b>100-110</b>

الجدول(2): نتائج الفصل بكروماتوغرافيا العمود لـ F 11

# الفصل الرابع

النتائج و المناقشة

## I- التحليل البنوي للمركب : F<sub>2</sub>

بعد فصل و تنقية هذا المركب نلاحظ أنه يظهر على شكل إبر صغيرة صفراء اللون تذوب في كل من الميثانول و الكلوروفورم .

### اللون الإستشعاعي:

اللون الإستشعاعي لهذا المركب تحت مصباح وود Wood (365nm) أعطى لونا بنفسجيا .

### معامل الإحتباس (R<sub>f</sub>) :

قيم معامل الإحتباس للمركب F<sub>2</sub> مبينة في الجدول (1) .

R <sub>f</sub>	الجملة المستعملة	الدعامة
0.14	AcOH	ك. ط. ر على متعدد الأميد DC.6.6

\* الجدول (1): قيم معامل الإحتباس (R<sub>f</sub>) للمركب F<sub>2</sub> . \*

### المعطيات الطيفية:

#### 1- أطياف الأشعة فوق البنفسجية:

إن دراسة طيف الأشعة فوق البنفسجية لهذا المركب في الميثانول يتميز بشدة (حدة) امتصاص

العصابة I عند طول موجي أعظمي  $\lambda_{max}$  350 نم وضعف (نقص) العصابة II عند طول

موجي أعظمي  $\lambda_{max}$  223 نم .

## 2- طيف الرنين النووي المغناطيسي للكربون $^{13}\text{C}$ RMN

تبن مطيافية الرنين النووي المغناطيسي للكربون  $^{13}\text{C}$  RMN ( أنظر الطيف 1) المسجلة في جهاز

ذو تردد (65.5 MHz)، (باستعمال المذيب  $\text{CDCl}_3$ ) ، وجود حوالي 13 ذرة كربون غير متكافئة

مغناطيسيا، وبعد فحص الإزاحة الكيميائية لمختلف أنويه  $^{13}\text{C}$  أمكننا توزيع أهمها كالتالي:

وظيفة كربو نيلية واحدة ( $\text{C}=\text{O}$ ) تظهر عند ( $\delta=192.036$  ppm)

4 كربونات رباعية تظهر عند ( $\delta_{\text{C}1'}=107.9$  ppm ،  $\delta_{\text{C}2'}=162.89$  ppm و

$\delta_{\text{C}4'}=166.37$  ppm و  $\delta_{\text{C}1}=134.67$  ppm).

مجموعتين إيثيلينيتين ( $\text{CH}=\text{C}$ ) تهجينها  $\text{sp}^2$  عند ( $\delta_{\text{C}\alpha}=120.18$  و  $\delta_{\text{C}\beta}=144.70$  ppm)

.ppm

يبدو أن المركب يحتوي سوى على 15 ذرة كربون و الجدول 2 يوضح مختلف الإزاحات الكيميائية

للكربونات الموجودة في الطيف 1 ( أنظر جدول 2)

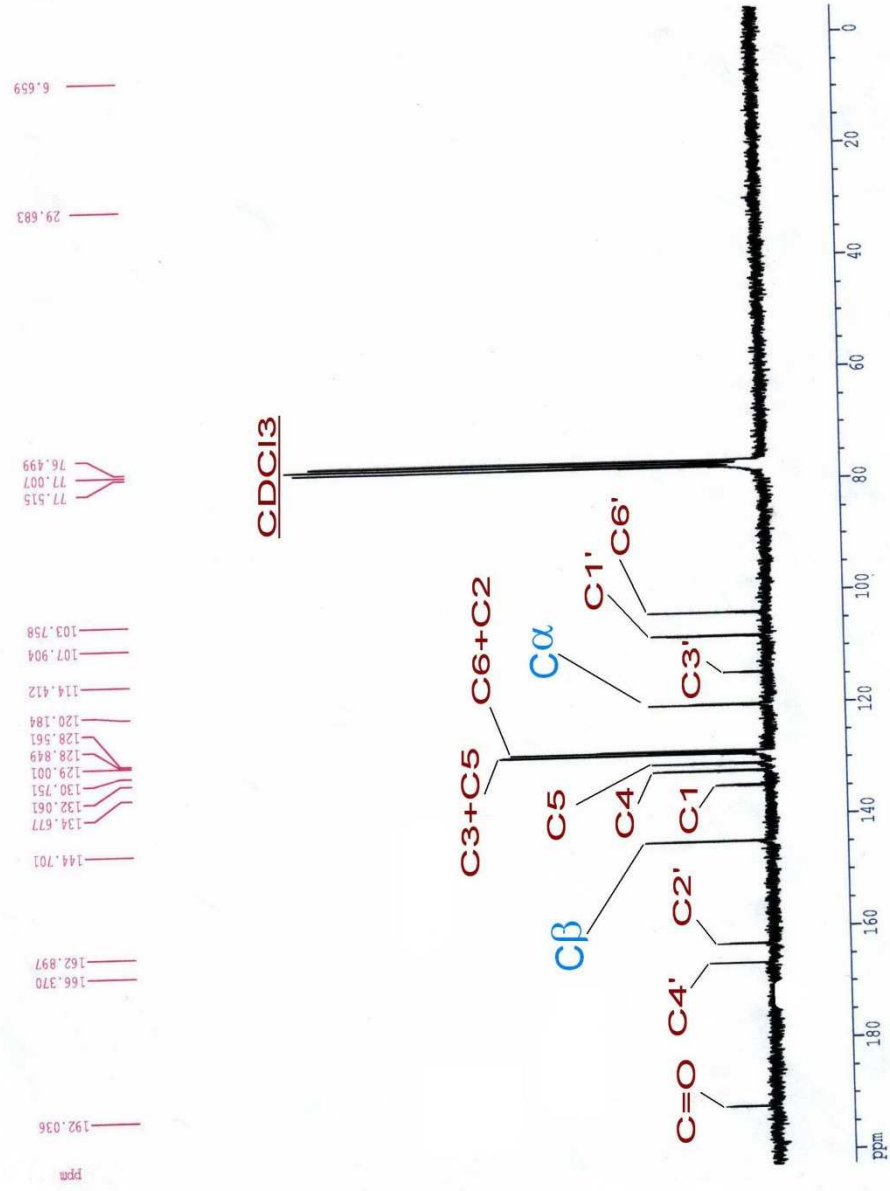
الانزياح الكيميائي Ppm	الكربونات
134.67	C1
128.56	C2+ C6
129.01	C3+ C5
132.06	C4
192.03	C=o
120.18	C $\alpha$
144.70	C $\beta$
107.90	C1'
162.89	C2'
114.41	C3'
166.37	C4'
130.75	C5'
103.75	C6'

\* الجدول (2): معطيات طيف الكربون للمركب  $\text{F}_2$  \*

Spectre Carbone-13ECH:SBMBA1

Dept. De Chimie  
Labo De RMN Constantine

Current Data Parameters  
 Name: abnormal  
 PROCNO: 2  
 F2 - Acquisition Parameters  
 Date: 500000  
 Time: 9.20  
 INSTRUM: spect  
 PROBRD: 5 mm QNP 1H  
 PULPROG: zgpg30  
 TD: 65536  
 SOLVENT: CDCl3  
 NS: 2000  
 DS: 4  
 SWH: 16339.869 Hz  
 FIDRES: 0.2449377 Hz  
 AQ: 2.0054517 sec  
 RG: 11585.2  
 FM: 30.600 usec  
 DE: 43.71 usec  
 TE: 300.0 K  
 d1: 0.0300000 sec  
 d11: 13.00 dB  
 CPMPRG2: waltz16  
 PCPD2: 100.00 usec  
 SF02: 250.131508 MHz  
 NUC2: 13C  
 PL2: 120.00 dB  
 DI: 1.0000000 usec  
 F1: 7.00 usec  
 F2: 43.71 usec  
 SFO1: 62.9027614 MHz  
 NUC1: 13C  
 PL1: -6.00 dB  
 P2 - Processing parameters  
 SI: 65536  
 SF: 62.8952412 MHz  
 WMW: EM  
 SSB: 0  
 LB: 1.00 Hz  
 GB: 0  
 PC: 1.00  
 ID NMR plot parameters  
 CT: 22.00 cm  
 F1P: 202.538 ppm  
 F1: 12738.69 Hz  
 F2P: -4.550 ppm  
 F2: -286.16 Hz  
 FPMCM: 9.41309 ppm/cm  
 HZCM: 592.04833 Hz/cm



طيف-1- <sup>13</sup>C - RMN للمركب F-2

### 3- طيف الرنين النووي المغناطيسي للبروتون $^1\text{H}$ -RMN

تبين مطيافية الرنين النووي المغناطيسي للبروتون  $^1\text{H}$ -RMN (أنظر الطيف 2) :

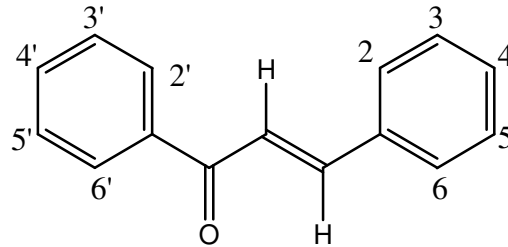
إشارة ثنائية بتكامل 1H بثابت تزاوج  $J=15.6\text{ Hz}$  عند الإزاحة  $\delta_{\text{H}\alpha}=7.65\text{ ppm}$  خاصة

بالبروتون  $\text{H}_\alpha$  وهي ميزة الشالكونات [2].

إشارة ثنائية بتكامل 1H عند الإزاحة  $\delta_{\text{H}\beta}=7.86\text{ ppm}$  بثابت تزاوج  $J=15.6\text{ Hz}$

خاصة بالبروتون  $\text{H}_\beta$  وهي ما يؤكد أن المركب المدروس شالكون. ومنه هيكل هذا المركب

يكون من الشكل (1): [2]



الشكل (1)

كما نلاحظ ظهور 10 بروتونات فقط عوض 12 في الطيف  $^1\text{H}$ -RMN ، هذا ما يدل على أن المركب ثنائي الاستبدال .



• بالنسبة للحلقة A نلاحظ وجود ( أنظر الطيف 2 ) :

إشارة أحادية بتكامل 1H عند  $\delta=13.48$  ppm خاصة ب ( OH-2' ) مميزة الرابطة

الهيدروجينية بين مجموعة الفينول و الوظيفة الكربونيلية. [2]

إشارة ثنائي ثنائي بتكامل 1H عند  $\delta=6.52$  ppm بثابت تزاوج (  $J=6.5$  Hz  $J=2.4$  Hz )

( خاصة بالبروتون 'H-5' مما يدل على وجود كل من 'H-3' و 'H-6'.

إشارة ثنائي بتكامل 1H عند  $\delta=6.48$  ppm بثابت تزاوج  $J=2.2$  Hz خاصة بالبروتون

'H-3' مما يدل على وجود 'H-5'.

إشارة ثنائية بتكامل 1H بثابت تزاوج  $J=6.5$  Hz عند  $\delta=7.79$  ppm خاصة بالبروتون

'H-6'

بالنسبة للحلقة B نلاحظ من خلال دراسة الطيف أنها غير مستبدلة إذ يظهر لنا :

إشارة تعددية بتكامل 2H عند  $\delta=7.72$  ppm خاصة بالبروتون H-2 و H-6.

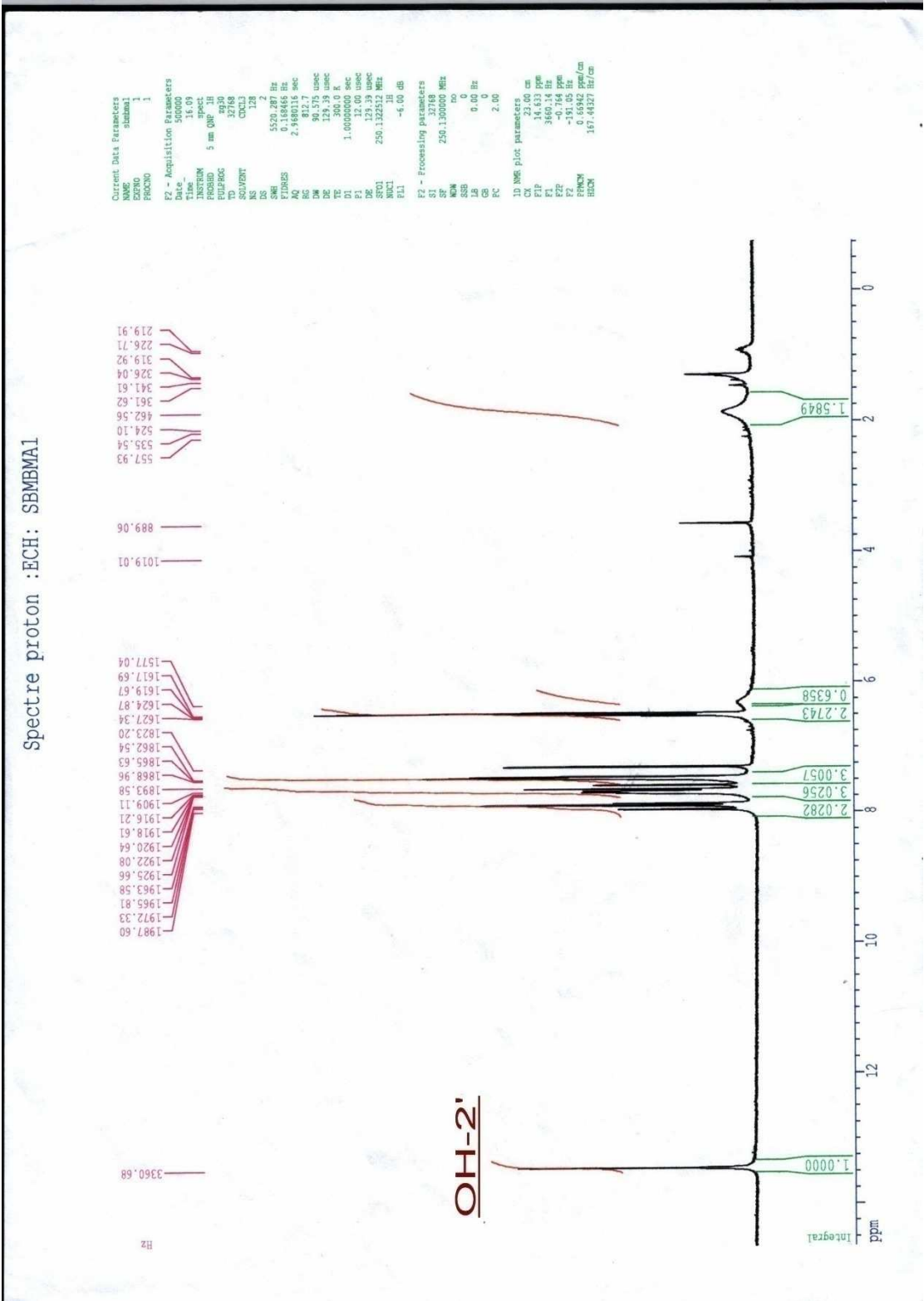
إشارة تعددية بتكامل 3H عند  $\delta=7.48$  ppm خاصة بكل من البروتون H-3 و H-

4 و H-5 .

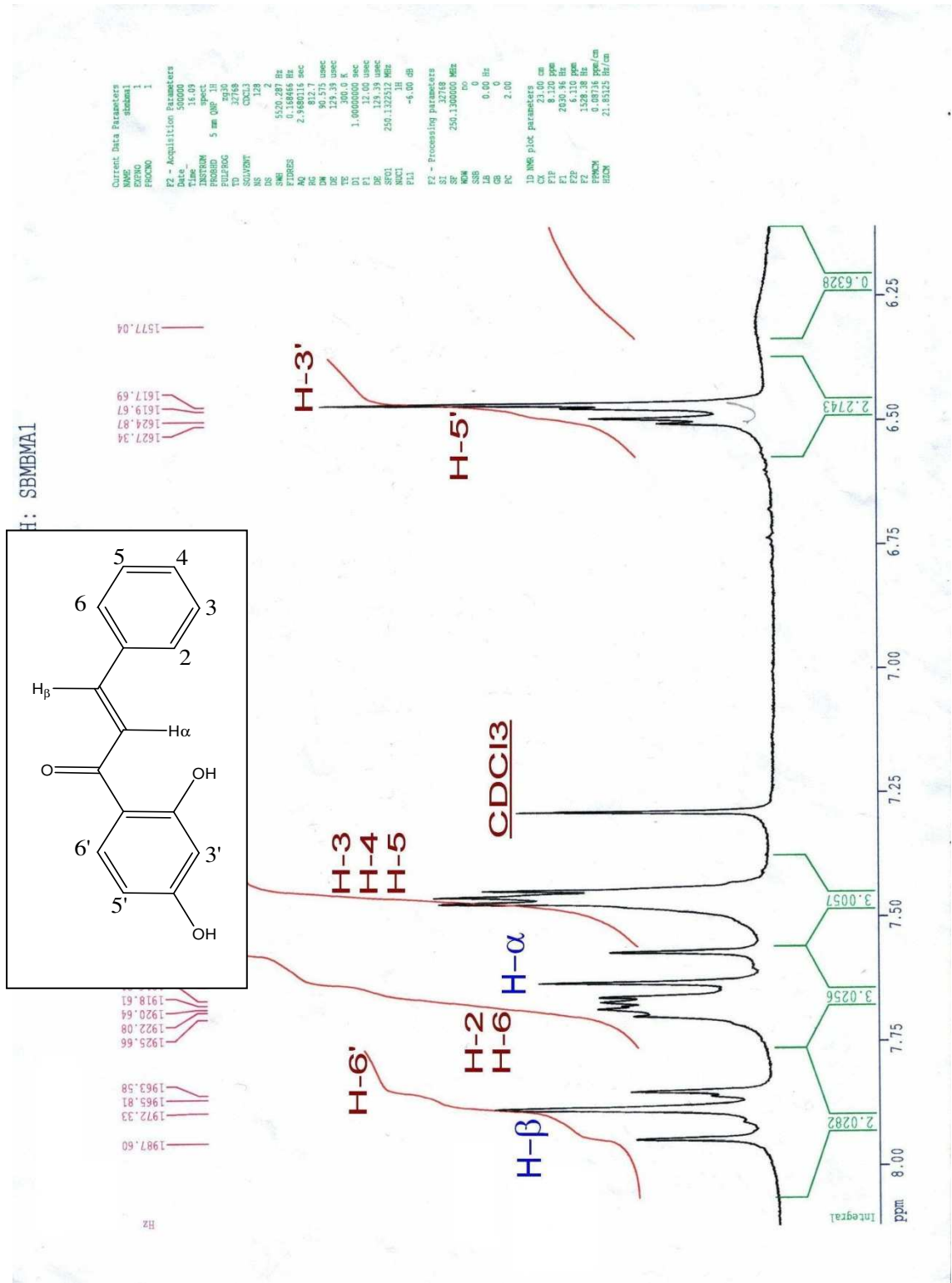
وننتائج طيف  $^1\text{H}$ -RMN المسجل في (CDCl<sub>3</sub>, 250 MHz) كلها مدونة في الجدول 3 :

البروتونات	الانزياح الكيميائي ( $\delta_{\text{H}}$ ppm)	التعددية	ثابت التزاوج $J$ (Hz)
H-3'	6.48	<i>d</i>	2.2
H-5'	6.52	<i>dd</i>	6.5 ; 2.4
H-6'	7.79	<i>d</i>	6.5
H <sub><math>\beta</math></sub>	7.86	<i>d</i>	15.6
H <sub><math>\alpha</math></sub>	7.65	<i>d</i>	15.6
H-3-4-5	7.48	<i>m</i>	/
H-6 و H-2	7.72	<i>m</i>	/

\* الجدول (3): معطيات طيف البروتون للمركب F<sub>2</sub>. \*



طيف  $^1\text{H}$ -RMN للمركب F-2



تكبير المجال (8.00-6.25)ppm للتطيف -2-

بينما تبين دراسة الاشعة فوق البنفسجية لهذا المركب مايلي و كل النتائج مدونة في الجدول (4).

الملاحظات	العصابة I (nm)	العصابة II (nm)	الكواشف
شالكون	316-349	223	MeOH
$\Delta\lambda_{\max I}$ (NaOH / MeOH) = +41 nm مع زيادة في الشدة	390	278	NaOH
$\Delta\lambda_{\max I}$ (AlCl <sub>3</sub> / AlCl <sub>3</sub> +HCl) مستقر مع زيادة في الشدة	407	263	AlCl <sub>3</sub>
$\Delta\lambda_{\max I}$ (AlCl <sub>3</sub> +HCl/MeOH) =+58nm.	407	263	AlCl <sub>3</sub> +HCl
$\Delta\lambda_{\max II}$ (NaOAc / MeOH) = +39 nm	388	277	NaOAc
$\Delta\lambda_{\max I}$ (NaOAc+H <sub>3</sub> BO <sub>3</sub> /MeOH) مستقر مع نقصان في الشدة	349	223	NaOAc+H <sub>3</sub> BO <sub>3</sub>
الطيف المسجل في NaOH بقي مستقرا بعد 5 دقائق			

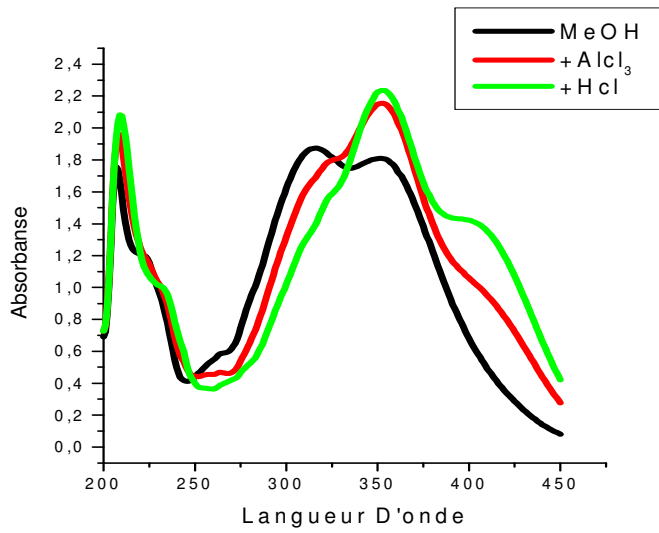
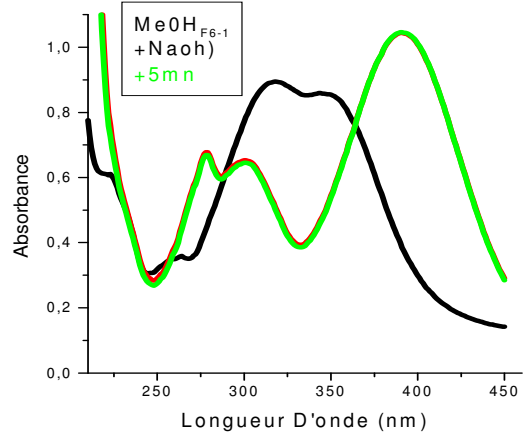
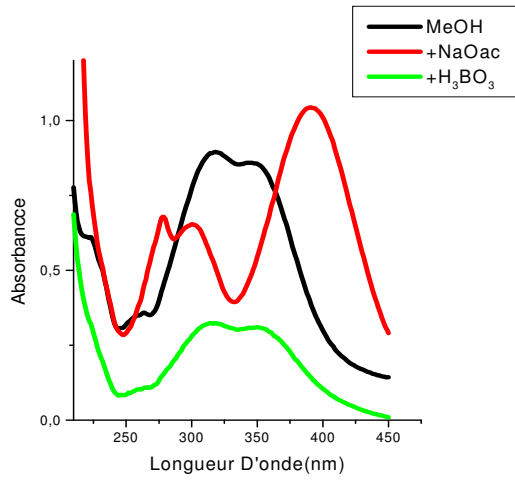
\* الجدول(4): معطيات أطيف الأشعة فوق البنفسجية (UV) للمركب F<sub>2</sub> . \*

وجود إزاحة باثو كرومية للعصابة I بـ+39 مقارنة بطيف NaOAc مع طيف الميثانول تدل

على وجود OH حر في الموقع 4'.

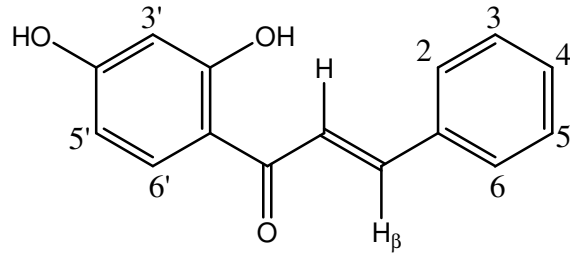
وجود إزاحة باثو كرومية للعصابة I بـ+58 مقارنة بطيف AlCl<sub>3</sub>+HCl مع طيف الميثانول

تدل على وجود OH حر في الموقع 2' . ( أنظر الطيف 3)



**طيف (3) يبين إمتصاص الأشعة فوق البنفسجية الخاصة بالمركب  $F_2$**

ومنه صيغة هذا المركب تكون :



**2',4'-Dihydroxychalcone**

## II- التحليل البنيوي للمركب : F9-1

بعد فصل هذا المركب و تنقيته نلاحظ أنه يظهر على شكل راسب أبيض اللون يذوب في الميثانول .

### اللون الإستشعاعي:

يظهر لون هذا المركب تحت مصباح وود Wood (365nm) لونا أخضر مصفر .

### معامل الإحتباس (R<sub>f</sub>) :

قيم معامل الإحتباس للمركب F<sub>9-1</sub> مبينة في الجدول (5) .

R <sub>f</sub>	الجملة المستعملة	الدعامة
0.03	AcOH	ك. ط. ر على متعدد الأميد DC.6.6

الجدول (5): قيم معامل الإحتباس (R<sub>f</sub>) للمركب F<sub>9-1</sub>.

### المعطيات الطيفية:

#### 1- أطيف الأشعة فوق البنفسجية:

طيف الأشعة فوق البنفسجية لهذا المركب في الميثانول يبين وجود عصابتين هذا دليل على أن

المركب المدروس من نوع الفلافونويدات.



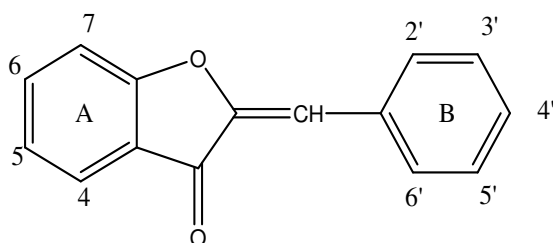
## 2- طيف الرنين النووي المغناطيسي للبروتون $^1\text{H}$ -RMN

أهم ملاحظة يمكن إستخلاصها من هذا الطيف وجود إشارة أحادية بتكامل 1H عند الإزاحة

$\delta=6.72\text{ppm}$  (H $\alpha$  إيتيلينيك) وهي إشارة مميزة لنوع من الفلافونويدات و المتمثل في

الأورونات. ( أنظر الطيف 4). [3].

ومنه الهيكل العام لهذا المركب يكون من الشكل :



Aurone

• تتميز بروتونات الحلقة A للأورونات بإزاحة كيميائية أصغر نوعا ما مع خاصية مميزة

للبروتون H-4 بإزاحة كيميائية أكبر. [3].

• كما نلاحظ ظهورثمان بروتونات فقط عوض عشرة في هذا الطيف مايدل على أن المركب ثنائي الإستبدال.

• من خلال طيف الرنين النووي المغناطيسي للبروتون  $^1\text{H}$ -RMN نلاحظ:

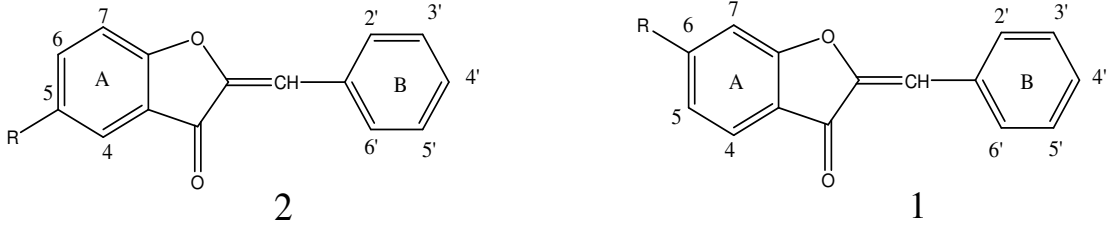
بالنسبة للحلقة A :

إشارة ثنائي ثنائي بتكامل 1H عند الإزاحة  $\delta=6.92\text{ppm}$  بثابت تزواج ( $J=9.0\text{Hz}$ ;

$J=2.2\text{Hz}$ ) يمكن نسبها لـ H-5 أو H-6 .

إشارة ثنائية فقط بتكامل 1H بثابت تزواج  $J=2.2$  Hz عند الإزاحة  $\delta=6.94$  ppm يمكن

نسبها لـ H-4 أو H-7 ومنه الحلقة A مستبدلة مرة واحد على الشكل 1 أو 2 :



إشارة ثنائية فقط بتكامل 1H بثابت تزواج  $J=9.2$  Hz عند  $\delta=7.98$  ppm خاصة

بالبروتون H-4' مما يدل على وجود H-5 بجواره ومنه الحلقة A مستبدلة مرة واحد على

الشكل 1. [3]

بالنسبة للحلقة B : عدد البروتونات الباقية هي أربعة ومنه الحلقة B مستبدلة مرة واحدة .

من خلال طيف  $^1\text{H-NMR}$  نجد في المنطقة الخاصة بالبروتونات العطرية للحلقة B أنها مستبدلة

مرة واحدة على شكل *para* حيث ظهرت البروتونات H-3' و H-5' متطابقتين و كذلك H-2'

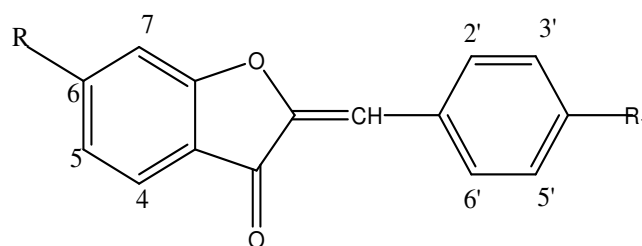
و H-6' إذ نجد:

إشارة ثنائية بتكامل 2H عند  $\delta=7.13$  ppm بثابت تزواج  $J=9.0$  Hz خاصة بالبروتونين

H-3' و H-5'.

إشارة ثنائية بتكامل 2H بثابت تزواج  $J=9.0$  Hz عند الإزاحة  $\delta=8.03$  ppm خاصة

بالبروتونين H-2' و H-6'. ومنه نستطيع كتابة  $F_{9-1}$  من الشكل :



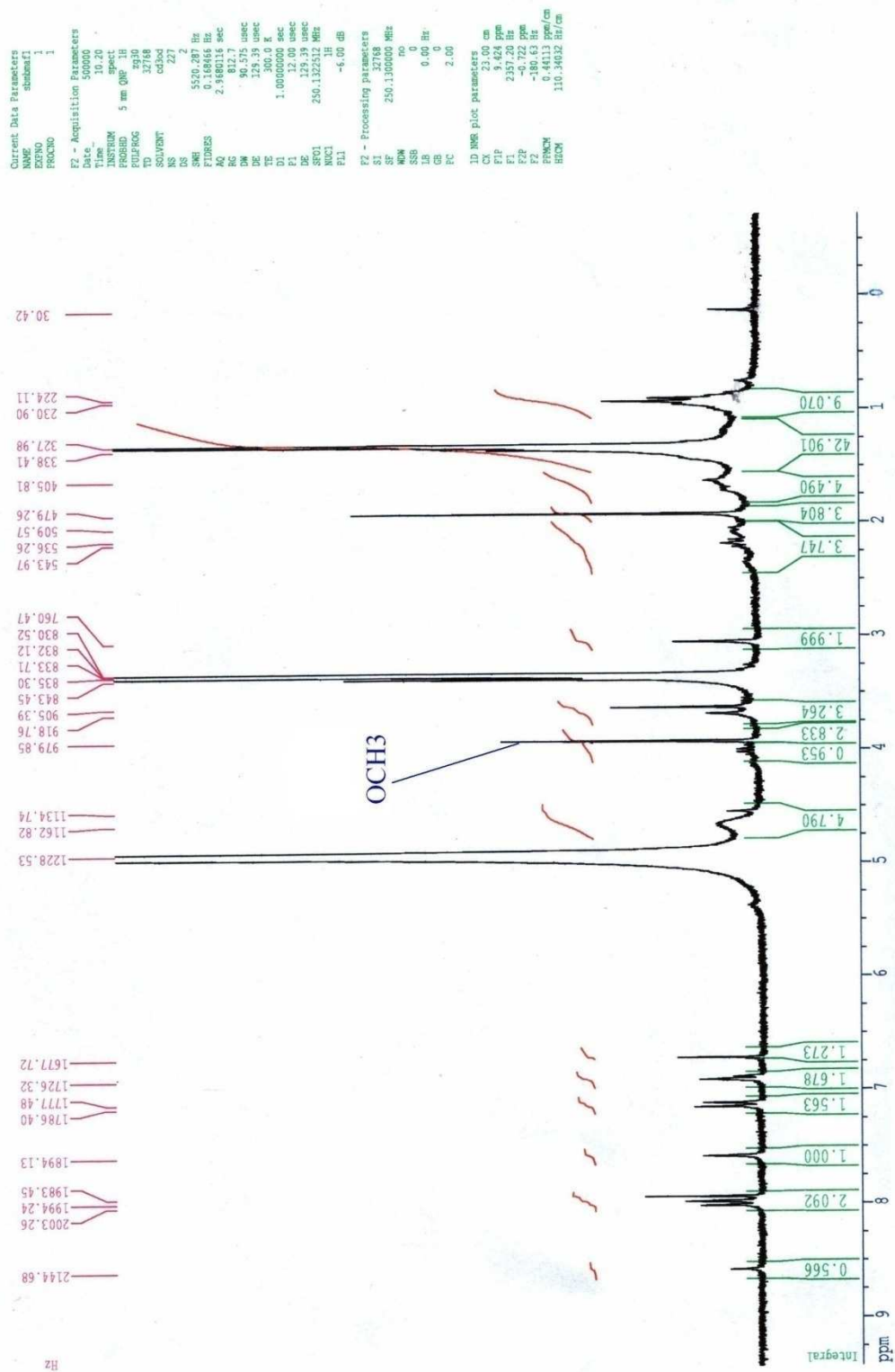
إشارة أحادية عند الإزاحة  $\delta=3.94$  ppm بتكامل ثلاث بروتونات تلحق لمجموعة الميثوكسي.

وننتج طيف  $^1\text{H}$ -RMN المسجل في  $(\text{CD}_3\text{OD}, 250 \text{ MHz})$  كلها مدونة في الجدول 6

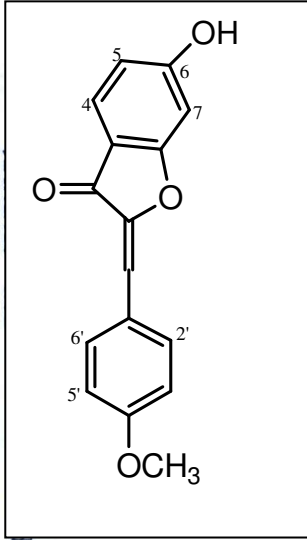
ثابت التزاوج $J$ (Hz)	التعددية	الإنزياح الكيميائي ( $\delta_{\text{H}}$ ppm)	البروتونات
/	<i>s</i>	6.72	H $\alpha$
9.02	<i>d</i>	7.13	H-3' و H-5
9.02	<i>d</i>	8.03	H-2' و H-6
9.24	<i>d</i>	7.98	H-4
9.0 ; 2.2	<i>dd</i>	6.92	H-5
2.2	<i>d</i>	6.94	H-7
/	<i>S</i>	3.94	OCH <sub>3</sub>

\* الجدول (6): معطيات طيف البروتون للمركب F<sub>9-1</sub>. \*

Spectre proton :ECH: SBMMAF1



طيف-4-  $^1\text{H}$ -RMN للمركب F9.1



Current Data Parameters  
 NAME: 1671.72  
 SUBST: 1  
 PROCNO: 1

F2 - Acquisition Parameters  
 Date\_ : 20100801  
 Time : 10:20  
 INSTRUM : spect  
 PROCNO : 5 mm QNP 1H  
 PULPROG : zgpg30  
 TD : 32768  
 SFO : 500.136277 MHz  
 SOLVENT : cdcl3  
 NS : 2  
 DS : 2  
 SWH : 5520.287 Hz  
 AQ : 0.164646 sec  
 FIDRES : 2.3680314 sec  
 RG : 812.7  
 ACQ : 1.0000000 sec  
 DE : 126.18 usec  
 TE : 300.2 K  
 D1 : 1.00000000 sec  
 F1 : 12.00 usec  
 DE : 125.39 usec  
 WALTZ16 : 1.00000000 sec  
 WALTZ17 : 1.00000000 sec  
 WALTZ18 : 1.00000000 sec  
 F3 : -4.00 dB

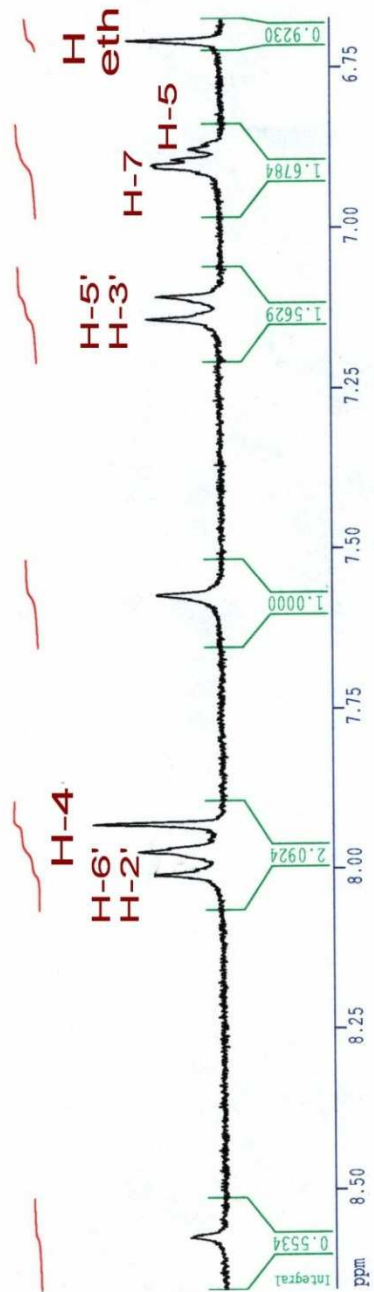
F2 - Processing parameters  
 SI : 32768  
 SF : 250.130000 MHz  
 WF : 0  
 SSF : 0  
 LB : 0.00 Hz  
 GB : 0  
 CB : 0  
 PC : 1.00

1D NMR plot parameters  
 CX : 23.00 cm  
 F1P : 8.656 ppm  
 F1 : 2165.11 Hz  
 F2P : 6.673 ppm  
 F2 : 1683.00 Hz  
 GPCPM : 0.00000000 Hz/cm  
 HSBW : 21.93714 Hz/cm

1671.72

1983.45  
 1994.24  
 2003.26

2144.68  
 Hz



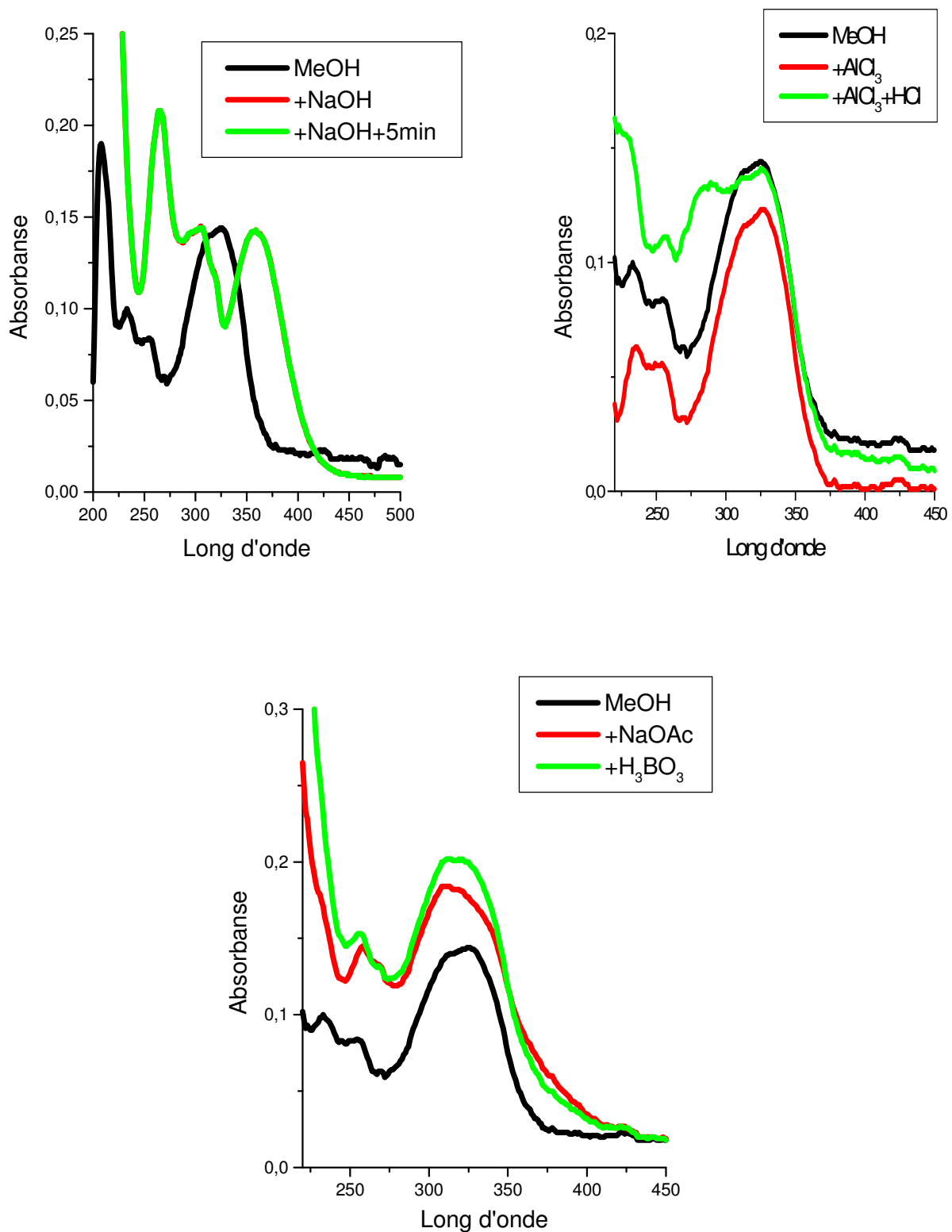
تكبير المجال (8.50-6.50) ppm للطيف -4-

بينما تبين دراسة الاشعة فوق البنفسجية لهذا المركب مايلي و كل النتائج مدونة في الجدول (7).

الملاحظات	العصابة I (nm)	العصابة II (nm)	الكواشف
وجود عصابتين	325, 311sh	266sh,233	MeOH
$\Delta\lambda_{\max I}$ (NaOH / MeOH) =+35 مع زيادة في شدة العصابتين	305,318sh,360	266	NaOH
$\Delta\lambda_{\max I}$ (AlCl <sub>3</sub> / AlCl <sub>3</sub> +HCl) مستقر مع نقصان في شدة العصابتين	314sh, 325	235	AlCl <sub>3</sub>
$\Delta\lambda_{\max I}$ (AlCl <sub>3</sub> +HCl/MeOH) مستقر	314sh,325	236 , 255	AlCl <sub>3</sub> +HCl
$\Delta\lambda_{\max I}$ (NaOAc / MeOH) مستقر مع زيادة في شدة العصابتين	315sh,325	270, 258	NaOAc
$\Delta\lambda_{\max I}$ (NaOAc+H <sub>3</sub> BO <sub>3</sub> /MeOH) مستقر مع زيادة في شدة العصابتين	321	270, 258	NaOAc+H <sub>3</sub> BO <sub>3</sub>
الطيف المسجل في NaOH بقي مستقرا بعد 5 دقائق			

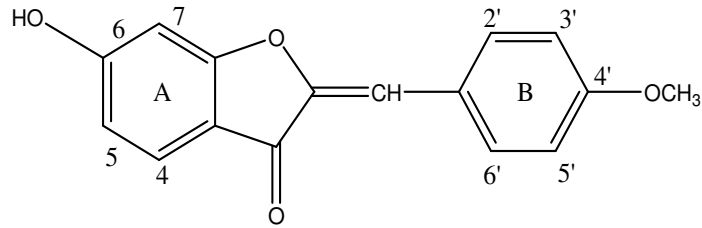
\* الجدول (7): معطيات طيف الأشعة فوق البنفسجية (UV) للمركب F<sub>9-1</sub>.\*

بمقارنة الطيف المسجل في هيدروكسيد الصوديوم مع الطيف المسجل في الميثانول نجد أن إزاحة باثوكرومية للعصابة I بمقدار (+35 نم) أقل بكثير من (+70 نم) دلالة على وجود ميثوكسي في الموضع 4' وهيدروكسيل حر في الموضع 6. ( أنظر الطيف 5)



طيف (5) إمتصاص الأشعة فوق البنفسجية الخاصة بالمركب F<sub>9-1</sub>

ومنه يكون المركب على الشكل :



6 ,Hydroxy - 4'-methoxyaurone.



### III- التحليل البنوي للمركب : F9-2

بعد فصل هذا المركب و تنقيته نلاحظ أنه يظهر على شكل راسب أبيض اللون يذوب في الميثانول .

#### اللون الإستشعاعي:

يظهر لون هذا المركب تحت مصباح وود Wood (365nm) لونا أصفرا .

#### معامل الإحتباس (R<sub>f</sub>) :

قيم معامل الإحتباس للمركب F<sub>9-2</sub> مبينة في الجدول (1) .

R <sub>f</sub>	الجملة المستعملة	الدعامة
0.05	AcOH	ك. ط. ر على متعدد الأميد DC.6.6

#### الجدول (8): قيم معامل الإحتباس (R<sub>f</sub>) للمركب F<sub>9-2</sub>.

#### المعطيات الطيفية:

#### 1- أطيف الأشعة فوق البنفسجية:

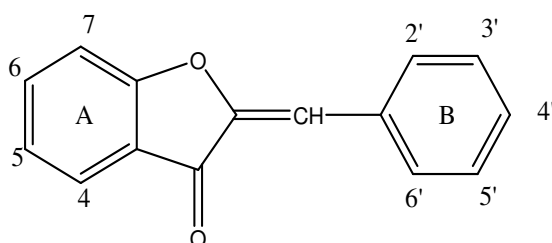
طيف الأشعة فوق البنفسجية لهذا المركب في الميثانول يبين وجود عصبيتين هذا دليل على أن المركب المدروس من نوع الفلافونيدات.

## 2- طيف الرنين النووي المغناطيسي للبروتون $^1\text{H}$ -RMN

نلاحظ في هذا الطيف وجود إشارة أحادية بتكامل 1H عند الإزاحة  $\delta=6.79$  ppm ( $\text{H}\alpha$  إيتيليك)

وهي إشارة مميزة لنوع من الفلافونيدات و المتمثل في الأورونات . ( أنظر الطيف 6). [3]

ومنه الشكل العام لهذا المركب يكون



Aurone

• تتميز بروتونات الحلقة A للأورونات بإزاحة كيميائية أصغر نوعا ما مع خاصية مميزة

للبروتون H-4 بإزاحة كيميائية أكبر. [3]

• كما نلاحظ ظهور سبع بروتونات فقط عوض عشرة في الطيف، هذا ما يدل على أن المركب ثلاثي الإستبدال.

من خلال طيف الرنين النووي المغناطيسي  $^1\text{H}$ -RMN : ( أنظر الطيف 6)

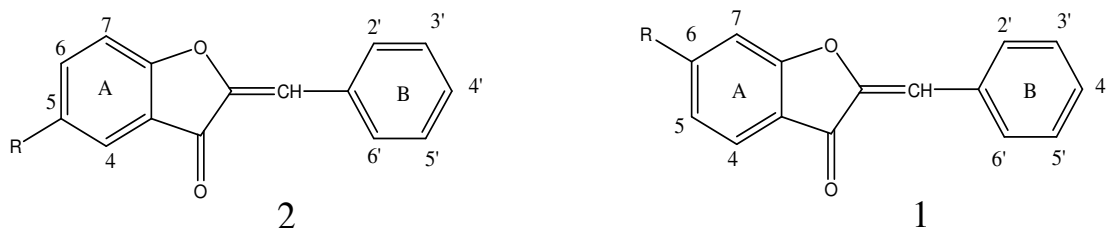
بالنسبة للحلقة A :

نلاحظ إشارة ثنائي ثنائي بتكامل 1H عند الإزاحة  $\delta=6.98$  ppm بثابت تزواج ( $J=8.4$  Hz)

; $J=2.0$  Hz) يمكن نسبها لـ H-5 أو H-6 .

نلاحظ إشارة ثنائية فقط بتكامل 1H بثابت تزواج  $J=2.0\text{Hz}$  عند الإزاحة  $\delta=7.05\text{ ppm}$

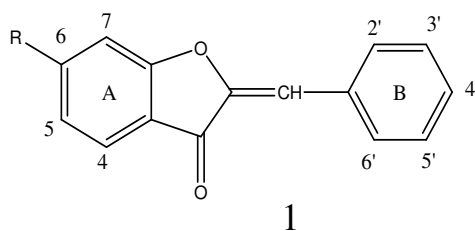
يمكن نسبها لـ H-4 أو H-7 ومنه الحلقة A مستبدلة مرة واحد على الشكل 1 أو 2 :



نلاحظ إشارة ثنائية فقط بتكامل 1H بثابت تزواج  $J_{ortho}=8.4\text{ Hz}$  عند الإزاحة

$\delta=8.03\text{ppm}$  خاصة بالبروتون H-4' مما يدل على وجود H-5 بجواره ومنه الحلقة

A مستبدلة مرة واحد على الشكل 1 .



بالنسبة للحلقة B : عدد البروتونات الباقية هي ثلاثة ومنه الحلقة B مستبدلة مرتين.

نلاحظ إشارة ثنائي ثنائي بتكامل 1H عند الإزاحة  $\delta=8.10\text{ ppm}$  بثابت تزواج

(  $J=7.8\text{Hz}$ ;  $J=2.2\text{ Hz}$  ) يمكن نسبها لـ H-6' .

نلاحظ إشارة ثنائية بتكامل 1H بثابت تزواج  $J=7.8$  Hz عند الإزاحة  $\delta=7.57$  ppm يمكن نسبها لـ H-5' .

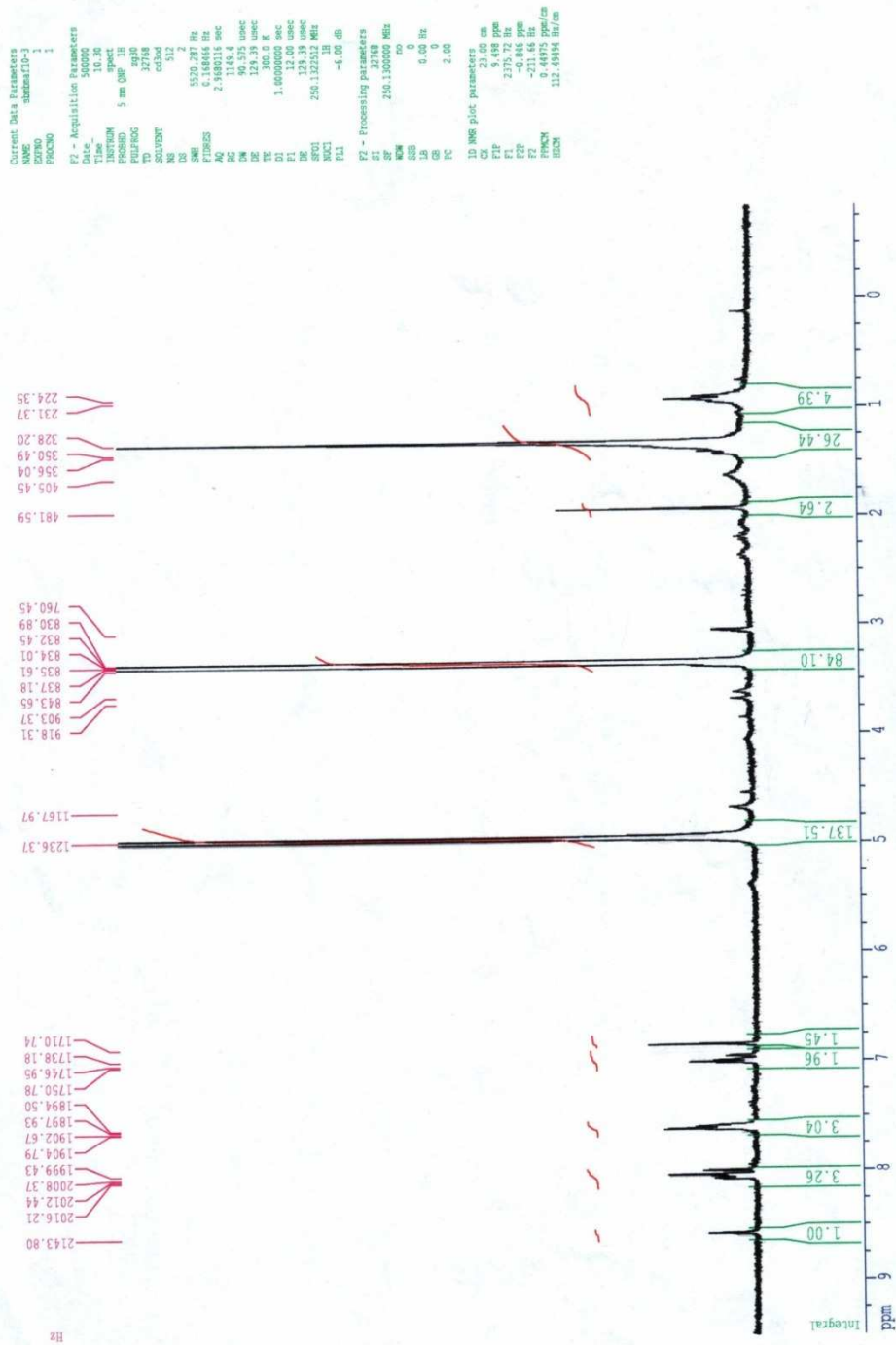
نلاحظ إشارة ثنائية بتكامل 1H بثابت تزواج  $J=2.1$ Hz عند الإزاحة  $\delta=7.61$  ppm يمكن نسبها لـ H-2' .

وننتج طيف  $^1\text{H}$ -RMN المسجل في (CD<sub>3</sub>OD, 250 MHz) كلها مدونة في الجدول 9 ( أنظر الطيف 6 ) :

البروتونات	الإنزياح الكيميائي ( $\delta_{\text{H}}$ ppm)	التعددية	ثابت التزاوج $J$ (Hz)
H $\alpha$	6.79	<i>s</i>	/
H-6'	8.10	<i>dd</i>	7.8 ; 2.2
H-2'	7.61	<i>d</i>	2.1
H-5'	7.57	<i>d</i>	7.8
H-4	8.03	<i>d</i>	8.4
H-5	6.98	<i>dd</i>	8.4 ; 2.0
H-7	7.05	<i>d</i>	2.0

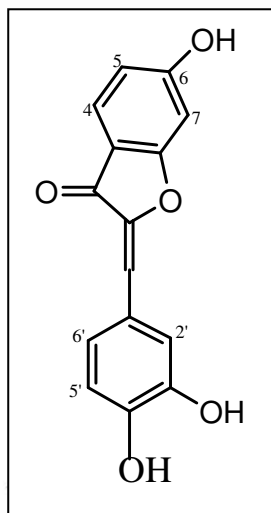
\* الجدول (9): معطيات طيف البروتون للمركب F<sub>9-2</sub>.\*

Spectre proton : ECH:SBMMAF10-3



طيف-6-  $^1\text{H}$  RMN للمركب F9.

Spectre proton :ECH:SBMBMAF10-3

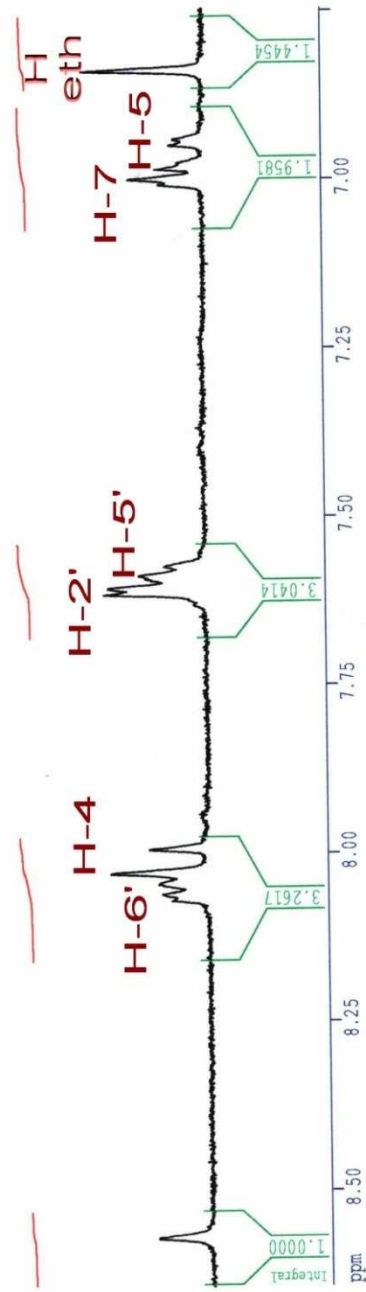


Current Data Parameters  
 NAME: sbmbmaf10-3  
 EXPNO: 1  
 PROCNO: 1  
 F2 - Acquisition Parameters  
 Date\_ Time: 500000  
 10.30  
 INSTRUM: spect  
 PROBD: 5 mm QNP 1H  
 PULPROG: zgpg30  
 TD: 32768  
 SFO: 500.1362601  
 SOLVENT: cd3od  
 NS: 512  
 DS: 2  
 SWH: 5520.287 Hz  
 FIDRES: 0.14016 Hz  
 AQ: 2.9180115 sec  
 RG: 1145.6  
 BK: 30.575 umsec  
 DE: 129.39 umsec  
 TE: 300.2 K  
 D1: 1.0000000 sec  
 F1: 4.7950000 MHz  
 F2: 500.1362601 MHz  
 SFO2: 250.1322512 MHz  
 NUC1: 1H  
 P1: 12.00 umsec  
 PL1: -6.00 dB  
 F2 - Processing parameters  
 SF: 500.1362601 MHz  
 DF: 32768  
 AS: 250.1300000 MHz  
 WSW: no  
 LB: 0.00 Hz  
 GB: 0  
 CB: 0  
 PC: 2.00  
 ID NMR plot parameters  
 CX: 23.00 cm  
 FIP: 8.642 ppm  
 FI: 2161.57 Hz  
 F2: 8.642 ppm  
 F3: 1487.13 Hz  
 FPMW: 0.08246 ppm/cm  
 HSCN: 20.62520 Hz/cm

1710.74

1999.43  
 2008.37  
 2012.44  
 2016.21

2143.80 Hz



تكبير المجال (8.25-6.50)ppm للطيف-6-

بينما تبين دراسة الاشعة فوق البنفسجية لهذا المركب مايلي و كل النتائج مدونة في الجدول (10).

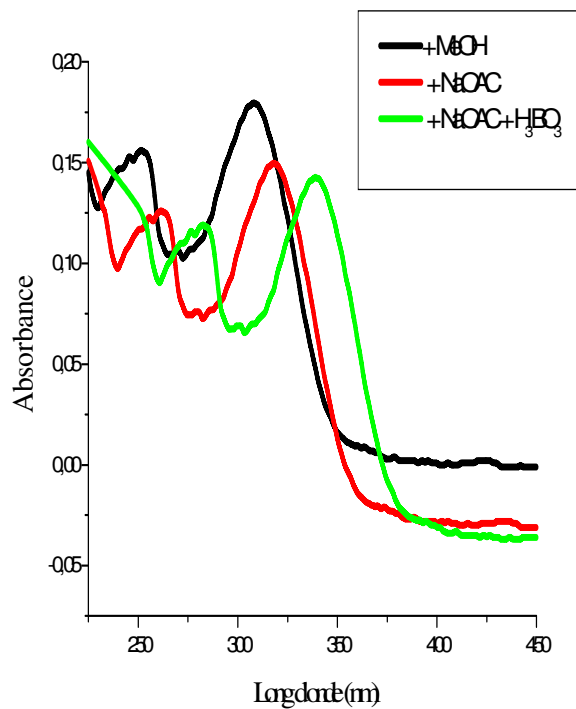
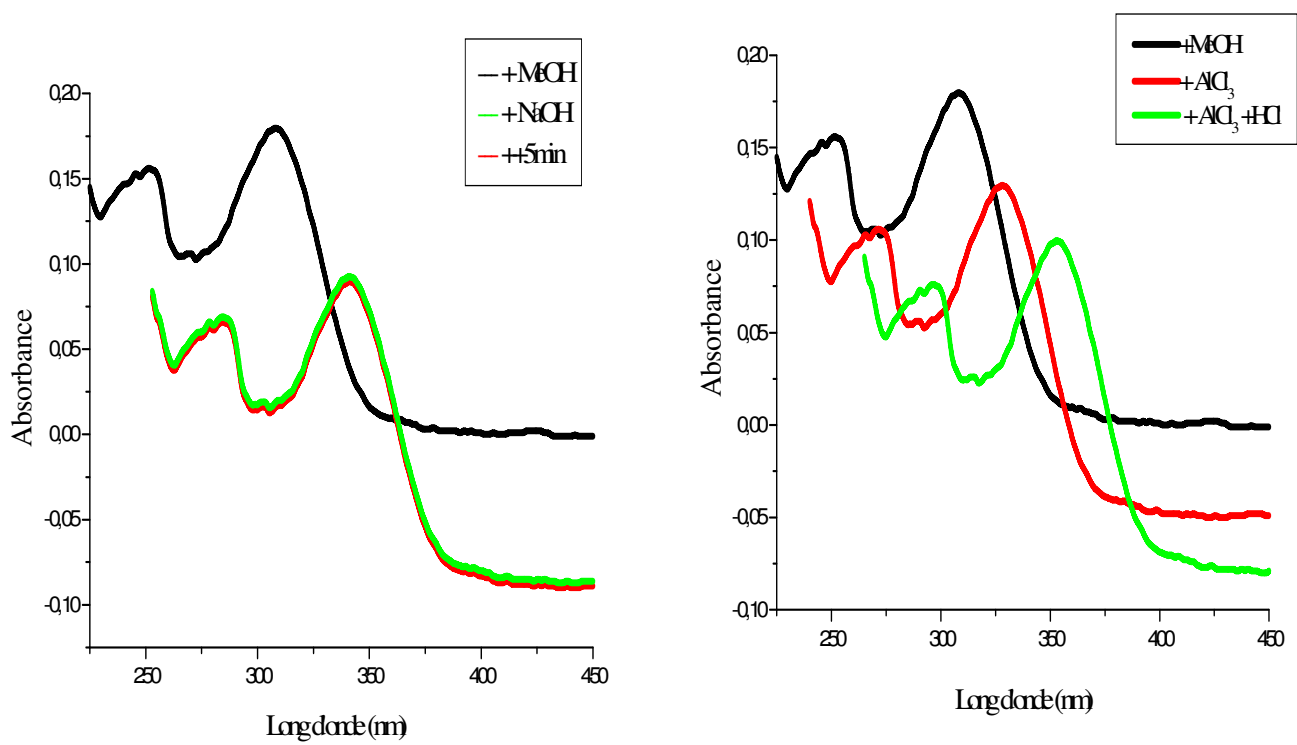
الملاحظات	العصابة I (nm)	العصابة II (nm)	الكواشف
وجود عصبنتين	310	254	MeOH
$\Delta\lambda_I$ (NaOH / MeOH) =+29 مع نقصان في شدة العصبنتين	341	286	NaOH
$\Delta\lambda_I$ (AlCl <sub>3</sub> / AlCl <sub>3</sub> +HCl) =+27 مع نقصان في شدة العصبنتين	327	270	AlCl <sub>3</sub>
$\Delta\lambda_I$ (AlCl <sub>3</sub> +HCl/MeOH) =+44 مع نقصان في شدة العصبنتين	354	298	AlCl <sub>3</sub> +HCl
$\Delta\lambda_I$ (NaOAc / MeOH) =+8 مع نقصان في شدة العصبنتين	318	263	NaOAc
$\Delta\lambda_I$ (NaOAc+H <sub>3</sub> BO <sub>3</sub> / MeOH) =+30 مع نقصان في شدة العصبنتين	340	283	NaOAc+H <sub>3</sub> BO <sub>3</sub>
الطيف المسجل في NaOH بقي مستقرا بعد 5 دقائق			

\* الجدول(10): معطيات أطيف الأشعة فوق البنفسجية (UV) للمركب F<sub>9.2</sub>. \*

بمقارنة الطيف المسجل في هيدروكسيد الصوديوم مع الطيف المسجل في الميثانول نجد أن  
إزاحة باثوكرومية للعصابة I بطول موجي أعظمي بمقدار (29nm) أقل بكثير من (+70 nm)  
دلالة على وجود هيدروكسيل حر في الموضع 4' أو (و) في الموضع 6. ( أنظر الطيف 7).

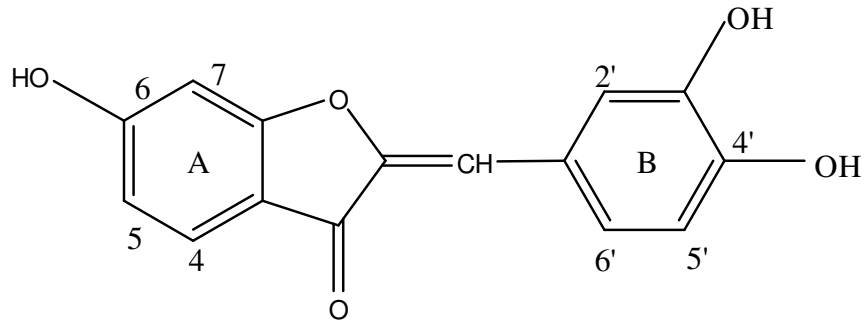
الإزاحة الباثوكرومية للعصابة I بـ  $\Delta\lambda_{\max I} (\text{AlCl}_3 / \text{AlCl}_3 + \text{HCl}) = 17 + nm$  عند مقارنة  
الطيفين المسجلين في  $(\text{AlCl}_3)$  و  $(\text{AlCl}_3 + \text{HCl})$  تدل على وجود نظام أرثو ثنائي الهيدروكسيل  
في الحلقة B ( أنظر الطيف 7).





**طيف (7) إمتصاص الأشعة فوق البنفسجية الخاصة بالمركب F<sub>9.2</sub>**

ومنه يكون المركب على الشكل :



6 ,3',4' -Trihydroxyaurone.

#### IV- التحليل البنوي للمركب : Fc-1

بعد فصل و تنقية هذا المركب نلاحظ أنه يظهر على شكل إبر صغيرة بيضاء اللون تذوب في الميثانول .

#### اللون الإستشعاعي:

اللون الإستشعاعي لهذا المركب تحت مصباح وود Wood (365nm) أعطى لون أسود بنفسجي .

#### معامل الإحتباس (R<sub>f</sub>) :

قيم معامل الإحتباس للمركب Fc-1 مبينة في الجدول (1) .

R <sub>f</sub>	الجملة المستعملة	الدعامة
0.26	AcOH	ك. ط. ر على متعدد الأמיד DC.6.6

#### الجدول (11): قيم معامل الإحتباس (R<sub>f</sub>) للمركب Fc-1.

#### المعطيات الطيفية:

#### 1- طيف الأشعة فوق البنفسجية:

طيف الأشعة فوق البنفسجية لهذا المركب في الميثانول يبين وجود عصبتين هذا دليل على أن المركب المدروس من نوع الفلافونويدات.

## 2- طيف الرنين النووي المغناطيسي للكربون $^{13}\text{C}$ RMN

تبين مطيافية الرنين النووي المغناطيسي للكربون  $^{13}\text{C}$  RMN (طيف 8) المسجلة في جهاز ذو تردد (65.5 MHz)، (باستعمال المذيب  $\text{CD}_3\text{OD}$ )، وجود حوالي 13 ذرة كربون غير متكافئة مغناطيسياً، وبعد فحص الإزاحة الكيميائية لمختلف أنوية  $^{13}\text{C}$  أمكننا توزيع أهمها كالتالي:

كربون حامل وظيفة كربونيلية واحدة ( $\text{C}=\text{O}$ ) تظهر عند ( $\delta_{\text{C}}=170.11$  ppm)

3 كربونات رباعية تظهر عند  $\delta_{\text{C}1'}=120.27$  ppm  $\delta_{\text{C}2'}=165.02$  ppm و

$\delta_{\text{C}1}=131.25$ .

مجموعتين إيثيلينيتين ( $\text{CH}=\text{CH}$ ) تهجينها  $\text{sp}^2$  عند ( $\delta_{\text{C}\alpha}=121.44$  و  $\delta_{\text{C}\beta}=142.02$  ppm)

.ppm

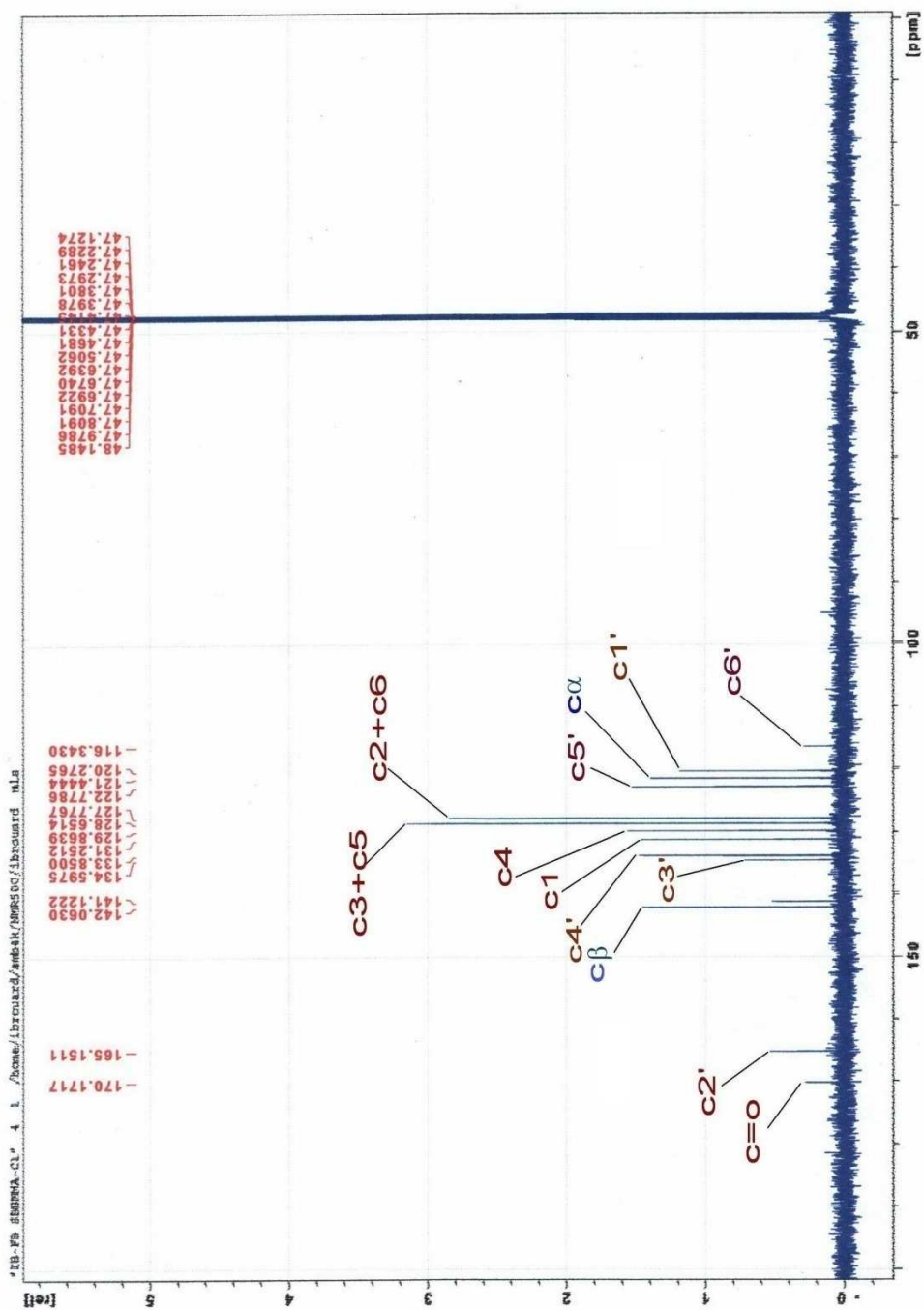
هذا المركب لا يحمل سوى على 15 ذرة كربون مما يدل على أن هذا الشالكون لا يحمل أي مستبدل

كاربوني، وحسب الإزاحة الكيميائية لمختلف هذه الأنوية فإننا نستطيع كتابة الجدول التالي .

( أنظر جدول 12 )

الكربونات	الانزياح الكيميائي Ppm
C1	131.25
C2+ C6	127.77
C3+ C5	128.65
C4	129.86
C=o	170.11
C $\alpha$	121.44
C $\beta$	142.02
C1'	120.27
C2'	165.02
C3'	134.59
C4'	133.85
C5'	122.77
C6'	116.34

\* الجدول (12): معطيات طيف الكربون للمركب  $\text{F-c}_1$ .\*



طيف - 8 -  $^{13}\text{C}$  RMN للمركب F-C1

### 3-طيف الرنين النووي المغناطيسي للبروتون $^1\text{H}$ RMN

تبين مطيافية الرنين النووي المغناطيسي للبروتون  $^1\text{H}$  وجود : ( أنظر الطيف 9)

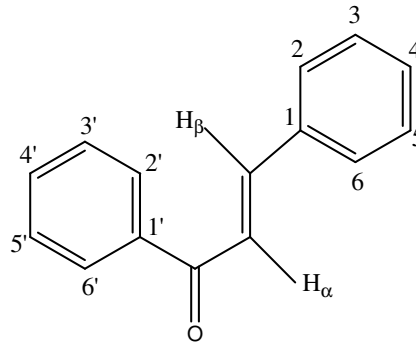
إشارة ثنائية بتكامل 1H عند الإزاحة  $\delta=6.52$  ppm بثابت تزواج  $J=15.7$  Hz خاصة

بالبروتون  $\text{H}_\alpha$  وهي ميزة الشالكونات .

إشارة ثنائية بتكامل 1H بثابت تزواج  $J=15.8$  Hz عند الإزاحة  $\delta=7.73$  ppm خاصة

بالبروتون  $\text{H}_\beta$  وهي ما يؤكد أن المركب المدروس شالكون. ومنه هيكل هذا المركب يكون من

الشكل :



كما نلاحظ ظهور 11 بروتونات فقط عوض 12 في الطيف  $^1\text{H}$  RMN ، هذا ما يدل على أن

المركب أحادي الإستبدال.

بالنسبة للحلقة A نلاحظ من خلال الطيف أنها مستبدلة مرة واحدة إذ يظهر لنا : ( أنظر الطيف 9)

إشارة ثنائي ثنائي بتكامل 1H عند الإزاحة  $\delta = 8.73$  ppm بثابت تزواج ( $J = 7.5$  Hz),  
يمكن نسبه لـ H-6' مما يدل على وجود كل من H-5' و H-4'.

إشارة ثنائي ثنائي بتكامل 1H عند الإزاحة  $\delta = 8.13$  ppm بثابت تزواج ( $J = 7.4$  Hz),  
يمكن نسبه لـ H-3' مما يدل على وجود كل من H-4' و H-5'.

إشارة ثنائي ثنائي ثنائي بتكامل 1H عند الإزاحة  $\delta = 7.13$  ppm بثابت تزواج  
( $J = 3.7$  Hz ,  $J = 7.7$  Hz ,  $J = 7.4$  Hz) يمكن نسبه لـ H-4' مما يدل على وجود كل  
من H-3' و H-5' و H-6'

إشارة ثنائي ثنائي ثنائي ثنائي بتكامل 1H عند الإزاحة  $\delta = 7.52$  ppm بثابت تزواج  
( $J = 3.7$  Hz ,  $J = 7.7$  Hz ,  $J = 7.5$  Hz) يمكن نسبه لـ H-5' مما يدل على وجود كل  
من H-3' و H-4' و H-6'

بالنسبة للحلقة B نلاحظ من خلال الطيف أنها غير مستبدلة إذ يظهر لنا:

إشارة تعددية بتكامل 2H عند الإزاحة  $\delta = 7.63$  ppm خاصة بالبروتونات H-2 و  
H-6

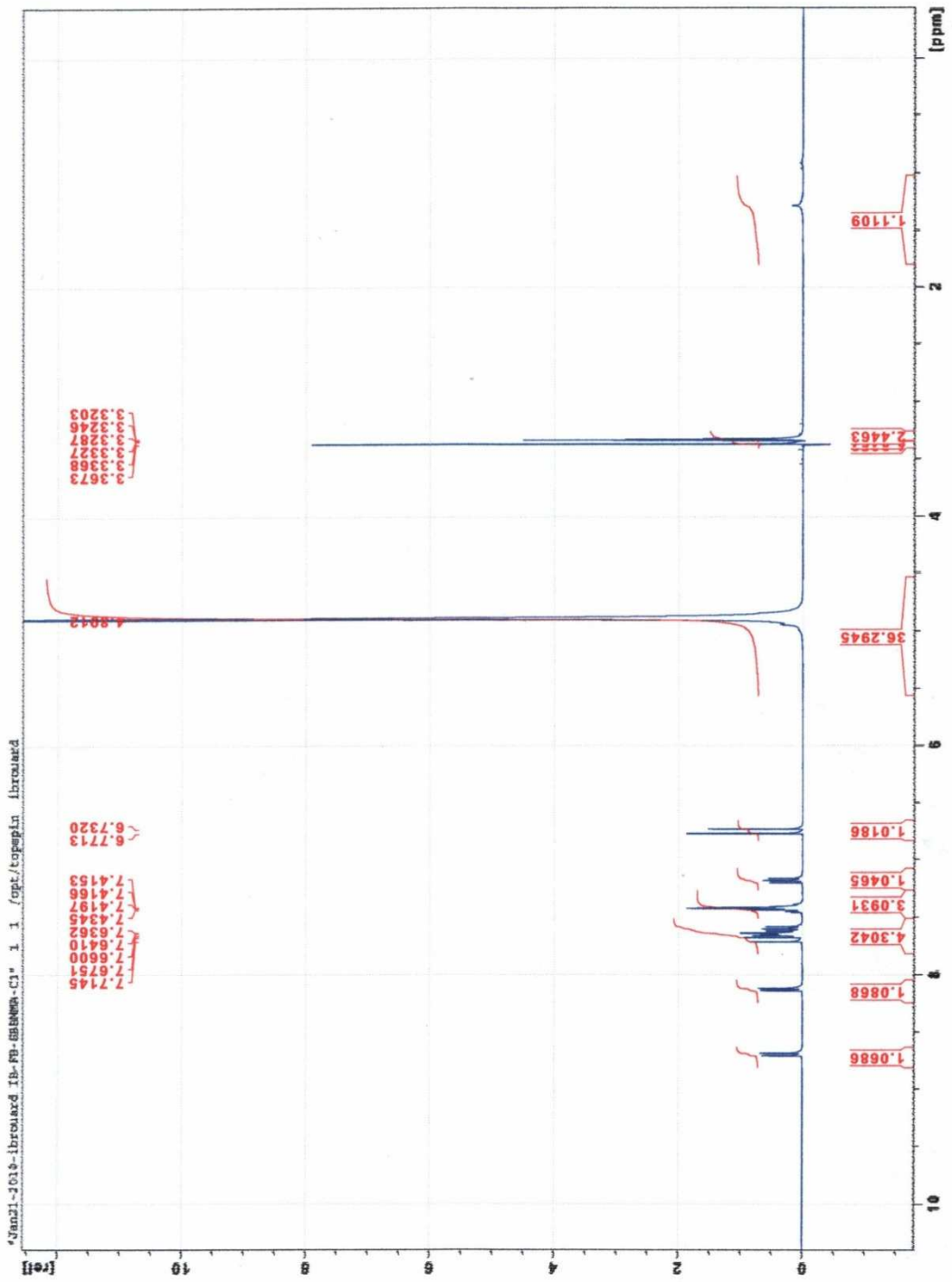
إشارة تعددية بتكامل 3H عند الإزاحة  $\delta=7.43$  ppm خاصة بكل من البروتون H-3 و H-4 و H-5 .

وننتج طيف الرنين المغناطيسي للبروتون  $^1\text{H}$  RMN المسجل في (CD<sub>3</sub>OD, MHz) 450كلها مدونة في الجدول 13 :

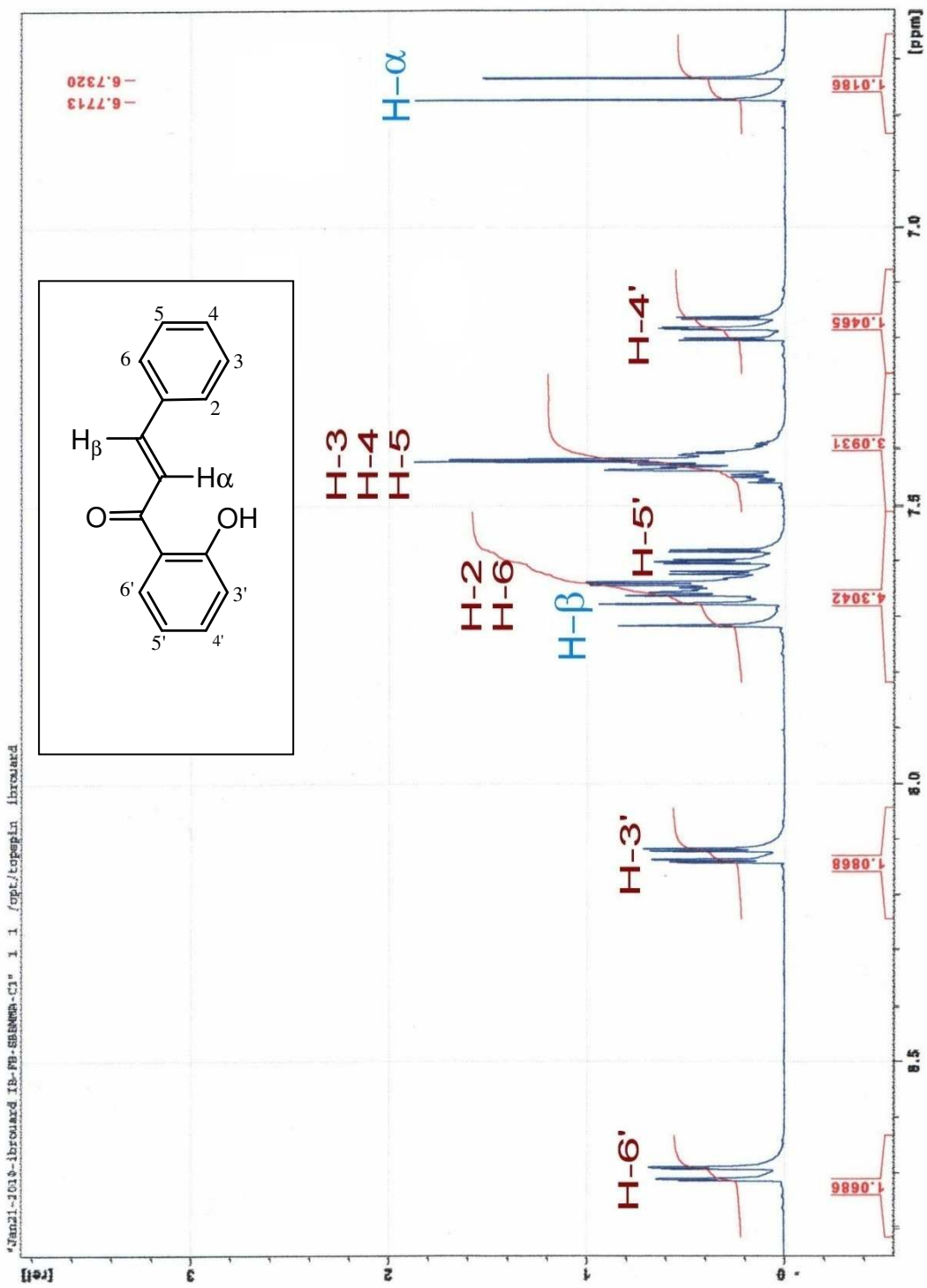
البروتونات	الإنزياح الكيميائي ( $\delta_{\text{H}}$ ppm)	التعددية	ثابت التزاوج $J$ (Hz)
H-6'	8.73	<i>dd</i>	7.5; 3.3
H-3'	8.13	<i>dd</i>	7.4 ;3.7
H-4'	7.13	<i>ddd</i>	7.4 ;7.7 ;3.7
H-5'	7.52	<i>ddd</i>	7.5 ;7.7 ;3.7
H <sub><math>\alpha</math></sub>	6.52	<i>d</i>	15.7
H <sub><math>\beta</math></sub>	7.73	<i>d</i>	15.8
H-3-4-5	7.43	<i>m</i>	/
H-6 و H-2	7.63	<i>m</i>	/

\* الجدول(13): معطيات طيف البروتون للمركب F<sub>c1</sub>.\*





طيف-9- $^1\text{H}$ -RMN للمركب F-c<sub>1</sub>



تكبير المجال (9.00-6.5)ppm لتطيف-9-

ولتأكيد الفرضيات المقترحة في طيف  $^1\text{H}$  RMN ندرس طيف cosy H-H : ( أنظر الطيف 10 )

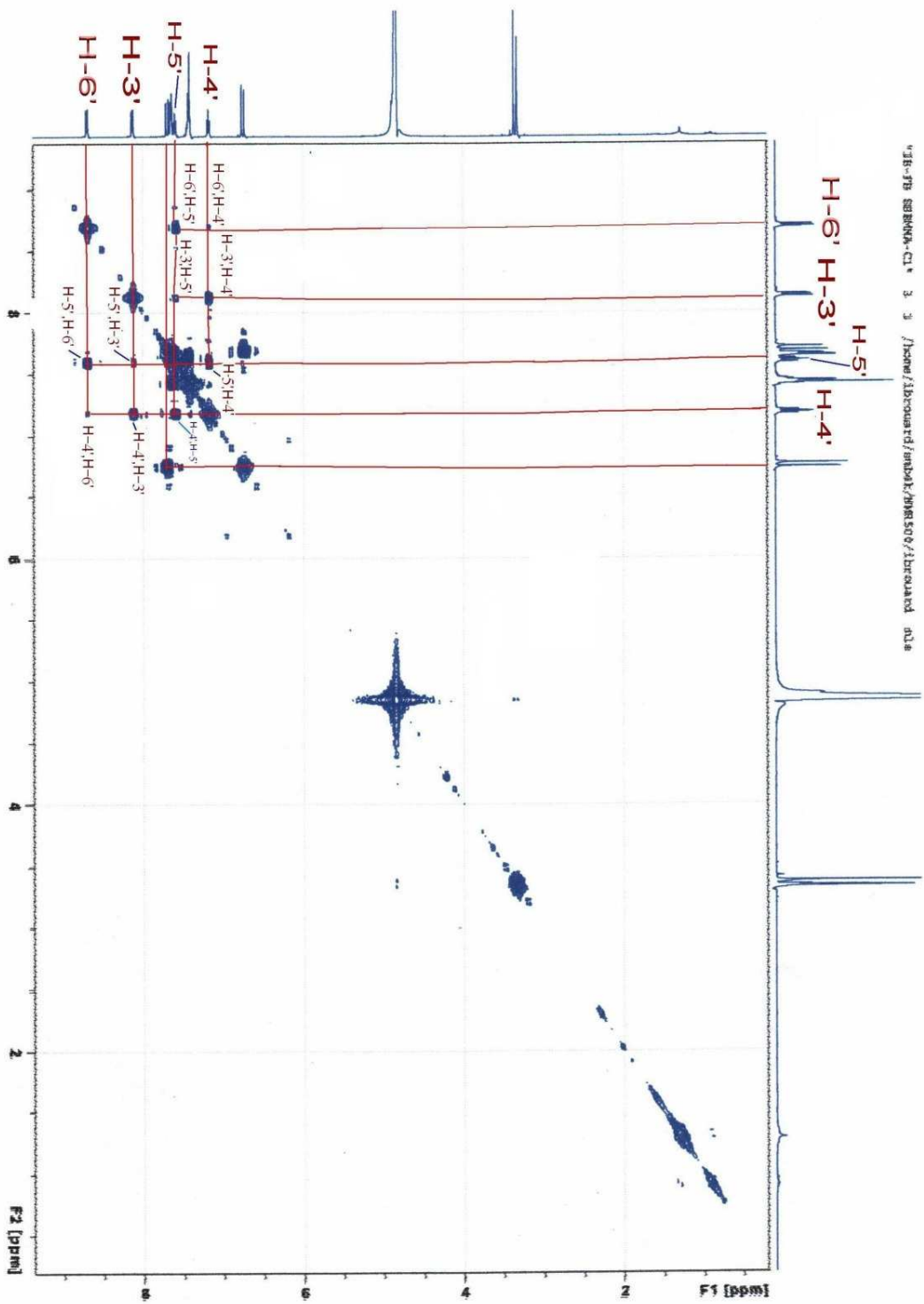
نلاحظ وجود نقطة تعالق كبيرة نوعا ما بين  $\text{H}_\alpha$  و  $\text{H}_\beta$  هذا مايفسر ظهور ثنائي بثابت تزواج كبير ( $J_{trans}$ ) لهذه الإشارة والذي يقدر بـ  $J=15.8 \text{ Hz}$  .

نلاحظ وجود نقاط تعالق بين  $\text{H-4}'$  و ( $\text{H-6}'$  .  $\text{H-5}'$  .  $\text{H-3}'$ ) لكن نقاط تعالق  $\text{H-4}'$  مع  $\text{H-3}'$  و  $\text{H-5}'$  أكبر من نقاط تعالق  $\text{H-4}'$  مع  $\text{H-6}'$  ومنه فإن ثابت تزواج  $\text{H-4}'$  مع  $\text{H-3}'$  و  $\text{H-5}'$  ( $J_{ortho}$ ) أكبر من ثابت تزواج  $\text{H-4}'$  مع  $\text{H-6}'$  ( $J_{metha}$ ) و هذا مايفسر ظهور ثنائي ثنائي ثنائي ثنائي للإشارة الخاصة بـ  $\text{H-4}'$  .

نلاحظ وجود نقاط تعالق بين  $\text{H-5}'$  و ( $\text{H-6}'$  .  $\text{H-4}'$  .  $\text{H-3}'$ ) لكن نقاط تعالق  $\text{H-5}'$  مع  $\text{H-4}'$  و  $\text{H-6}'$  أكبر من نقاط تعالق  $\text{H-5}'$  مع  $\text{H-3}'$  ومنه فإن ثابت تزواج  $\text{H-5}'$  مع  $\text{H-4}'$  و  $\text{H-6}'$  ( $J_{ortho}$ ) أكبر من ثابت تزواج  $\text{H-5}'$  مع  $\text{H-3}'$  ( $J_{metha}$ ) و هذا مايفسر ظهور ثنائي ثنائي ثنائي للإشارة الخاصة بـ  $\text{H-5}'$  .

بالنسبة لـ  $\text{H-6}'$  نلاحظ وجود نقاط تعالق بينه و بين كل من  $\text{H-5}'$  مع  $\text{H-4}'$  لكن نقطة تعالق  $\text{H-6}'$  مع  $\text{H-5}'$  أكبر نقطة تعالقه مع  $\text{H-4}'$  ومنه فإن ثابت تزواج  $\text{H-6}'$  مع  $\text{H-5}'$  ( $J_{ortho}$ ) أكبر من ثابت تزواج  $\text{H-6}'$  مع  $\text{H-4}'$  ( $J_{metha}$ ) و هذا مايفسر ظهور ثنائي ثنائي للإشارة الخاصة بـ  $\text{H-5}'$  .

بالنسبة لـ  $\text{H-3}'$  نلاحظ وجود نقاط تعالق بينه و بين كل من  $\text{H-4}'$  مع  $\text{H-5}'$  لكن نقطة تعالق  $\text{H-3}'$  مع  $\text{H-4}'$  أكبر نقطة تعالقه مع  $\text{H-5}'$  ومنه فإن ثابت تزواج  $\text{H-3}'$  مع  $\text{H-4}'$  ( $J_{ortho}$ ) أكبر من ثابت تزواج  $\text{H-3}'$  مع  $\text{H-5}'$  ( $J_{metha}$ ) و هذا مايفسر ظهور ثنائي ثنائي للإشارة الخاصة بـ  $\text{H-3}'$  .



طيف  $^{10}\text{-H}^1\text{-H}^1$  Cosy للمركب  $\text{F-C}_1$

بينما تبين دراسة الاشعة فوق البنفسجية لهذا المركب مايلى و كل النتائج مدونة في الجدول (14).

الملاحظات	العصابة I (nm)	العصابة II (nm)	الكواشف
وجود عصبتين	315	210	MeOH
$\Delta\lambda_I$ (NaOH / MeOH) مستقر مع زيادة في شدة العصابة I	315	210	NaOH
$\Delta\lambda_I$ (AlCl <sub>3</sub> / AlCl <sub>3</sub> +HCl) مستقر	325	210	AlCl <sub>3</sub>
$\Delta\lambda_I$ (AlCl <sub>3</sub> +HCl/MeOH) = +10nm.	325	210	AlCl <sub>3</sub> +HCl
$\Delta\lambda_I$ (NaOAc / MeOH) مستقر مع زيادة في شدة العصابة I	315	277	NaOAc
$\Delta\lambda_I$ (NaOAc+H <sub>3</sub> BO <sub>3</sub> / MeOH) مستقر مع زيادة في شدة العصابة I	315	210	NaOAc+H <sub>3</sub> BO <sub>3</sub>
الطيف المسجل في NaOH بقي مستقرا بعد 5 دقائق			

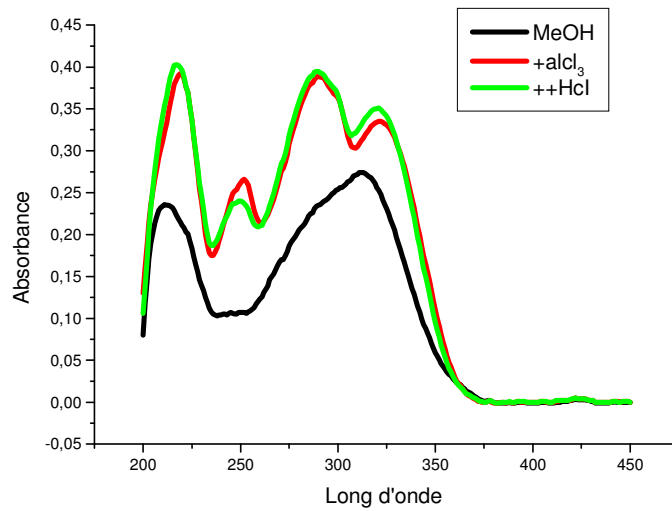
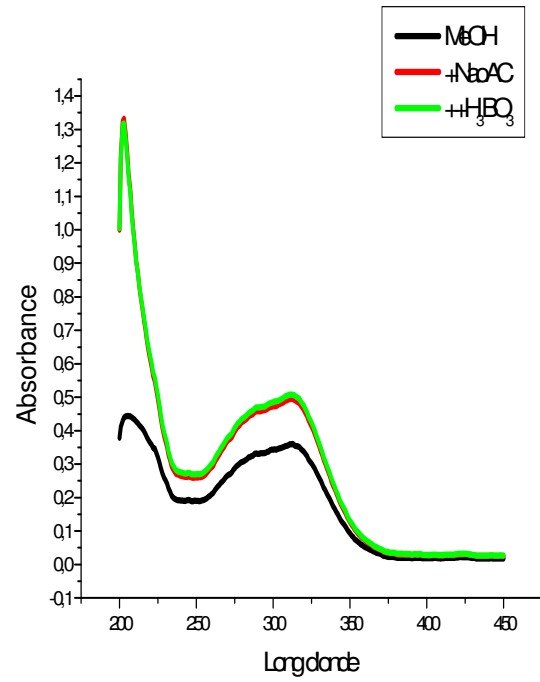
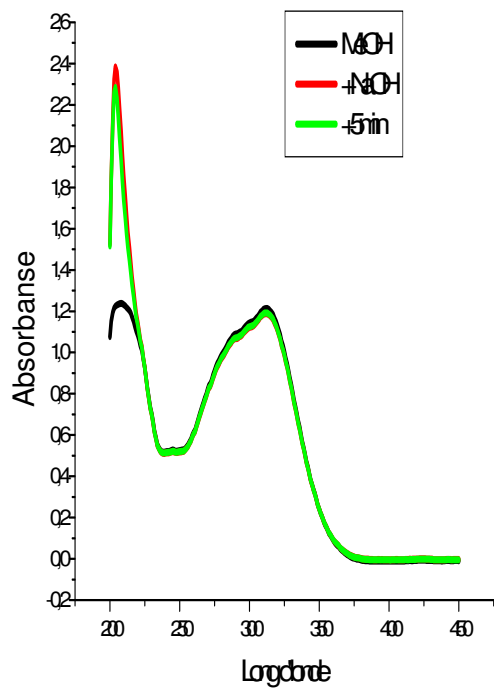
**\* الجدول (14): معطيات طيف الأشعة فوق البنفسجية (UV) للمركب  $F_{c1}$ .**

يترتب عن مقارنة طيف (AlCl<sub>3</sub> + HCl) بطيف الميثانول إزاحة باثو كرومية للعصابة I

قدرها

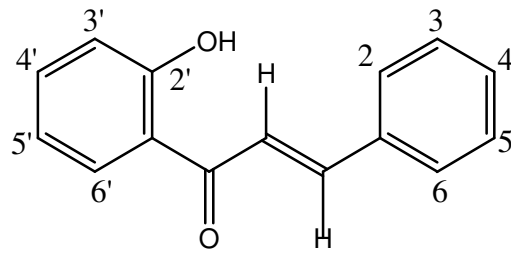
$\Delta\lambda_{maxI}$  (AlCl<sub>3</sub>+HCl / MeOH) = +10 nm التي تدل على وجود مجموعة OH حرفي الموقع 2'

( أنظر الطيف 11 )



**طيف (10) طيف إمتصاص الأشعة فوق البنفسجية الخاصة بالمركب F<sub>c-1</sub>**

ومنه يكون هذا الشالكون على الشكل :



**2' -Hydroxychalcone**

## مراجع الفصل الرابع

- [1] Jurd, L. (1962).,The chemistry of the flavonoid compounds (edited by I.A.Geissman), 107-155.
- [2] Huk, M., Gorlizter K., (1969). Arch. Pharm. 302- 423.
- [3].Harborne, J. B., (1993). The flavonoids: advances in research since 1986. Chapman & Hall/CRC, London.



## الخاتمة

إن الغاية الرئيسية من هذا البحث هي التعرف على نواتج الأيض الثانوي لنبات  
*Ononis Angustissima.* (Fabaceae)

كما قمنا بدراسة ببليوغرافية عن الفلافونويدات، و عن الطرق المستخدمة في فصل و تنقية هذه المركبات و الطرق الفيزيو كيميائية لتحديد بنيتها.

اتبعنا في عملية الفصل جملة من الخطوات ابتداء من الاستخلاص يليه فصل أولي بواسطة كروماتوغرافيا العمود بعدها القيام بعملية الفصل باستخدام كروماتوغرافيا الطبقة الرقيقة و التحضيرية .

و من أجل التحديد البنوي للمركبات استخدمنا مطيافية الأشعة فوق البنفسجية، مطيافية الرنين النووي المغناطيسي و قد تم فصل و تحديد أربع مركبات فلافونيدية هي :

- 2',4'-Dihydroxylchalcone.
- 2', -Dihydroxylchalcone.
- 6 ,Hydroxy-4'-methoxyaurone.
- 6 ,3',4' ,Trihydroxyaurone.

وهذه المركبات تعتبر جديدة بالنسبة للنوع مما يشجعنا في الإستمرار حول متابعة دراسة هذا النوع من النباتات.

## Summary

This work makes part of our research program on the Algerian medicinal plants belonging to the (Fabaceae) family which aims to provide active molecules which may be applied in the pharmaceutical industries. Among this family, we've selected *Ononis angustissima* in order to identify its secondary metabolites.

The use of different chromatographic methods (column, thin layer) permitted the isolation of four (04) compounds flavonoids :

- ◆ 2', 4'-Dihydroxychalcone
- ◆ 2'-Hydroxychalcone
- ◆ 6'-Hydroxy-4'-methoxyaurone
- ◆ 6,3',4'-Trihydroxyaurone

These compounds are isolated for the first time from the species *Ononis angustissima*.

The structures of the isolated compounds were well established using the spectroscopic methods (UV, NMR)

Key words: Fabaceae, *Ononis angustissima*, chalcone, aurone.

# Résumé

Ce travail fait partie de notre programme de recherche sur les plantes médicinales algériennes de la famille de la légumineuse (Fabaceae), qui vise à accéder à des molécules actives pouvant trouver des applications dans l'industrie pharmaceutique. Parmi les plantes de cette famille, nous avons choisi l'espèce *Ononis angustissima* dont nous envisageons d'identifier le métabolite secondaire.

L'utilisation de différentes méthodes de séparations chromatographiques (colonne, couche mince) nous a permis d'isoler quatre (04) composés de type flavonoïde qui sont:

- ◆ 2', 4'-Dihydroxychalcone
- ◆ 2' -Hydroxychalcone
- ◆ 6 -Hydroxy-4'-methoxyaurone
- ◆ 6,3',4'-Trihydroxyaurone

Ces composés sont isolés pour la première fois de l'espèce *Ononis angustissima*.

Les structures des composés isolés ont été bien établies grâce aux méthodes spectroscopiques (UV, RMN).

Mots clés: Fabaceae, *Ononis angustissima*, chalcone, aurone.

## ملخص

يندرج هذا العمل ضمن برنامج بحث على النباتات الطبية الجزائرية للعائلة البقولية، من أجل الحصول على مركبات فعالة قد تساهم في إعطاء نفع للصناعة الصيدلانية. و ضمن هذه العائلة اخترنا النبتة *Ononis angustissima* لغرض التعرف على نواتج الأيض الثانوي.

و قد تمكنا من فصل أربع (04) مركبات فلافونويدية باستعمال مختلف التقنيات الكروماتوغرافية (العمود CC، الطبقة الرقيقة CCM) و هي:

- ◆ 2', 4'-Dihydroxychalcone
- ◆ 2' -Hydroxychalcone
- ◆ 6 -Hydroxy-4'-methoxyaurone
- ◆ 6,3',4'-Trihydroxyaurone

و هي مركبات جديدة في هذا النوع

تم تحديد البنى الجزيئية للمركبات المفصولة باستخدام الطرق الفيزيوكيميائية:  
مطيافية الأشعة فوق البنفسجية UV، مطيافية الرنين النووي المغناطيسي RMN

المفتاح: العائلة البقولية، نبات *Ononis angustissima*، ثسالكون، اورون.